

УДК 004.8

Автоматизированный системно-когнитивный анализ характеристик оружия в игре Counter-Strike: Global Offensive

Вашенко Александр Юрьевич
студент факультета ПИ, группы ИТ2002
sascha93rus@gmail.com

Чебыкин Андрей Михайлович
студент факультета ПИ, группы ИТ2002
chebikin_andrey@mail.ru

*Кубанский Государственный Аграрный университет
имени И.Т.Трубилина, Краснодар, Россия*

Целью данной работы является изучение характеристик оружия из игры Counter-Strike: Global Offensive. Достижение данной цели представляет большой личный интерес. Для нас это позволит получить знания в работе с универсальной когнитивной аналитической системой «Эйдос-X++», а также получить зачет. Для достижения поставленной цели применяется Автоматизированный системно-когнитивный анализ (АСК-анализ) и его программный инструментарий – интеллектуальная система «Эйдос».

Ключевые слова: АВТОМАТИЗИРОВАННЫЙ СИСТЕМНО-КОГНИТИВНЫЙ АНАЛИЗ, АСК-АНАЛИЗ, СИСТЕМА «ЭЙДОС».

UDC 004.8

Automated system-cognitive analysis of the characteristics of weapons in the game Counter-Strike: Global Offensive

Vaschenko Alexander Yurievich
student of the faculty of PI, group IT2002
sascha93rus@gmail.com

Chebykin Andrew Mikhailovich
student of the faculty of PI, group IT2002
chebikin_andrey@mail.ru

*Kuban State Agrarian University named after I.T. Trubilin,
Krasnodar, Russia*

The purpose of this work is to study the characteristics of weapons from the game Counter-Strike: Global Offensive. The achievement of this goal is of great personal interest. For us, this will allow us to gain knowledge in working with the universal analytical system "Eidos-X ++", as well as get a credit. To achieve this goal, the Automated System-Cognitive Analysis (ASK-analysis) and its software tools are used - the intelligent system "Eidos".

Key words: AUTOMATED SYSTEM-COGNITIVE ANALYSIS, ASC-ANALYSIS, "EIDOS" SYSTEM.

СОДЕРЖАНИЕ

1. INTRODUCTION (ВВЕДЕНИЕ)	3
1.1. ОПИСАНИЕ ИССЛЕДУЕМОЙ ПРЕДМЕТНОЙ ОБЛАСТИ	3
1.2. ОБЪЕКТ И ПРЕДМЕТ ИССЛЕДОВАНИЯ	3
1.3. ПРОБЛЕМА, РЕШАЕМАЯ В РАБОТЕ И ЕЕ АКТУАЛЬНОСТЬ.....	3
1.4. ЦЕЛЬ РАБОТЫ.....	3
2. METHODS (МЕТОДЫ).....	3
2.1. ОБОСНОВАНИЕ ТРЕБОВАНИЙ К МЕТОДУ РЕШЕНИЯ ПРОБЛЕМЫ	3
2.2. ЛИТЕРАТУРНЫЙ ОБЗОР МЕТОДОВ РЕШЕНИЯ ПРОБЛЕМЫ, ИХ ХАРАКТЕРИСТИКА И ОЦЕНКА СТЕПЕНИ СООТВЕТСТВИЯ ОБОСНОВАННЫМ ТРЕБОВАНИЯМ	4
2.3. АВТОМАТИЗИРОВАННЫЙ СИСТЕМНО-КОГНИТИВНЫЙ АНАЛИЗ (АСК-АНАЛИЗ) КАК МЕТОД РЕШЕНИЯ ПРОБЛЕМЫ.....	4
2.4. СИСТЕМА «ЭЙДОС» - ИНСТРУМЕНТАРИЙ АСК-АНАЛИЗА	6
2.5. ЦЕЛЬ И ЗАДАЧИ РАБОТЫ	10
3. RESULTS (РЕЗУЛЬТАТЫ).....	13
3.1. ЗАДАЧА-1. КОГНИТИВНАЯ СТРУКТУРИЗАЦИЯ ПРЕДМЕТНОЙ ОБЛАСТИ. ДВЕ ИНТЕРПРЕТАЦИИ КЛАССИФИКАЦИОННЫХ И ОПИСАТЕЛЬНЫХ ШКАЛ И ГРАДАЦИЙ	13
3.2. ЗАДАЧА-2. ФОРМАЛИЗАЦИЯ ПРЕДМЕТНОЙ ОБЛАСТИ	14
3.3. ЗАДАЧА-3. СИНТЕЗ СТАТИСТИЧЕСКИХ И СИСТЕМНО-КОГНИТИВНЫХ МОДЕЛЕЙ. МНОГОПАРАМЕТРИЧЕСКАЯ ТИПИЗАЦИЯ И ЧАСТНЫЕ КРИТЕРИИ ЗНАНИЙ	23
3.4. ЗАДАЧА-4. ВЕРИФИКАЦИЯ МОДЕЛЕЙ	32
3.5. ЗАДАЧА-5. ВЫБОР НАИБОЛЕЕ ДОСТОВЕРНОЙ МОДЕЛИ	36
3.6. ЗАДАЧА-6. СИСТЕМНАЯ ИДЕНТИФИКАЦИЯ И ПРОГНОЗИРОВАНИЕ	37
3.6.1. Интегральный критерий «Сумма знаний»	38
3.6.2. Интегральный критерий «Семантический резонанс знаний».....	38
3.6.3. Важные математические свойства интегральных критериев.....	40
3.6.4. Решение задачи идентификации и прогнозирования в системе «Эйдос».....	40
3.7. ЗАДАЧА-7. ПОДДЕРЖКА ПРИНЯТИЯ РЕШЕНИЙ.....	43
3.7.1. Упрощенный вариант принятия решений как обратная задача прогнозирования, позитивный и негативный информационные портреты классов, SWOT-анализ.....	43
3.7.2. Развитый алгоритм принятия решений в адаптивных интеллектуальных системах управления на основе АСК-анализа и системы «Эйдос»	45
3.8. ЗАДАЧА-8. ИССЛЕДОВАНИЕ ОБЪЕКТА МОДЕЛИРОВАНИЯ ПУТЕМ ИССЛЕДОВАНИЯ ЕГО МОДЕЛИ ..	49
3.8.1. Инвертированные SWOT-диаграммы значений описательных шкал (семантические потенциалы).....	49
3.8.2. Кластерно-конструктивный анализ классов	51
3.8.3. Кластерно-конструктивный анализ значений описательных шкал	54
3.8.4. Модель знаний системы «Эйдос» и нелокальные нейроны.....	57
3.8.5. Нелокальная нейронная сеть.....	59
3.8.6. 3D-интегральные когнитивные карты	61
3.8.7. 2D-интегральные когнитивные карты содержательного сравнения классов (опосредованные нечеткие правдоподобные рассуждения).....	62
3.8.8. 2D-интегральные когнитивные карты содержательного сравнения значений факторов (опосредованные нечеткие правдоподобные рассуждения).....	64
3.8.9. Когнитивные функции	66
3.8.10. Значимость описательных шкал и их градаций.....	72
3.8.11. Степень детерминированности классов и классификационных шкал	76
4. DISCUSSION (ОБСУЖДЕНИЕ)	77
5. CONCLUSIONS (ВЫВОДЫ)	78
REFERENCES (ЛИТЕРАТУРА).....	78

1. INTRODUCTION (ВВЕДЕНИЕ)

1.1. Описание исследуемой предметной области

Данная работа является обновлением старой работы. В работе решается задача выявления зависимости класса оружия от его характеристик. На основе знания этих зависимостей решаются разнообразные задачи прогнозирования, принятия решений и исследования моделируемой предметной области путем исследования ее системно-когнитивной модели (СК-модель).

1.2. Объект и предмет исследования

Объект и предмет исследования – выявление зависимостей класса оружия от его характеристик.

1.3. Проблема, решаемая в работе и ее актуальность

В работе решается **проблема** построения гибридной модели, включающей как номинальные (текстовые), так и числовые шкалы и обеспечивающей **сопоставимость** обработки данных разных типов, представленных в разных типах шкал и разных единицах измерения.

Решение поставленной **проблемы сопоставимости** при выявлении зависимостей класса оружия от его характеристик в данной работе делает ее **актуальной**.

1.4. Цель работы

Целью работы является решение поставленной проблемы.

Достижение поставленной цели обеспечивается решением ряда **задач** и подзадач, которые являются **этапами** достижения цели. Конкретная формулировка этих задач зависит от метода решения проблемы, поэтому обоснованно мы сформулируем их в конце раздела, т.е. после обоснованного выбора и описания метода решения проблемы.

2. METHODS (МЕТОДЫ)

2.1. Обоснование требований к методу решения проблемы

Из специфики поставленной проблемы сопоставимости обработки в одной модели исходных, представленных в разных типах шкал числовых и текстовых (лингвистических) и в разных единицах измерения, вытекают следующие **требования** к методу решения проблемы:

1. Метод должен обеспечивать устойчивое выявление в сопоставимой форме силы и направления причинно-следственных зависимостей в неполных зашумленных (неточных) взаимозависимых (нелинейных) данных очень большой размерности числовой и не числовой природы, измеряемых в различных типах шкал (номинальных, порядковых и числовых) и в различных единицах измерения.

2. Иначе говоря, метод решения проблемы не должен предъявлять жестких требований к исходным данным, которые невозможно выполнить, а должен обеспечивать обработку тех данных, которые реально есть.

3. Метод должен реально на практике решать поставленную проблему, а значит, он должен иметь поддерживающий его программный инструментарий, находящийся в полном открытом бесплатном доступе.

2.2. Литературный обзор методов решения проблемы, их характеристика и оценка степени соответствия обоснованным требованиям

Поиск в Internet программных систем, *одновременно*:

- находящихся в полном открытом бесплатном доступе;
 - обеспечивающих сопоставимую обработку числовой и текстовой информации в одной модели, дает следующие результаты; показал, что альтернатив Автоматизированному системно-когнитивному анализу и его программному инструментарию – системе «Эйдос» в настоящее время здесь нет [4].

2.3. Автоматизированный системно-когнитивный анализ (АСК-анализ) как метод решения проблемы

Автоматизированный системно-когнитивный анализ (АСК-анализ) предложен *проф. Е. В. Луценко* в 2002 году в ряде статей 1997-2001 годов¹ и фундаментальной монографии [2].

Сам термин: «Автоматизированный системно-когнитивный анализ (ACK-анализ)» был предложен проф. Е. В. Луценко. На тот момент он вообще не встречался в *Internet*. Сегодня по соответствующему запросу в Яндексе находится 9 миллионов сайтов с этим сочетанием слов².

АСК-анализ включает:

- теоретические основы, в частности базовую формализуемую когнитивную концепцию;
 - математическую модель, основанную на системном обобщении теории информации (СТИ);
 - методику численных расчетов (структуры баз данных и алгоритмы их обработки);
 - программный инструментарий, в качестве которого в настоящее время выступает универсальная когнитивная аналитическая система «Эйдос» (интеллектуальная система «Эйдос»).

Более подробно математический метод АСК-анализа описан в работе [3] и ряде других [5]. Около половины из 665 опубликованных автором

¹ <http://lc.kubagro.ru/aidos/Sprab0802.pdf> (см. с публикации № 48).

научных работ посвящены теоретическим основам АСК-анализа и его практическим применениям в ряде предметных областей. На момент написания данной работы автором опубликовано более 40 монографий, 27 учебных пособий, в т.ч. 3 учебных пособия с грифами УМО и Министерства, получен 32 патент РФ на системы искусственного интеллекта, 346 публикации в изданиях, входящих в перечень ВАК РФ и приравненных им (по данным [РИНЦ](#)), 17 публикаций в изданиях, входящих в ядро РИНЦ, 6 статей в журналах, входящих в [WoS](#), 7 публикаций в журналах, входящих в [Scopus](#)³ [6, 7, 8].

Три монографии включены в фонды библиотеки конгресса США⁴.

АСК-анализ и система "Эйдос" были успешно применены в 8 докторских диссертациях по экономическим, техническим, биологическим наукам и в 8 кандидатских диссертациях по экономическим, техническим, психологическим и медицинским наукам, еще несколько докторских и кандидатских диссертаций с применением АСК-анализа находятся в стадии выхода на защиту.

Автор является основателем междисциплинарной научной школы: «Автоматизированный системно-когнитивный анализ»⁵. Научная школа: "Автоматизированный системно-когнитивный анализ" является междисциплинарным научным направлением на пересечении по крайней мере трех научных специальностей (согласно недавно утвержденной новой номенклатуре научных специальностей ВАК РФ⁶). Основные научные специальности, которым соответствует научная школа:

- 5.12.4. Когнитивное моделирование;
- 1.2.1. Искусственный интеллект и машинное обучение;
- 2.3.1. Системный анализ, управление и обработка информации.

Научная школа: "Автоматизированный системно-когнитивный анализ" включает следующие междисциплинарные научные направления:

- Автоматизированный системно-когнитивный анализ числовых и текстовых табличных данных;
- Автоматизированный системно-когнитивный анализ текстовых данных;
- Спектральный и контурный автоматизированный системно-когнитивный анализ изображений;
- Сценарный автоматизированный системно-когнитивный анализ временных и динамических рядов.

Приводить здесь ссылки на все эти работы здесь вряд ли целесообразно. Отметим лишь, что у автора есть личный сайт [7] и страничка в РесечГейт [8], на которых можно получить более полную

³ <http://lc.kubagro.ru/aidos/Sprab0802.pdf>

⁴ <https://catalog.loc.gov/vwebv/search?searchArg=Lutsenko+E.V.> (и кликнуть: “Search”)

⁵ <https://www.famous-scientists.ru/school/1608>

⁶ <https://www.garant.ru/products/ipo/prime/doc/400450248/>

информацию о методе АСК-анализа и системе «Эйдос». Краткая информация об АСК-анализе и системе «Эйдос» есть в материале: http://lc.kubagro.ru/aidos/Presentation_Aidos-online.pdf.

2.4. Система «Эйдос» - инструментарий АСК-анализа

Существует много систем искусственного интеллекта. Универсальная когнитивная аналитическая система «Эйдос» отличается от них следующими параметрами:

– является универсальной и может быть применена во многих предметных областях, т.к. разработана в универсальной постановке, не зависящей от предметной области (<http://lc.kubagro.ru/aidos/index.htm>). Система «Эйдос» является автоматизированной системой, т.е. предполагает непосредственное участие человека в реальном времени при решении задач идентификации, прогнозирования, принятия решений и исследования предметной области (автоматические системы работают без такого участия человека);

– находится в полном открытом бесплатном доступе (http://lc.kubagro.ru/aidos/_Aidos-X.htm), причем с актуальными исходными текстами (http://lc.kubagro.ru/_AidosALL.txt): открытая лицензия: [CC BY-SA 4.0](https://creativecommons.org/licenses/by-sa/4.0/) (<https://creativecommons.org/licenses/by-sa/4.0/>), и это означает, что ей могут пользоваться все, кто пожелает, без какого-либо дополнительного разрешения со стороны первичного правообладателя – автора системы «Эйдос» проф. Е.В.Луценко (отметим, что система «Эйдос» создана полностью с использованием только лицензионного инструментального программного обеспечения и на нее имеется 31 свидетельство РосПатента РФ);

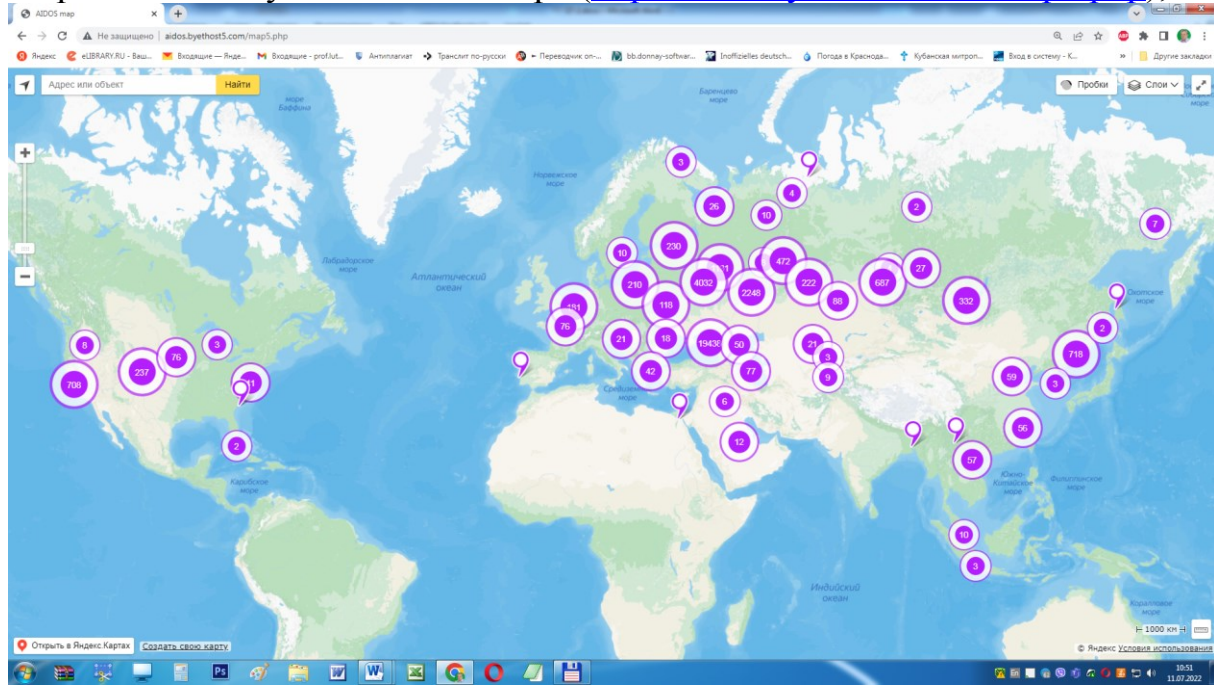
– является одной из первых отечественных систем искусственного интеллекта персонального уровня, т.е. не требует от пользователя специальной подготовки в области технологий искусственного интеллекта: «имеет нулевой порог входа» (есть акт внедрения системы «Эйдос» 1987 года) (<http://lc.kubagro.ru/aidos/aidos02/PR-4.htm>);

– реально работает, обеспечивает устойчивое выявление в сопоставимой форме силы и направления причинно-следственных зависимостей в неполных зашумленных взаимозависимых (нелинейных) данных очень большой размерности числовой и не числовой природы, измеряемых в различных типах шкал (номинальных, порядковых и числовых) и в различных единицах измерения (т.е. не предъявляет жестких требований к данным, которые невозможно выполнить, а обрабатывает те данные, которые есть);

– имеет «нулевой порог входа», содержит большое количество локальных (поставляемых с инсталляцией) и облачных учебных и научных Эйдос-приложений (в настоящее время их 31 и более 335, соответственно:

http://aidos.byethost5.com/Source_data_applications/WebAppls.htm
http://lc.kubagro.ru/aidos/Presentation_Aidos-online.pdf;

– поддерживает on-line среду накопления знаний и обмена ими, широко используется во всем мире (<http://aidos.byethost5.com/map5.php>);



– обеспечивает мультиязычную поддержку интерфейса на 51 языке. Языковые базы входят в инсталляцию и могут пополняться в автоматическом режиме;

– наиболее трудоемкие в вычислительном отношении операции синтеза моделей и распознавания реализует с помощью графического процессора (GPU), что на некоторых задачах обеспечивает ускорение решения этих задач в несколько тысяч раз, что реально обеспечивает интеллектуальную обработку больших данных, большой информации и больших знаний (графический процессор должен быть на чипсете NVIDIA);

– обеспечивает преобразование исходных эмпирических данных в информацию, а ее в знания и решение с использованием этих знаний задач классификации, поддержки принятия решений и исследования предметной области путем исследования ее системно-когнитивной модели, генерируя при этом очень большое количество табличных и графических выходных форм (развития когнитивная графика), у многих из которых нет никаких аналогов в других системах (примеры форм можно посмотреть в работе: http://lc.kubagro.ru/aidos/aidos18_LLS/aidos18_LLS.pdf);

– хорошо имитирует человеческий стиль мышления: дает результаты анализа, понятные экспертам на основе их опыта, интуиции и профессиональной компетенции;

– вместо того, чтобы предъявлять к исходным данным практически неосуществимые требования (вроде нормальности распределения,

абсолютной точности и полных повторностей всех сочетаний значений факторов и их полной независимости и аддитивности) автоматизированный системно-когнитивный анализ (АСК-анализ) предлагает без какой-либо предварительной обработки осмысливать эти данные и тем самым преобразовать их в информацию, а затем преобразовать эту информацию в знания путем ее применения для достижения целей (т.е. для управления) и решения задач классификации, поддержки принятия решений и содержательного эмпирического исследования моделируемой предметной области.

В чем сила подхода, реализованного в системе Эйдос? В том, что она реализует подход, эффективность которого не зависит от того, что мы думаем о предметной области и думаем ли вообще. Она формирует модели непосредственно на основе эмпирических данных, а не на основе наших представлений о механизмах реализации закономерностей в этих данных. Именно поэтому Эйдос-модели эффективны даже если наши представления о предметной области ошибочны или вообще отсутствуют.

В этом и слабость этого подхода, реализованного в системе Эйдос. Модели системы Эйдос - это феноменологические модели, отражающие эмпирические закономерности в фактах обучающей выборки, т.е. они не отражают причинно-следственного механизма детерминации, а только сам факт и характер детерминации. Содержательное объяснение этих эмпирических закономерностей формулируется уже экспертами на теоретическом уровне познания в содержательных научных законах⁷.

В разработке системы «Эйдос» были следующие этапы:

1-й этап, «подготовительный»: 1979-1992 годы. Математическая модель системы "Эйдос" разработана в 1979 и впервые прошла экспериментальную апробацию в 1981 году (первый расчет на компьютере на основе модели). С 1981 по 1992 система "Эйдос" неоднократно реализовалась на платформе Wang (на компьютерах Wang-2200C). В 1987 году впервые получен акт внедрения на одну из ранних версий системы «Эйдос», реализованную в среде персональной технологической системы «Вега-М» разработки автора (см. 2-й акт по ссылке: <http://lc.kubagro.ru/aidos/aidos02/PR-4.htm>).

2-й этап, «эра IBM PC и MS DOS»: 1992-2012 годы. Для IBM-совместимых персональных компьютеров система "Эйдос" впервые реализована на языках CLIPPER-87 и CLIPPER-5.01 (5.02) в 1992 году, а в 1994 году уже были получены свидетельства РосПатента, первые в Краснодарском крае и, возможно, в России на системы искусственного интеллекта (слева приведена титульная видеограмма финальной DOS-версии системы «Эйдос-12.5», июнь 2012 года). С тех пор и до настоящего времени система непрерывно совершенствуется на IBM PC.

⁷ Ссылка на это краткое описание системы «Эйдос» на английском языке:
http://lc.kubagro.ru/aidos/The_Eidos_en.htm

3-й этап, «эра MS Windows xp, 8, 7»: 2012-2020 годы. С июня 2012 по 14.12.2020 система «Эйдос» развивалась на языке [Аляска-1.9](#) + [Экспресс++](#) + библиотека для работы с Internet xb2net. Система «Эйдос-X1.9» хорошо работала на всех версиях MS Windows кроме Windows-10, которая требовала специальной настройки. Наиболее трудоемкие в вычислительном отношении операции синтеза моделей и распознавания реализует с помощью графического процессора (GPU), что на некоторых задачах обеспечивает ускорение решения этих задач в несколько тысяч раз, что реально обеспечивает интеллектуальную обработку больших данных, большой информации и больших знаний (графический процессор должен быть на чипсете NVIDIA).

4-й этап, «эра MS Windows-10»: 2020-2021 годы. С 13.12.2020 года по настоящее время система «Эйдос» развивается на языке [Аляска-2.0](#) + [Экспресс++](#). Библиотека xb2net в ней больше не используется, т.к. все возможности работы с Internet входят в [базовые возможности языка программирования](#).

5-й этап, «эра Больших данных, информации и знаний»: с 2022 года по настоящее время. С 2022 года автор и разработчик системы «Эйдос» проф.Е.В.Луценко вплотную занялся разработкой профессиональной версии системы «Эйдос» на языке Аляска+Экспресс, обеспечивающей обработку больших данных, информации и знаний (Big Data, Big Information, Big Knowledge) с использованием ADS (Advantage Database Server), а также на языке C# (Visual Studio | C#).

На рисунке 1 приведена титульная видеограмма DOS-версии системы «Эйдос», а на рисунке 2 – текущей версии системы «Эйдос»:



Рисунок 1. Титульная видеограмма DOS-версии системы «Эйдос» (до 2012 года)⁸

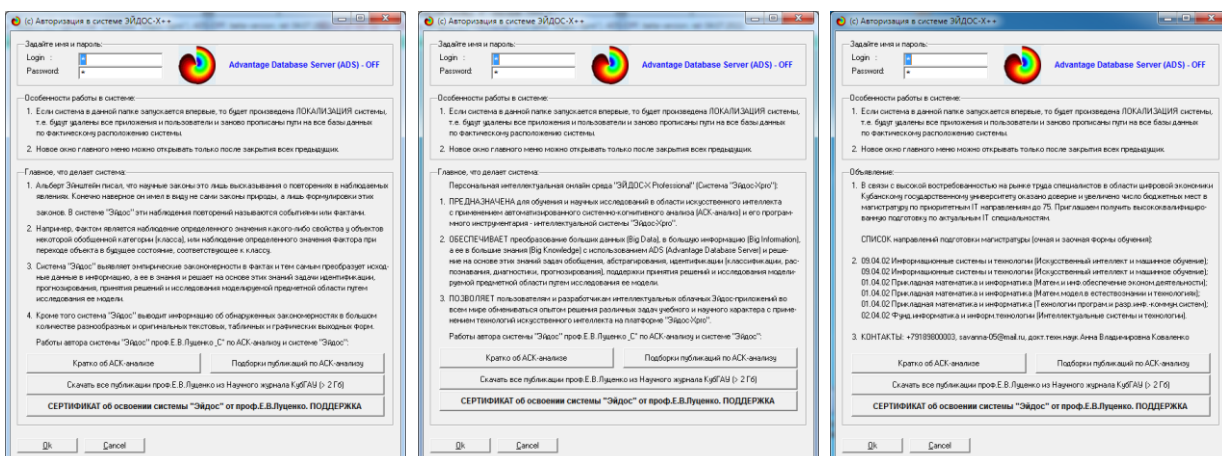


Рисунок 2. Титульные видеограммы текущей версии системы «Эйдос»

2.5. Цель и задачи работы

Целью работы является решение поставленной проблемы.

Достижение поставленной цели в АСК-анализе обеспечивается решением следующих *задач* и подзадач, которые являются *этапами* достижения цели:

Задача-1. Когнитивная структуризация предметной области.

⁸ http://lc.kubagro.ru/pic/aidos_titul.jpg

Задача-2. Формализация предметной области.

Задача-3. Синтез статистических и системно-когнитивных моделей.

Многопараметрическая типизация и частные критерии знаний.

Задача-4. Верификация моделей.

Задача-5. Выбор наиболее достоверной модели.

Задача-6. Системная идентификация и прогнозирование.

Задача-7. Поддержка принятия решений (Упрощенный вариант принятия решений как обратная задача прогнозирования, позитивный и негативный информационные портреты классов, SWOT-анализ; Развитый алгоритм принятия решений в АСК-анализе).

Задача-8 исследование объекта моделирования путем исследования его модели, включает ряд подзадач:

- 1) инвертированные SWOT-диаграммы значений описательных шкал (семантические потенциалы);
- 2) кластерно-конструктивный анализ классов;
- 3) кластерно-конструктивный анализ значений описательных шкал;
- 4) модель знаний системы «Эйдос» и нелокальные нейроны;
- 5) нелокальная нейронная сеть;
- 6) 3d-интегральные когнитивные карты;
- 7) 2d-интегральные когнитивные карты содержательного сравнения классов (опосредованные нечеткие правдоподобные рассуждения);
- 8) 2d-интегральные когнитивные карты содержательного сравнения значений факторов (опосредованные нечеткие правдоподобные рассуждения);
- 9) когнитивные функции;
- 10) значимость описательных шкал и их градаций;
- 11) степень детерминированности классов и классификационных шкал).

На рисунке 3 приведена последовательность преобразования исходных данных в информацию, а ее в знания и применения этих знаний для решения различных задач в системе «Эйдос»:

**Последовательность обработки данных, информации и знаний в системе «Эйдос»,
повышение уровня системности данных, информации и знаний,
повышение уровня системности моделей**

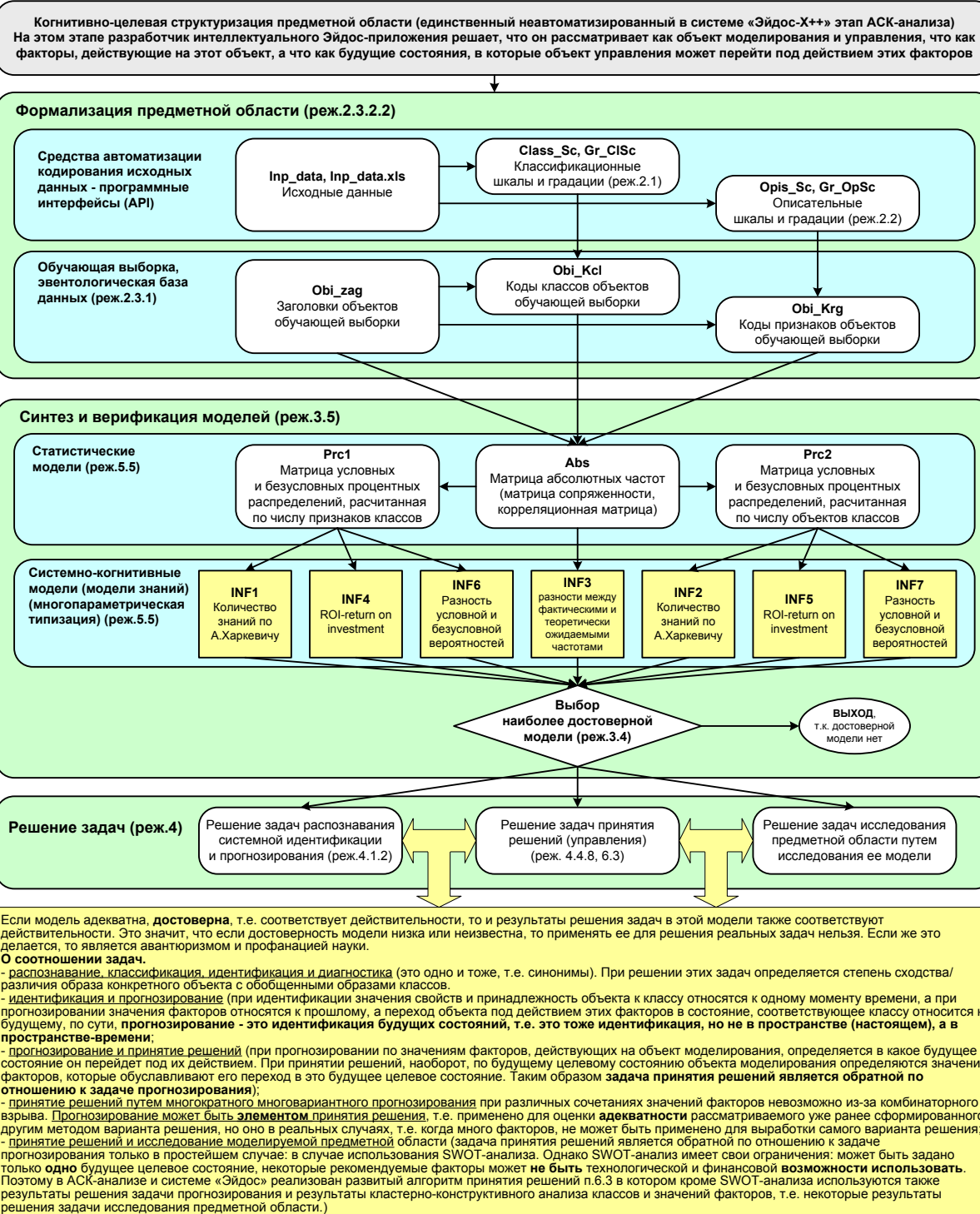


Рисунок 3. Последовательность преобразования исходных данных в информацию, а ее в знания и применения этих знаний для решения различных задач в системе «Эйдос»

3. RESULTS (РЕЗУЛЬТАТЫ)

3.1. Задача-1. Когнитивная структуризация предметной области. Две интерпретации классификационных и описательных шкал и градаций

На этапе когнитивно-целевой структуризации предметной области мы неформализуем путем решаем на качественном уровне, что будем рассматривать в качестве объекта моделирования, что в качестве факторов, действующих на моделируемый объект (причин), а что в качестве результатов действия этих факторов (последствий). По сути это постановка решаемой проблемы.

Описательные шкалы служат для формального описания факторов, а классификационные – результатов их действия на объект моделирования. Шкалы могут быть числовые и текстовые. Текстовые шкалы могут быть номинальные и порядковые.

Когнитивная структуризация предметной области является первым и единственным неавтоматизированном в системе «Эйдос» этапом АСК-анализа, т.е. все последующие этапы АСК анализа в ней полностью автоматизированы.

В АСК-анализе и системе «Эйдос» применяется две интерпретации классификационных и описательных шкал и градаций: ***статичная и динамичная*** и соответствующая терминология (обобщающая, статичная и динамичная). Есть также обобщающая интерпретация и соответствующая ей терминология.

Статичная интерпретация и терминология:

- градации классификационных шкал – это обобщающие категории видов объектов (классы);
- описательные шкалы – свойства объектов, градации описательных шкал – значения свойств (признаки) объектов.

Динамичная интерпретация и терминология:

- градации классификационных шкал – это обобщающие категории будущих состояний объекта моделирования (классы), описывающие результаты действия факторов на объект моделирования в натуральном и стоимостном выражении: например, количество и качество продукции, прибыль и рентабельность;
- описательные шкалы – факторы, действующие на объект моделирования, градации описательных шкал – значения факторов, действующие на объект моделирования.

Обобщающая терминология:

- классификационные шкалы и градации;
- описательные шкалы и градации.

В данной работе в качестве *объекта моделирования* выступают оружия, в качестве *факторов* – его стоимость, заработка за убийство, окупаемость, мобильность, скорострельность (в минуту), урон, урон в секунду, бронепробиваемость, мощность прострела, размер магазина, максимальный боезапас, время перезарядки (в сек.), отдача, дистанция поражения, разброс (таблица 1), а в качестве *результатов* действия этих факторов – класс оружия (таблица 2):

Таблица 1 – Описательные шкалы (факторы)

Код	Наименование
1	Cost (\$)
2	Kill Award (\$)
3	Max Speed
4	Rate of fire
5	DPS
6	Armor Penetration (%)
7	Penetration
8	Clip Size
9	Max Ammo
10	Reload (sec)
11	Recoil Magnitude
12	Accurate range (m)
13	Spread

Источник: D:\Aidos-X\AID_DATA\A0000002\System\Opis_Sc.dbf

Таблица 2 – Классификационные шкалы (результаты действия факторов)

Код	Наименование
1	Category

Источник: D:\Aidos-X\AID_DATA\A0000002\System\Class_Sc.dbf

3.2. Задача-2. Формализация предметной области

На этапе формализации предметной области разрабатываются классификационные и описательные шкалы и градации, а затем исходные данные кодируются с их использованием, в результате чего получается обучающая выборка. Обучающая выборка, по сути, представляет собой исходные данные, *нормализованные* с помощью классификационных и описательных шкал и градаций. Этим самым подготавливается все необходимое для выполнения следующего этапа АСК-анализа: синтеза и верификации статистических и системно-когнитивных моделей.

В системе «Эйдос» имеется большое количество разнообразных автоматизированных программных интерфейсов (API), обеспечивающих ввод в систему внешних данных различных типов: текстовых, табличных и графических, а также других, которые могут быть представлены в этом виде, например, аудио, данные электроэнцефалограммы (ЭЭГ) или кардиограммы (ЭКГ).

Этим обеспечивается возможность комфортного для пользователя применения системы «Эйдос» для проведения научных исследований в самых различных направлениях науки и решения практических задач в самых различных предметных областях, практически почти везде, где человек применяет естественный интеллект.

В качестве **источника исходных данных** в данной работе используем обновленную таблицу данных из предыдущей работы. Ссылка на полные исходные данные:

https://docs.google.com/spreadsheets/d/11tDzUNBq9zIX6_9Rel_fdAUezAQzSnh5AVYzCP060c/

Таблица 3 – Таблица исходных данных

Name	Category	Cost (\$)	Kill Award (\$)	Max Speed	Rate of fire	Damage	DPS	Armor Penetration (%)	Penetration	Clip Size	Max Ammo	Reload (sec)	Recoil Magnitude	Accurate range (m)	Spread	
AK-47	Rifle	2 700	300	215	600	36	360	77,50	2	30	90	2,50	30,0	21,74	0,60	
AUG	Rifle	3 300	300	220	666	28	311	90,00	2	30	90	3,80	24,0	28,22	0,50	
AWP	Rifle	4 750	100	200	41	115	79	97,50	2,5	10	30	3,60	78,0	69,27	0,20	
CZ75 Auto	Pistol	500	100	240	600	31	310	77,65	1	12	12	2,70	31,0	11,35	3,00	
Desert Eagle	Pistol	700	300	230	267	73	325	93,20	2	7	35	2,20	48,2	24,58	2,00	
Dual Berettas	Pistol	300	300	240	500	38	317	57,50	1	30	120	3,80	27,0	16,93	2,00	
FAMAS	Rifle	2 050	300	220	666	30	333	70,00	2	25	90	3,30	20,0	14,58	0,60	
Five-SeveN	Pistol	500	300	240	400	32	213	91,15	1	20	100	2,20	25,0	13,73	2,00	
G3SG1	Rifle	5 000	300	215	240	80	320	82,50	2,5	20	90	4,70	30,0	66,26	0,30	
Galil AR	Rifle	1 800	300	215	666	30	333	77,50	2	35	90	3,00	21,0	16,26	0,60	
Glock 18	Pistol	200	300	240	400	30	200	47,00	1	20	120	2,20	18,0	20,05	2,00	
M249	Heavy	5 200	300	195	750	32	400	80,00	2	100	200	5,70	25,0	15,71	2,00	
M4A4	Rifle	3 100	300	225	666	33	366	70,00	2	30	90	3,10	23,0	27,71	0,60	
M4A1-S	Rifle	2 900	300	225	600	33	330	70,00	2	20	80	3,10	25,0	28,22	0,60	
MAC-10	SMG	1 050	600	240	800	29	387	57,50	1	30	100	2,60	18,0	10,96	0,60	
MAG-7	Heavy	1 300	900	225	71	240	284	75,00	1	5	32	2,40	165,0	3,24	40,00	
MP7	SMG	1 500	600	220	800	29	387	62,50	1	30	30	120	3,10	16,0	14,38	0,60
MP9	SMG	1 250	600	240	857	26	371	60,00	1	30	120	2,10	19,0	15,88	0,60	
Negev	Heavy	1 700	300	150	800	35	467	71,00	2	150	300	5,70	20,0	12,52	2,00	
Nova	Heavy	1 050	900	220	68	234	265	50,00	0	8	32	3,70	143,0	3,24	40,00	
P2000	Pistol	200	300	240	352	35	205	50,50	1	13	52	2,20	26,0	22,09	2,00	
P250	Pistol	300	300	240	400	38	253	64,00	1	13	26	2,20	26,0	13,73	2,00	
P90	SMG	2 350	300	230	857	26	371	69,00	1	50	100	3,30	16,0	10,4	1,00	
Bizon	SMG	1 400	600	240	750	27	338	63,00	1	64	120	2,40	18,0	10,16	1,00	
Sawed-Off	Heavy	1 100	900	210	71	256	303	75,00	1	7	32	3,20	143,0	2,21	62,00	
SCAR-20	Rifle	5 000	300	215	240	80	320	82,50	2,5	20	90	3,10	31,0	66,26	0,30	
SG 553	Rifle	3 000	300	210	666	30	333	100,00	2	30	90	2,80	28,0	23,78	0,60	
SSG 08	Rifle	1 700	300	230	48	88	70	85,00	2,5	10	90	3,70	33,0	47,18	0,28	
Tec-9	Pistol	500	300	240	500	33	275	90,60	1	18	90	2,50	23,0	22,09	2,00	
UMP-45	SMG	1 200	600	230	666	35	389	65,00	1	25	100	3,50	23,0	10,56	1,00	
USP-S	Pistol	200	300	240	352	35	206	50,50	1	12	24	2,20	29,0	23,81	2,50	
XM1014	Heavy	2 000	900	215	171	120	342	80,00	1	7	32	2,80	80,0	3,39	38,00	
MPS-SD	SMG	1 500	600	235	750	27	338	62,50	1	30	120	2,97	16,0	14,38	0,60	
R8	Pistol	600	300	220	150	86	215	93,20	2	8	8	2,30	20,0	18,51	0,52	

Примечание: в формате MS Excel таблицу 5 можно скачать по ссылке:

http://aidos.byethost5.com/Source_data_applications/Applications-338/Inp_data.xls.

Таблица 3 имеет следующую структуру:

– каждая строка описывает одно наблюдение, всего 34 наблюдений;
 – каждое **наблюдение** описывается одновременно двумя способами: с одной стороны значениями факторов, действующих на объект моделирования (лингвистические переменные, градации описательных шкал, бесцветный фон), а с другой стороны результатами действия этих

факторов, т.е. классом оружия, выраженными в числовых шкалах в разных единицах измерения (желтый фон). Такая структура описания наблюдений в технологиях искусственного интеллекта называется «онтологией» и модели представлений знаний Марвина Мински (1975) называется «фрейм-экземпляр»;

– 1-я колонка – номер наблюдения (не является шкалой);

– 2-я колонка – это классификационная шкала – это шкалы **текстового** типа описывающие **результаты** действия факторов, в данном случае это класс оружия (таблица 2). В общем случае в исходных данных может быть значительно больше классификационных шкал, описывающих результаты действия факторов на объект моделирования в натуральном и стоимостном выражении [11]. Например, количество и качество продукции, прибыль и рентабельность. В системе «Эйдос» существует не очень жестко ограничение на суммарное количество градаций классификационных шкал: их должно быть не более 2032;

– колонки с 3-й по 16-ю – это описательные шкалы, формализующие факторы, действующие на объект моделирования: стоимость, заработка за убийство, мобильность, скорострельность (в минуту), урон, урон в секунду, бронепробиваемость, мощность прострела, размер магазина, максимальный боезапас, время перезарядки (в сек.), отдача, дистанция поражения, разброс (таблица 1). Эти шкалы имеют числовой тип.

– таблица 3, содержащая обновленные исходные данные. Из источника были взяты только важные по мнению авторов характеристики. При вводе данных в систему «Эйдос» нули и пробелы в исходных данных могут рассматриваться как значение или как отсутствие данных. В нашем случае будет использован первый вариант.

Математическая модель системы «Эйдос» обеспечивает устойчивое выявление в сопоставимой форме силы и направления причинно-следственных зависимостей в неполных (фрагментированных) зашумленных взаимозависимых (нелинейных) данных очень большой размерности числовой и не числовой природы, измеряемых в различных типах шкал (номинальных, порядковых и числовых) и в различных единицах измерения. Таким образом, система «Эйдос» не предъявляет жестких практически невыполнимых требований к исходным данным, а обрабатывает те данные, которые реально есть.

В системе «Эйдос» есть 6 основных автоматизированных программных интерфейсов (API), обеспечивающих ввод в систему и интеллектуальную обработку числовых, текстовых и графических данных, представленных в виде таблиц и файлов. Возможна обработка и других видов данных (например, данных землетрясений, ЭЭГ, ЭКГ, аудио и видео), которые возможно представить в этих форматах (рисунок 4).

2.3.2. Программные интерфейсы с внешними базами данных	<ul style="list-style-type: none"> 2.3.2.1. Импорт данных из текстовых файлов 2.3.2.2. Универсальный программный интерфейс импорта данных в систему 2.3.2.3. Импорт данных из транспонированных внешних баз данных 2.3.2.4. Оцифровка изображений по внешним контурам 2.3.2.5. Оцифровка изображений по всем пикселям и спектру 2.3.2.6. Сценарный АСК-анализ символьных и числовых рядов <hr/> 2.3.2.7. Транспонирование файлов исходных данных 2.3.2.8. Объединение нескольких файлов исходных данных в один 2.3.2.9. Разбиение TXT-файла на файлы-абзацы 2.3.2.10. CSV => DBF конвертер системы "Эйдос" <hr/> 2.3.2.11. Прогноз событий по астропараметрам по Н.А.Чередниченко 2.3.2.12. Прогнозирование землетрясений методом Н.А.Чередниченко 2.3.2.13. Чемпионат RAIF-Challenge 2017-API-bank 2.3.2.14. Чемпионат RAIF-Challenge 2017-API-retail <hr/> 2.3.2.15. Вставка промежуточных строк в файл исходных данных inp_data
---	--

Рисунок 4. Автоматизированные программные интерфейсы (API) системы «Эйдос»

Для ввода исходных данных, представленных в таблице 5, в систему «Эйдос», используется один из ее автоматизированных программных интерфейсов (API), а именно универсальный автоматизированный программный интерфейс ввода данных из файлов MS Excel (API-2.3.2.2).

Требования API-2.3.2.2 к исходным данным подробно описаны в хелпах этого режима (рисунки 5):

Экранные формы управления API-2.3.2.2 системы «Эйдос» с *реальными параметрами*, использованными в данной работе, приведены на рисунках 3.

В таблицах 6, 7, 8 приведены классификационные и описательные шкалы и градации, а также обучающая выборка, сформированные API-2.3.2.2 при параметрах, показанных на рисунках 3.

На 2-м рисунке 5 указано, что в описательных шкалах суммарное количество градаций – 3.

Для классификационных шкал на 5-м рисунке 3 приведено также количество наблюдений для каждого интервального значения (градации) и его размер. За счет того, что интервальные значения имеют разные размеры, удается преодолеть *несбалансированность данных*, т.к. число наблюдений в каждом интервальном значении некоторой шкалы получается равным с точностью 1 (т.к. число наблюдений – всегда целое число).

Под *несбалансированностью данных* понимается *неравномерность распределения* значений свойств объекта моделирования или действующих на него факторов по диапазону изменения значений числовых шкал.

Помощь по режиму 2.3.2.2 для случая Excel-файлов исходных данных

Режим 2.3.2.2: Универсальный программный интерфейс импорта данных из внешней базы данных "Inp_data.xls(x)" в систему "Эйдос-Х++" и формализации предметной области.

- Данный программный интерфейс обеспечивает формализацию предметной области, т.е. анализ файла исходных данных Inp_data.xls(x), формирование классификационных и описательных шкал и градаций, а затем кодирование файла исходных с их использованием.
- Файл исходных данных должен иметь имя: Inp_data.xls(x), а файл распознаваемой выборки имя: Inp_rasp.xls(x). Файлы Inp_data.xls(x) и Inp_rasp.xls(x) должны находиться в папке ./ADDS_X/AD_Data/Inp_data/. Эти файлы имеют совершенно одинаковую структуру.
- 1-я строка этого файла должна содержать наименования колонок, на любом языке, в т.ч. и русском. Эти наименования должны быть во всех колонках, при этом переносы по словам разрешены, а объединение ячеек, разрыв строки знак абзаца не допускается. Эти наименования должны быть короткими, но понятными, т.к. они будут в выходных формах, а к ним еще будут добавляться наименования градаций. В числовых шкалах надо обязательно указывать единицы измерения после запятой в колонке должно быть ОДИНАКОВОЕ.
- 1-я колонка содержит наименование объекта обучающей выборки или наименование наблюдения. Оно может быть длинным до 255 символов.
- Каждая строка этого файла, начиная со 2-й, содержит данные об одном объекте обучающей выборки или одном наблюдении. В MS Excel 2003 в листе может быть до 65536 строк и до 256 колонок. В листе MS Excel 2010 и более поздних возможно до 1048576 строк и 16384 колонок.
- Столбцы, начиная со 2-го, являются классификационными и описательными шкалами и могут быть текстового (номинального / порядкового) или числового типа (с десятичными знаками после запятой).
- Столбец присваивается числовой тип, если все значения ячеек числового типа. Если хотя бы одно значение является текстовым [не числом, в т.ч. проблем], то столбец присваивается текстовый тип. Это означает, что нули должны быть указаны нулями, а не пробелами.
- Столбцы со 2-го по N-й являются классификационными шкалами (выходными параметрами) и содержат данные о классах (будущих состояниях объекта управления), к которым принадлежат объекты обучающей выборки.
- Столбцы с N+1 по последний являются описательными шкалами (свойствами или факторами) и содержат данные о признаках (т.е. значениях свойств или значениях факторов), характеризующих объекты обучающей выборки.
- В результате работы режима формируется файл INP_NAME.TXT стандарта MS DOS (кириллица), в котором наименования классификационных и описательных шкал являются СТРОКАМИ. Система формирует классификационные и описательные шкалы и градации. Для этого в каждом числовом столбце система находит минимальное и максимальное числовые значения и формирует заданное количество числовых интервалов, после чего числовые значения заменяются их интервальными значениями. В текстовых столбцах система находит уникальные текстовые значения. Каждое УНИКАЛЬНОе интервальное число или текстовое значение считается градацией классификационной или описательной шкалы, характеризующей объект. В каждой шкале ее градации сортируются по алфавиту. С использованием шкал и градаций сортируются исходные данные в результате чего генерируется обучающая выборка, каждый объект которой соответствует одной строке файла исходных данных NP_DATA и содержит коды классов, соответствующие фактам совпадения числовых или уникальных текстовых значений классов с градациями классификационных шкал и коды признаков, соответствующие фактам совпадения числовых или уникальных текстовых значений признаков с градациями описательных шкал.
- Распознаваемая выборка формируется на основе файла INP_RASP аналогично, за исключением того, что классификационные и описательные шкалы и градации не создаются, а используются ранее созданные в модели, и базы распознаваемой выборки могут не включать коды классов, если столбцы классов в файле INP_RASP были пустыми. Структура файла INP_RASP должна быть такая же, как INP_DATA, т.е. они должны ПОЛНОСТЬЮ совпадать по наименованиям столбцов, но могут иметь разное количество строк с разными значениями в них.

—Принцип организации таблицы исходных данных:

Наименование объекта обучающей выборки	Наименование 1-й классификационной шкалы	Наименование 2-й классификационной шкалы	Наименование 1-й описательной шкалы	Наименование 2-й описательной шкалы	...	
1-й объект обучающей выборки (1-е наблюдение)	Значение шкалы	Значение шкалы	...	Значение шкалы	Значение шкалы	...
2-й объект обучающей выборки (2-е наблюдение)	Значение шкалы	Значение шкалы	...	Значение шкалы	Значение шкалы	...
...

Определения основных терминов и профилактика типичных ошибок при подготовке Excel-файла исходных данных

Режим 2.3.2.2: Универсальный программный интерфейс импорта данных из внешней базы данных "Inp_data.xls(x)" в систему "Эйдос-Х++"

ТЕРМИНЫ АСК-АНАЛИЗА И СИСТЕМЫ "ЭЙДОС":

Шкала представляет собой способ формализации предметной области. Используются числовые и текстовые шкалы, при этом текстовые могут быть номинальными и порядковыми. На номинальных шкалах есть только отношения эквивалентности и неэквивалентности, на порядковых, кроме того еще отношения "больше", "меньше", а на числовых — кроме того могут выполняться все арифметические операции. Каждый объект выборки [наблюдение] описан с одной стороны своими признаками, с другой — принадлежностью к некоторым обобщающим категориям [классам]. Такая структура описания называется онтологией или фреймом экспертизы и является базой для всех моделей представления знаний.

В АСК-анализе и системе "Эйдос" используется три интерпретации шкал и градаций: универсальная, статическая и динамическая:

- в универсальной интерпретации: признаки - это градации описательных шкал;
- в статической интерпретации: описательная шкала - это свойство, а градация [признак] - это степень выраженности этого свойства;
- в динамической интерпретации: описательная шкала - это фактор, а градация [признак] - это значение фактора;
- в универсальной интерпретации: классификационная шкала - способ классификации обобщающих категорий [классов], к которым в настоящем времени по отношению к признакам относится состояние объекта моделирования;
- в динамической интерпретации: классификационная шкала - способ классификации обобщающих категорий [классов], к которым в будущем времени по отношению к признакам относится состояние объекта прогнозирования или управления;

ПРОФИЛАКТИКА ОШИБОК В ФАЙЛЕ ИСХОДНЫХ ДАННЫХ:

- 1-я строка файла "Inp_data.xls(x)" должна содержать наименования колонок. Эти наименования должны быть во всех колонках, при этом переносы по словам разрешены, а объединение ячеек, разрыв строки знак абзаца и неалфавитные символы не допускаются. Эти наименования должны быть короткими, но понятными, т.к. они будут в выходных формах, а к ним еще будут добавляться наименования градаций. В числовых шкалах надо обязательно указывать единицы измерения. Число знаков после запятой в числовых колонках должно быть одинаковым.
- 1-я колонка содержит наименование объекта обучающей выборки или наименование наблюдения. Оно может быть длинным до 255 символов.
- Столбцы, начиная со 2-го, являются классификационными и описательными шкалами и могут быть текстового (номинального / порядкового) или числового типа (с десятичными знаками после запятой). Чтобы текстовая шкала была порядковой, нужно чтобы при сортировке по алфавиту градации этой шкалы образовывали логическую последовательность от минимального значения до максимального. Например, текстовая шкала "Размер" с градациями: "очень малое", "малое", "среднее", "большое", "очень большое", будет номинальной шкалой, т.к. при сортировке по алфавиту они расположатся в порядке: "большое", "малое", "среднее", "очень большое", "очень малое". "среднее". Чтобы шкала "Размер" стала порядковой нужно в этих градациях присвоить следующие значения: "1/5-очень малое", "2/5-малое", "3/5-среднее", "4/5-большое", "5/5-очень большое".
- Столбец присваивается числовой тип, если все значения ячеек числового типа. Если хотя бы одно значение является текстовым [не числом, в т.ч. проблем], то столбец присваивается текстовый тип. Это означает, что нули должны быть указаны нулями, а не пробелами.
- Если в системе "Эйдос" в режимах 2.1, 2.2 посмотреть на градации классификационных и описательных шкал, которые должны быть числовыми, то сразу видно, в какой форме представлены числа: числовыми диапазонами или просто числами. Если числовыми диапазонами, значит в файле исходных данных в этом отношении все правильно, если же числа, то возможно в Excel-файле нужно заменить десятичные точки на запятые, а также найти и исправить нечисловые данные в числовых по смыслу колонках. Быстро найти их можно перейдя на последнюю строку файла исходных данных и зайдя расчет суммы колонок. В формуле будет видно с какой строки идет расчет суммы. Если со 2-й, то значит все верно, иначе будет указана строка, в которой находится нечисловое значение.
- Система "Эйдос" работает с областью данных файла исходных данных, которую можно выделить блоком, поставив курсор в ячейку A1, нажав Ctrl+Home, а затем зажав клавиши Shift+Ctrl нажать End. Если этот блок выходит за пределы таблицы, фактически занятой данными надо скопировать эту фактическую область данных в буфер обмена, создать новый лист и скопировать в него, а исходный лист удалить.
- Иногда бывает полезно сбросить все форматирование Excel-таблицы исходных данных. Это можно сделать в MS Excel. А можно скопировать таблицу в MS Word, а потом обратно в MS Excel.

—Принцип организации таблицы исходных данных:

Наименование объекта обучающей выборки	Наименование 1-й классификационной шкалы	Наименование 2-й классификационной шкалы	...	Наименование 1-й описательной шкалы	Наименование 2-й описательной шкалы	...
1-й объект обучающей выборки (1-е наблюдение)	Значение шкалы	Значение шкалы	...	Значение шкалы	Значение шкалы	...
2-й объект обучающей выборки (2-е наблюдение)	Значение шкалы	Значение шкалы	...	Значение шкалы	Значение шкалы	...
...

Рисунок 5. Хелпы API-2.3.2.2 системы «Эйдос»

2.3.2.2. Универсальный программный интерфейс импорта данных в систему "ЭЙДОС-Х++"

Автоматическая формализация предметной области: генерация классификационных и описательных шкал и градаций, а также обучающей и распознаваемой выборки на основе базы исходных данных: "Inp_data"

Задайте тип файла исходных данных: "Inp_data":

- XLS - MS Excel-2003
- XLSX-MS Excel-2007(2010)
- DBF - DBASE IV (DBF/NTX)
- CSV - CSV => DBF конвертер

Стандарт XLS-файла
Стандарт DBF-файла
Стандарт CSV-файла

Задайте параметры:

- Нули и пробелы считать ОТСУТСТВИЕМ данных
- Нули и пробелы считать ЗНАЧЕНИЯМИ данных
- Создавать БД средних по классам "Inp_davr.dbf"?

Требования к файлу исходных данных

Задайте диапазон столбцов классификационных шкал:

Начальный столбец классификационных шкал:
Конечный столбец классификационных шкал:

Задайте диапазон столбцов описательных шкал:

Начальный столбец описательных шкал:
Конечный столбец описательных шкал:

Задайте режим:

- Формализации предметной области (на основе "Inp_data")
- Генерации распознаваемой выборки (на основе "Inp_rasp")

Задание параметров формирования сценариев или способа интерпретации текстовых полей "Inp_data":

- Не применять сценарий метод АСК-анализа
- Применить сценарий метод АСК-анализа

Параметры интерпретации значений текстовых полей "Inp_data":

Интерпретация TXT-полей классов:

Значения полей текстовых классификационных шкал файла исходных данных "Inp_data" рассматриваются как целое

Интерпретация TXT-полей признаков:

Значения полей текстовых описательных шкал файла исходных данных "Inp_data" рассматриваются как целое

Какие наименования ГРАДАЦИЙ числовых шкал использовать:

- Только интервальные числовые значения (например: "1/3-{59873.000000, 178545.666667}")
- Только наименования интервальных числовых значений (например: "Минимальное")
- И интервальные числовые значения, и их наименования (например: "Минимальное: 1/3-{59873.000000, 178545.666667}")

Ok **Cancel**

2.3.2.2. Задание размерности модели системы "ЭЙДОС-Х++"

ЗАДАНИЕ В ДИАЛОГЕ РАЗМЕРНОСТИ МОДЕЛИ: (адаптивные интервалы)

Количество градаций классификационных и описательных шкал в модели, т.е.: [4 классов x 42 признаков]

Тип шкалы	Количество классификационных шкал	Количество градаций классификационных	Среднее количество градаций на класс.шкалу	Количество описательных шкал	Количество градаций описательных шкал	Среднее количество градаций на опис.шкалу
Числовые	0	0	0,00	14	42	3,00
Текстовые	1	4	4,00	0	0	0,00
ВСЕГО:	1	4	4,00	14	42	3,00

Задайте количество числовых диапазонов (интервалов, градаций) в шкале:

В описательных шкалах:

Пересчитать шкалы и градации **Параметры числ.шкал и градаций** **Выйти на создание модели**

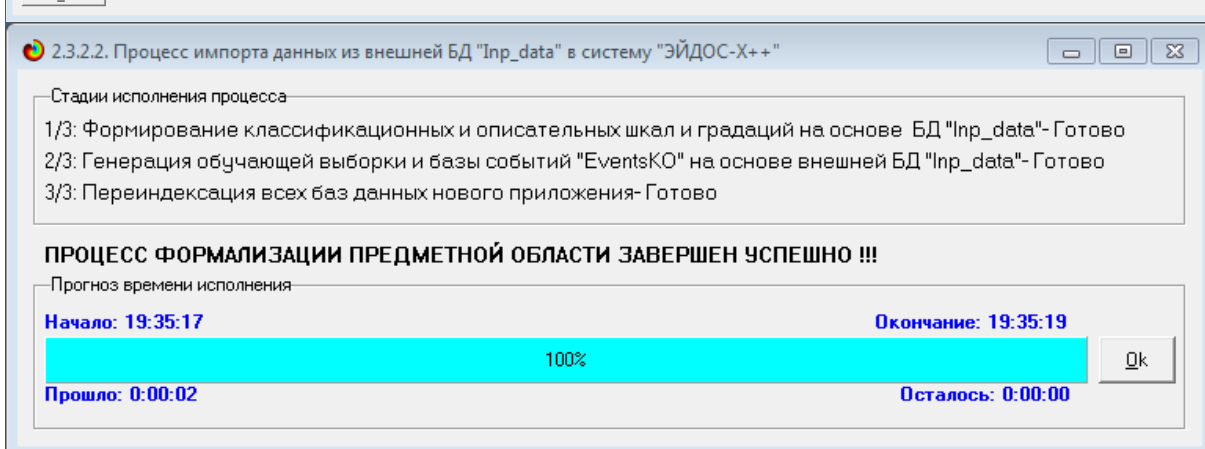
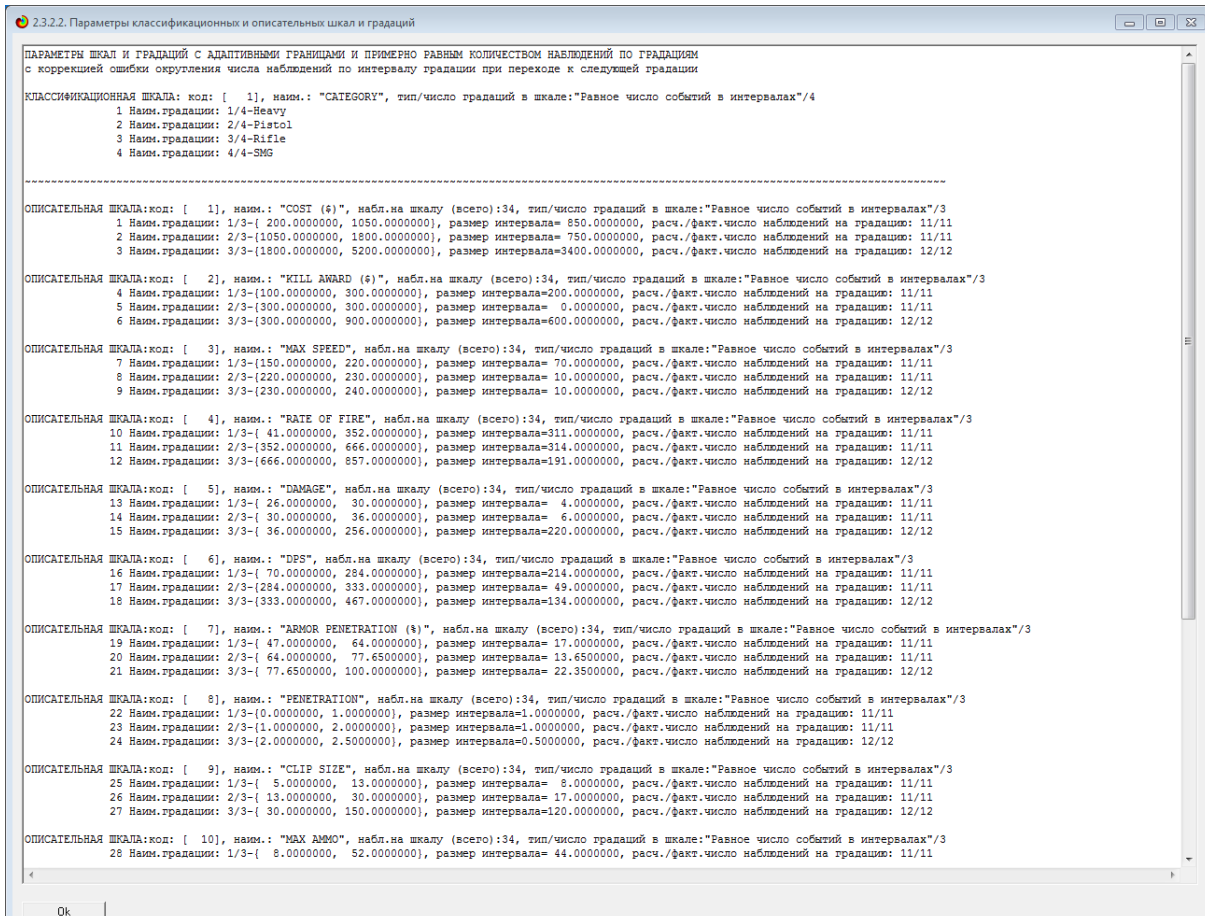


Рисунок 6. Экранные формы управления API-2.3.2.2 системы «Эйдос»

Таблица 4 – Классификационные шкалы и градации (числовые шкалы)

KOD_CLS	NAME_CLS
1	CATEGORY-1/4-Heavy
2	CATEGORY-2/4-Pistol
3	CATEGORY-3/4-Rifle
4	CATEGORY-4/4-SMG

Источник: D:\Aidos-X\AID_DATA\A0000002\System\Classes.dbf

Таблица 5 – Описательные шкалы и градации

KOD_ATR	NAME_ATR
1	COST (\$)-1/3-{200.0000000, 1050.0000000}
2	COST (\$)-2/3-{1050.0000000, 1800.0000000}
3	COST (\$)-3/3-{1800.0000000, 5200.0000000}
4	KILL AWARD (\$)-1/3-{100.0000000, 300.0000000}
5	KILL AWARD (\$)-2/3-{300.0000000, 300.0000000}
6	KILL AWARD (\$)-3/3-{300.0000000, 900.0000000}
7	MAX SPEED-1/3-{150.0000000, 220.0000000}
8	MAX SPEED-2/3-{220.0000000, 230.0000000}
9	MAX SPEED-3/3-{230.0000000, 240.0000000}
10	RATE OF FIRE-1/3-{41.0000000, 352.0000000}
11	RATE OF FIRE-2/3-{352.0000000, 666.0000000}
12	RATE OF FIRE-3/3-{666.0000000, 857.0000000}
13	DAMAGE-1/3-{26.0000000, 30.0000000}
14	DAMAGE-2/3-{30.0000000, 36.0000000}
15	DAMAGE-3/3-{36.0000000, 256.0000000}
16	DPS-1/3-{70.0000000, 284.0000000}
17	DPS-2/3-{284.0000000, 333.0000000}
18	DPS-3/3-{333.0000000, 467.0000000}
19	ARMOR PENETRATION (%)-1/3-{47.0000000, 64.0000000}
20	ARMOR PENETRATION (%)-2/3-{64.0000000, 77.6500000}
21	ARMOR PENETRATION (%)-3/3-{77.6500000, 100.0000000}
22	PENETRATION-1/3-{0.0000000, 1.0000000}
23	PENETRATION-2/3-{1.0000000, 2.0000000}
24	PENETRATION-3/3-{2.0000000, 2.5000000}
25	CLIP SIZE-1/3-{5.0000000, 13.0000000}
26	CLIP SIZE-2/3-{13.0000000, 30.0000000}
27	CLIP SIZE-3/3-{30.0000000, 150.0000000}
28	MAX AMMO-1/3-{8.0000000, 52.0000000}
29	MAX AMMO-2/3-{52.0000000, 90.0000000}
30	MAX AMMO-3/3-{90.0000000, 300.0000000}
31	RELOAD (SEC)-1/3-{2.1000000, 2.5000000}
32	RELOAD (SEC)-2/3-{2.5000000, 3.1000000}
33	RELOAD (SEC)-3/3-{3.1000000, 5.7000000}
34	RECOIL MAGNITUDE-1/3-{16.0000000, 21.0000000}
35	RECOIL MAGNITUDE-2/3-{21.0000000, 28.0000000}
36	RECOIL MAGNITUDE-3/3-{28.0000000, 165.0000000}
37	ACCURATE RANGE (M)-1/3-{2.2100000, 13.7300000}
38	ACCURATE RANGE (M)-2/3-{13.7300000, 21.7400000}
39	ACCURATE RANGE (M)-3/3-{21.7400000, 69.2700000}
40	SPREAD-1/3-{0.2000000, 0.6000000}
41	SPREAD-2/3-{0.6000000, 2.0000000}
42	SPREAD-3/3-{2.0000000, 62.0000000}

Источник: D:\Aidos-X\AID_DATA\A0000002\System\Attributes.dbf

Таблица 6 – Обучающая выборка (полностью)

NAME_OBJ	N2	N3	N4	N5	N6	N7	N8	N9	N10	N11	N12	N13	N14	N15	N16
AK-47	3	3	4	7	11	14	18	20	23	26	29	31	36	38	40
AUG	3	3	4	7	11	13	17	21	23	26	29	33	35	39	40
AWP	3	3	4	7	10	15	16	21	24	25	28	33	36	39	40
CZ75 Auto	2	1	4	9	11	14	17	20	22	25	28	32	36	37	42
Desert Eagle	2	1	4	8	10	15	17	21	23	25	28	31	36	39	41
Dual Berettas	2	1	4	9	11	15	17	19	22	26	30	33	35	38	41
FAMAS	3	3	4	7	11	13	17	20	23	26	29	33	34	38	40
Five-SeveN	2	1	4	9	11	14	16	21	22	26	30	31	35	37	41
G3SG1	3	3	4	7	10	15	17	21	24	26	29	33	36	39	40
Galil AR	3	2	4	7	11	13	17	20	23	27	29	32	34	38	40
Glock 18	2	1	4	9	11	13	16	19	22	26	30	31	34	38	41
M249	1	3	4	7	12	14	18	21	23	27	30	33	35	38	41
M4A4	3	3	4	8	11	14	18	20	23	26	29	32	35	39	40
M4A1-S	3	3	4	8	11	14	17	20	23	26	29	32	35	39	40
MAC-10	4	1	6	9	12	13	18	19	22	26	30	32	34	37	40
MAG-7	1	2	6	8	10	15	16	20	22	25	28	31	36	37	42
MP7	4	2	6	7	12	13	18	19	22	26	30	32	34	38	40
MP9	4	2	6	9	12	13	18	19	22	26	30	31	34	38	40
Negev	1	2	4	7	12	14	18	20	23	27	30	33	34	37	41
Nova	1	1	6	7	10	15	16	19	22	25	28	33	36	37	42
P2000	2	1	4	9	10	14	16	19	22	25	28	31	35	39	41
P250	2	1	4	9	11	15	16	19	22	25	28	31	35	37	41
P90	4	3	4	8	12	13	18	20	22	27	30	33	34	37	41
Bizon	4	2	6	9	12	13	18	19	22	27	30	31	34	37	41
Sawed-Off	1	2	6	7	10	15	17	20	22	25	28	33	36	37	42
SCAR-20	3	3	4	7	10	15	17	21	24	26	29	32	36	39	40
SG 553	3	3	4	7	11	13	17	21	23	26	29	32	35	39	40
SSG 08	3	2	4	8	10	15	16	21	24	25	29	33	36	39	40
Tec-9	2	1	4	9	11	14	16	21	22	26	29	31	35	39	41
UMP-45	4	2	6	8	11	14	18	20	22	26	30	33	35	37	41
USP-S	2	1	4	9	10	14	16	19	22	25	28	31	36	39	42
XM1014	1	3	6	7	10	15	18	21	22	25	28	32	36	37	42
MP5-SD	4	2	6	9	12	13	18	19	22	26	30	32	34	38	40
R8	2	1	4	7	10	15	16	21	23	25	28	31	34	38	40

Источник: D:\Aidos-X\AID_DATA\A0000002\System\EventsKO.dbf

Отметим, что в системе «Эйдос» обычно используются базы данных с расширением «dbf». Они открываются в MS Excel или могут быть конвертированы в файлы xls,xlsx с помощью онлайн-сервисов.

3.3. Задача-3. Синтез статистических и системно-когнитивных моделей. Многопараметрическая типизация и частные критерии знаний

Синтез и верификация статистических и системно-когнитивных моделей (СК-моделей) моделей осуществляется в режиме 3.5 системы «Эйдос». Математические модели, на основе которых рассчитываются статистические и СК-модели, подробно описаны в ряде монографий и статей автора. Поэтому в данной работе мы рассмотрим эти вопросы очень кратко. Отметим лишь, что модели системы «Эйдос» основаны на матрице абсолютных частот, отражающей число встреч градаций описательных шкал по градациям классификационных шкал (фактов).

Но для решения всех задач используется не непосредственно сама эта матрица, а матрицы условных и безусловных процентных распределений и системно-когнитивные модели, которые рассчитываются на ее основе и отражают какое количество информации содержится в факте наблюдения определенной градации описательной шкалы о том, что объект моделирования перейдет в состояние, соответствующее определенной градации классификационной шкалы (классу) (рисунок 3).

Математическая модель АСК-анализа и системы «Эйдос» основана на системной нечеткой интервальной математике и обеспечивает [2, 3] сопоставимую обработку больших объемов фрагментированных и зашумленных взаимозависимых данных, представленных в различных типах шкал (номинальных, порядковых и числовых) и различных единицах измерения.

Суть математической модели АСК-анализа состоит в следующем.

Непосредственно на основе эмпирических данных (см. Help режима 2.3.2.2) рассчитывается матрица абсолютных частот (таблица 7).

На ее основе рассчитываются матрицы условных и безусловных процентных распределений (таблица 8).

Отметим, что в АСК-анализе и его программном инструментарии интеллектуальной системе «Эйдос» используется два способа расчета матриц условных и безусловных процентных распределений:

1-й способ: в качестве $N_{\Sigma j}$ используется суммарное количество признаков по классу;

2-й способ: в качестве $N_{\Sigma j}$ используется суммарное количество объектов обучающей выборки по классу.

На практике часто встречается существенная **несбалансированность данных**, под которой понимается сильно отличающееся количество наблюдений объектов обучающей выборки, относящихся к различным градациям одной классификационной или описательной шкалы. Поэтому решать задачу на основе непосредственно матрицы абсолютных частот

(таблица 7) было бы очень неразумно и переход от абсолютных частот к условным и безусловным относительным частотам (частостям) (таблица 8) является весьма обоснованным и логичным.

Таблица 7 – Матрица абсолютных частот (статистическая модель ABS)

		Классы					Сумма
		1	...	j	...	W	
Значения факторов	1	N_{11}	N_{1j}	N_{1W}			
	...						
	i	N_{i1}	N_{ij}	N_{iW}	$N_{i\Sigma} = \sum_{j=1}^W N_{ij}$		
	...						
	M	N_{M1}	N_{Mj}	N_{MW}			
Суммарное количество признаков по классу			$N_{\Sigma j} = \sum_{i=1}^M N_{ij}$				$N_{\Sigma\Sigma} = \sum_{i=1}^W \sum_{j=1}^M N_{ij}$
Суммарное количество объектов обучающей выборки по классу			$N_{\Sigma j}$				$N_{\Sigma\Sigma} = \sum_{j=1}^W N_{\Sigma j}$

Таблица 8 – Матрица условных и безусловных процентных распределений (статистические модели PRC1 и PRC2)

		Классы					Безусловная вероятность признака
		1	...	j	...	W	
Значения факторов	1	P_{11}	P_{1j}	P_{1W}			
	...						
	i	P_{i1}	$P_{ij} = \frac{N_{ij}}{N_{\Sigma j}}$	P_{iW}	$P_{i\Sigma} = \frac{N_{i\Sigma}}{N_{\Sigma\Sigma}}$		
	...						
	M	P_{M1}	P_{Mj}	P_{MW}			
Безусловная вероятность класса			$P_{\Sigma j}$				

Этот переход полностью снимает проблему несбалансированности данных, т.к. в последующем анализе используется не матрица абсолютных частот (таблица 7), а матрицы условных и безусловных процентных распределений (таблица 8) и матрицы системно-когнитивных моделей (СК-модели, таблица 10), в частности матрица информативностей.

Этот подход снимает также проблему обеспечения сопоставимости обработки в одной модели исходных данных, представленных в различных видах шкал (номинальных, порядковых и числовых) и в разных единицах измерения [6].

В системе «Эйдос» этот подход применяется *всегда* при решении любых задач.

Затем на основе таблиц 7 и 8 с использованием **частных критерииев, знаний** приведенных таблице 9, рассчитываются матрицы семи системно-когнитивных моделей (таблица 10).

В таблице 11 приведены формулы:

- для сравнения **фактических и теоретических абсолютных частот**;
- для сравнения **условных и безусловных относительных частот** («вероятностей»).

И это сравнение в таблицах 7 и 8 осуществляется двумя возможными способами: путем **вычитания** и путем **деления**.

Количество частных критериев знаний и основанных на них системно-когнитивных моделей (таблица 9), применяемых в настоящее время в системе «Эйдос» равное 7 определяется тем, что они получаются путем **всех возможных** вариантов сравнения **фактических и теоретических абсолютных частот, условных и безусловных относительных частот** путем **вычитания** и путем **деления**, и при этом N_j рассматривается как суммарное количество или **признаков**, или **объектов** обучающей выборки в j -м классе, а **нормировка к нулю** (для аддитивных интегральных критериев), если нет связи между наличием признака и принадлежностью объекта к классу, осуществляется либо **логарифмированием**, либо **вычитанием единицы**.

Когда мы сравниваем фактические и теоретические **абсолютные** частоты путем **вычитания** у нас получается частный критерий знаний: «хи-квадрат» (СК-модель INF3), когда же мы сравниваем их путем **деления**, то у нас получается частный критерий: «количество информации по А.Харкевичу» (СК-модели INF1, INF2) или «коэффициент возврата инвестиций ROI» - Return On Investment (СК-модели INF4, INF5) в зависимости от способа нормировки.

Когда же мы сравниваем **условные** и безусловные относительные частоты путем **вычитания** у нас получается частный критерий знаний: «коэффициент взаимосвязи» (СК-модели INF6, INF7), когда же мы сравниваем их путем **деления**, то у нас получается частный критерий: «количество информации по А.Харкевичу» (СК-модели INF1, INF2).

Таблица 9 – Различные аналитические формы частных критериев знаний, применяемые в АСК-анализе и системе «Эйдос»

Наименование модели знаний и частный критерий	Выражение для частного критерия	
	через относительные частоты	через абсолютные частоты
ABS , матрица абсолютных частот, N_{ij} - фактическое число встреч i -го признака у объектов j -го класса; \bar{N}_{ij} - теоретическое число встреч i -го признака у объектов j -го класса; N_i - суммарное количество признаков в i -й строке; N_j - суммарное количество признаков или объектов обучающей выборки в j -м классе; N - суммарное количество признаков по всей выборке (таблица 7)		$N_i = \sum_{j=1}^W N_{ij}; N_j = \sum_{i=1}^M N_{ij}; N = \sum_{i=1}^W \sum_{j=1}^M N_{ij};$ $N_{ij} - \text{фактическая частота};$ $\bar{N}_{ij} = \frac{N_i N_j}{N} - \text{теоретическая частота}.$
PRC1 , матрица условных P_{ij} и безусловных P_i процентных распределений, в качестве N_j используется суммарное количество признаков по классу	--	
PRC2 , матрица условных P_{ij} и безусловных P_i процентных распределений, в качестве N_j используется суммарное количество объектов обучающей выборки по классу	--	$P_{ij} = \frac{N_{ij}}{N_j}; P_i = \frac{N_i}{N}$
INF1 , частный критерий: количество знаний по А.Харкевичу, 1-й вариант расчета вероятностей: N_j - суммарное количество признаков по j -му классу. Вероятность того, что если у объекта j -го класса обнаружен признак, то это i -й признак		
INF2 , частный критерий: количество знаний по А.Харкевичу, 2-й вариант расчета вероятностей: N_j - суммарное количество объектов по j -му классу. Вероятность того, что если предъявлен объект j -го класса, то у него будет обнаружен i -й признак.		$I_{ij} = \Psi \times \log_2 \frac{P_{ij}}{P_i}$ $I_{ij} = \Psi \times \log_2 \frac{N_{ij}}{\bar{N}_{ij}} = \Psi \times \log_2 \frac{N_{ij} N}{N_i N_j}$
INF3 , частный критерий: Хи-квадрат: разности между фактическими и теоретически ожидаемыми абсолютными частотами	--	$I_{ij} = N_{ij} - \bar{N}_{ij} = N_{ij} - \frac{N_i N_j}{N}$
INF4 , частный критерий: ROI - Return On Investment, 1-й вариант расчета вероятностей: N_j - суммарное количество признаков по j -му классу		
INF5 , частный критерий: ROI - Return On Investment, 2-й вариант расчета вероятностей: N_j - суммарное количество объектов по j -му классу		$I_{ij} = \frac{P_{ij}}{P_i} - 1 = \frac{P_{ij} - P_i}{P_i}$ $I_{ij} = \frac{N_{ij}}{\bar{N}_{ij}} - 1 = \frac{N_{ij} N}{N_i N_j} - 1$
INF6 , частный критерий: разность условной и безусловной вероятностей, 1-й вариант расчета вероятностей: N_j - суммарное количество признаков по j -му классу		
INF7 , частный критерий: разность условной и безусловной вероятностей, 2-й вариант расчета вероятностей: N_j - суммарное количество объектов по j -му классу	$I_{ij} = P_{ij} - P_i$	$I_{ij} = \frac{N_{ij}}{N_j} - \frac{N_i}{N}$

Обозначения к таблице:

i – значение прошлого параметра;
 j - значение будущего параметра;
 N_{ij} – количество встреч j -го значения будущего параметра при i -м значении прошлого параметра;
 M – суммарное число значений всех прошлых параметров;
 W - суммарное число значений всех будущих параметров.
 N_i – количество встреч i -м значения прошлого параметра по всей выборке;
 N_j – количество встреч j -го значения будущего параметра по всей выборке;
 N – количество встреч j -го значения будущего параметра при i -м значении прошлого параметра по всей выборке.
 I_{ij} – частный критерий знаний: количество знаний в факте наблюдения i -го значения прошлого параметра о том, что объект перейдет в состояние, соответствующее j -му значению будущего параметра;
 ψ – нормировочный коэффициент (Е.В.Луценко, 2002), преобразующий количество информации в формуле А.Харкевича в биты и обеспечивающий для нее соблюдение принципа соответствия с формулой Р.Хартли;
 P_i – безусловная относительная частота встречи i -го значения прошлого параметра в обучающей выборке;
 P_{ij} – условная относительная частота встречи i -го значения прошлого параметра при j -м значении будущего параметра.

Таким образом, мы видим, что **все частные критерии знаний тесно взаимосвязаны друг с другом**. Особенno интересна связь знаменитого критерия хи-квадрат Пирсона с замечательной мерой количества информации А.Харкевича и с известным в экономике коэффициентом ROI.

Вероятность рассматривается как предел, к которому стремится относительная частота (отношение количества благоприятных исходов к числу испытаний) при **неограниченном** увеличении количества испытаний. Ясно, что вероятность – это математическая абстракция, которая никогда не встречается на практике (как и другие математические и физические абстракции, типа математической точки, материальной точки, бесконечно малой и т.п.). На практике встречается только относительная частота. Но она может быть весьма близкой к вероятности. Например, при 480 наблюдений различие между относительной частотой и вероятностью (погрешность) составляет около 5%, при 1250 наблюдениях – около 2.5%, при 10000 наблюдениях – 1%.

Таблица 10 – Матрица системно-когнитивной модели

		Классы					Значимость фактора
		1	...	j	...	W	
Значения факторов	1	I_{11}	I_{1j}		I_{1W}	$\sigma_{1\Sigma} = \sqrt{\frac{1}{W-1} \sum_{j=1}^W (I_{1j} - \bar{I}_1)^2}$	
	...						
	i	I_{i1}	I_{ij}		I_{iW}	$\sigma_{i\Sigma} = \sqrt{\frac{1}{W-1} \sum_{j=1}^W (I_{ij} - \bar{I}_i)^2}$	
	...						
Степень редукции класса	M	I_{M1}	I_{Mj}		I_{MW}	$\sigma_{M\Sigma} = \sqrt{\frac{1}{W-1} \sum_{j=1}^W (I_{Mj} - \bar{I}_M)^2}$	
	$\sigma_{\Sigma 1}$	$\sigma_{\Sigma j}$		$\sigma_{\Sigma W}$		$H = \sqrt{\frac{1}{(W \cdot M - 1)} \sum_{j=1}^W \sum_{i=1}^M (I_{ij} - \bar{I})^2}$	

Суть этих методов в том, что вычисляется количество информации в значении фактора о том, что объект моделирования перейдет под его действием в определенное состояние, соответствующее классу. Это позволяет сопоставимо и корректно обрабатывать разнородную информацию о наблюдениях объекта моделирования, представленную в различных типах измерительных шкал и различных единицах измерения [6].

На основе системно-когнитивных моделей, представленных в таблице 10 (отличаются частыми критериями, приведенными в таблице 9), решаются задачи идентификации (классификации, распознавания, диагностики, прогнозирования), поддержки принятия решений (обратная задача прогнозирования), а также задача исследования моделируемой предметной области путем исследования ее системно-когнитивной модели.

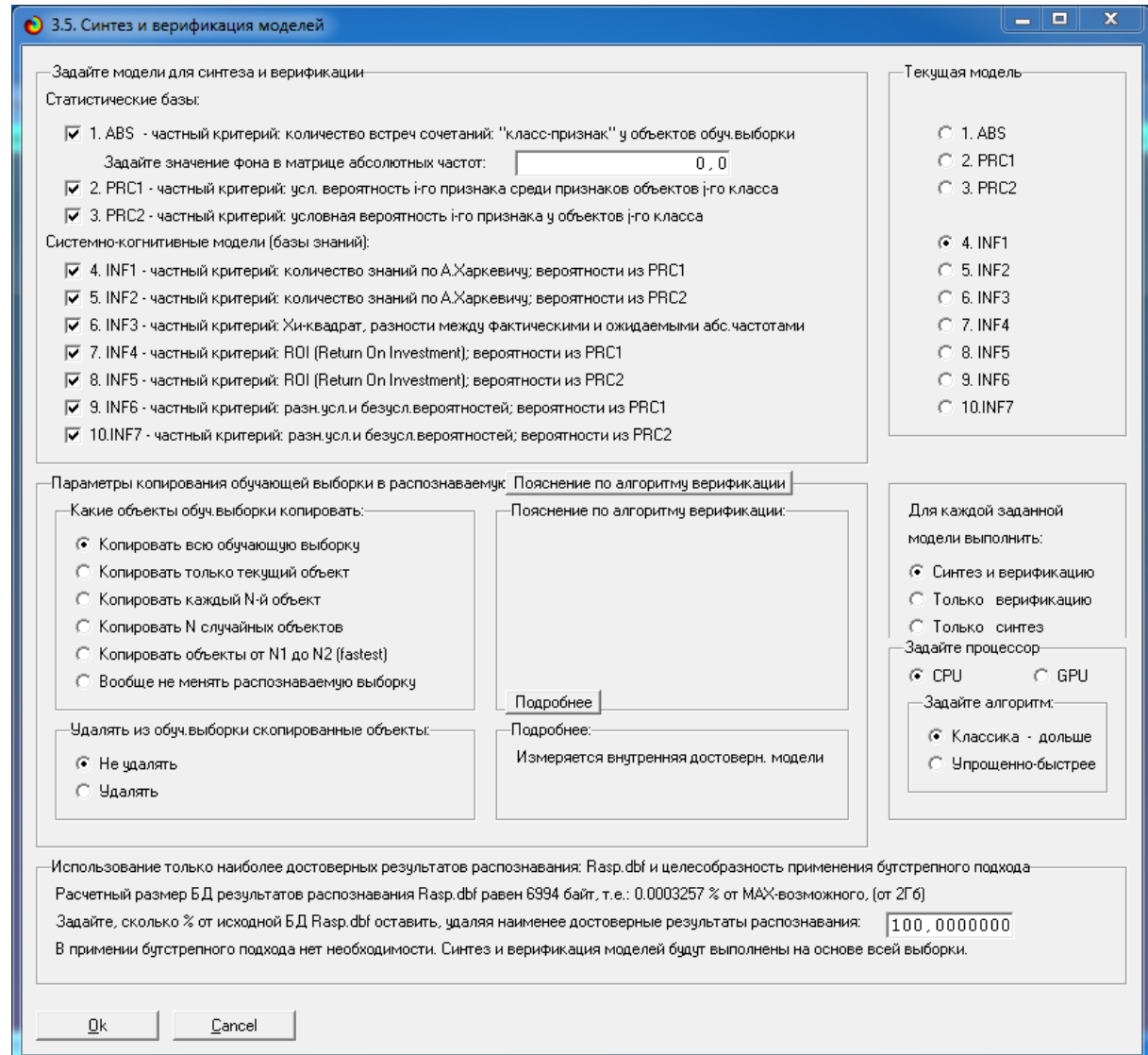
Отметим, что как значимость значения фактора, степень детерминированности класса и ценность или качество модели в АСК-анализе рассматривается вариабельность значений частных критерииев этого значения фактора, класса или модели в целом (таблица 10).

Численно эта вариабельность может измеряться разными способами. Например, средним отклонением модулей частных критерииев от среднего, дисперсией, среднеквадратичным отклонением или его квадратом. В системе «Эйдос» принят последний вариант, т.к. эта величина совпадает с **мощностью** сигнала, в частности мощностью информации, а в АСК-анализе все модели рассматриваются как источник информации об объекте моделирования. Поэтому есть все основания уточнить традиционную терминологию АСК-анализа (таблица 11):

Таблица 11 – Уточнение терминологии АСК-анализа

№	Традиционные термины (синонимы)	Новый термин	Формула
1	1. Значимость значения фактора (признака). 2. Дифференцирующая мощность значения фактора (признака). 3. Ценность значения фактора (признака) для решения задачи идентификации и других задач	Корень из информационной мощности значения фактора	$\sigma_{i\Sigma} = \sqrt{\frac{1}{W-1} \sum_{j=1}^W (I_{ij} - \bar{I}_i)^2}$
2	1. Степень детерминированности класса. 2. Степень обусловленности класса.	Корень из информационной мощности класса	$\sigma_{\Sigma j} = \sqrt{\frac{1}{M-1} \sum_{i=1}^M (I_{ij} - \bar{I}_j)^2}$
3	1. Качество модели. 2. Ценность модели. 3. Степень сформированности модели. 4. Количественная мера степени выраженности закономерностей в моделируемой предметной области	Корень из информационной мощности модели	$H = \sqrt{\frac{1}{(W \cdot M - 1)} \sum_{j=1}^W \sum_{i=1}^M (I_{ij} - \bar{I})^2}$

В системе «Эйдос» синтез моделей производится в режиме 3.5 (рисунок 7):



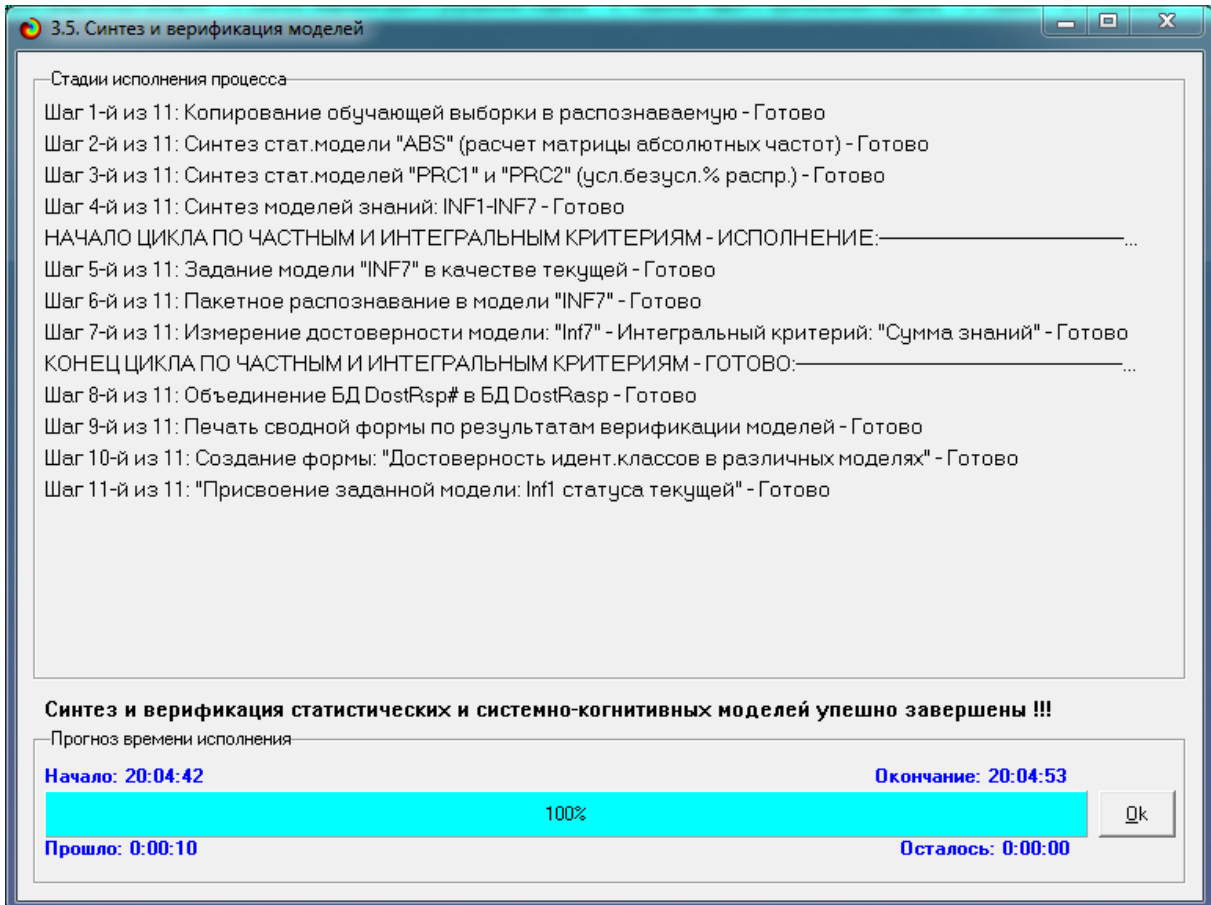


Рисунок 7. Экранные формы режима синтеза и верификации моделей

В результате работы режима 3.5 создано 3 статистических и 7 системно-когнитивных моделей, некоторые из которых приведены на рисунках 8-11:

5.5. Модель: "1. ABS - частный критерий: количество встреч сочтаний: "Класс-признак" у объектов обучавборки"								
Код признака	Наименование описательной шкалы и градации	1. CATEGORY 1/A HEAVY	2. CATEGORY 2/A PISTOL	3. CATEGORY 3/A RIFLE	4. CATEGORY 4/A SMG	Сумма	Среднее	Станд. откл.
1.0	COST (\$1/3/(200.000000, 1050.000000)	1.0	10.0		1.0	12.0	3.00	4.69
2.0	COST (\$1/2/(1050.000000, 1800.000000)	3.0		2.0	5.0	10.0	2.50	2.08
3.0	COST (\$1/3/(1800.000000, 5200.000000)	2.0		9.0	1.0	12.0	3.00	4.08
4.0	KILL_AWARD (\$1/3/(100.000000, 300.000000)	2.0	10.0	11.0	1.0	24.0	6.00	5.23
5.0	KILL_AWARD (\$1/2/(300.000000, 300.000000)							
6.0	KILL_AWARD (\$1/3/(300.000000, 90.000000)	4.0			6.0	10.0	2.50	3.00
7.0	MAX SPEED-1/3/(150.000000, 220.000000)	5.0	1.0	8.0	1.0	15.0	3.75	3.40
8.0	MAX SPEED-2/3/(220.000000, 230.000000)	1.0	1.0	3.0	2.0	7.0	1.75	0.96
9.0	MAX SPEED-3/3/(230.000000, 240.000000)				6.0	12.0	3.00	3.83
10.0	RATE OF FIRE-1/3/(41.000000, 352.000000)	4.0	4.0	4.0		12.0	3.00	2.00
11.0	RATE OF FIRE-2/3/(952.000000, 666.000000)			6.0	7.0	1.0	14.0	3.50
12.0	RATE OF FIRE-3/3/(666.000000, 857.000000)	2.0				6.0	8.0	2.00
13.0	DAMAGE-1/2/(26.000000, 30.000000)			1.0	4.0	6.0	11.0	2.75
14.0	DAMAGE-2/3/(30.000000, 36.000000)	2.0	5.0	3.0	1.0	11.0	2.75	1.71
15.0	DAMAGE-3/3/(36.000000, 256.000000)	4.0	4.0	4.0		12.0	3.00	2.00
16.0	DPS-1/3/(76.000000, 284.000000)	2.0	7.0	2.0		11.0	2.75	2.99
17.0	DPS-2/3/(284.000000, 333.000000)	1.0	3.0	7.0		11.0	2.75	3.10
18.0	DPS-3/3/(333.000000, 467.000000)	3.0		2.0	7.0	12.0	3.00	2.94
19.0	ARMOR PENETRATION (\$1/2/(47.000000, 64.000000)	1.0	5.0		5.0	11.0	2.75	2.63
20.0	ARMOR PENETRATION (\$1/2/(64.000000, 77.650000)	3.0	1.0	5.0	2.0	11.0	2.75	1.71
21.0	ARMOR PENETRATION (\$1/3/(77.650000, 100.000000)	2.0	4.0	6.0		12.0	3.00	2.58
22.0	PENETRATION-1/3/(0.000000, 1.000000)	4.0	8.0		7.0	19.0	4.75	3.59
23.0	PENETRATION-2/3/(1.000000, 2.000000)	2.0	2.0	7.0		11.0	2.75	2.99
24.0	PENETRATION-3/2/(2.000000, 2.500000)			4.0		4.0	1.00	2.00
25.0	CLIP SIZE-1/3/(5.000000, 13.000000)	4.0	6.0	2.0		12.0	3.00	2.58

Рисунок 8. Статистическая модель «ABS», матрица абсолютных частот

Код признака	Наименование описательной шкалы и градации	1. CATEGORY 1/4 HEAVY	2. CATEGORY 2/4 PISTOL	3. CATEGORY 3/4 RIFLE	4. CATEGORY 4/4 SMG	Безусл. вероятн	Среднее	Средн. квадр. откл.
1.0	COST (\$1/3/(200.000000, 1050.000000)	16.667	100.000		14.286	35.294	32.738	45.453
2.0	COST (\$1/2/3/(1050.000000, 1800.000000)	50.000		18.182	71.429	29.412	34.903	31.949
3.0	COST (\$1/3/(1800.000000, 5200.000000)	33.333		81.818	14.286	35.294	32.359	35.700
4.0	KILL AWARD (\$1/1/3/(100.000000, 300.000000)	33.333	100.000	100.000	14.286	70.588	61.905	44.683
5.0	KILL AWARD (\$1/2/3/(300.000000, 900.000000)	66.667			85.714	29.412	38.095	44.683
6.0	KILL AWARD (\$1/3/2/(300.000000, 900.000000)	66.667			85.714	23.529	29.762	40.488
7.0	MAX SPEED-1/3/(150.000000, 220.000000)	83.333	10.000	72.273	14.286	44.118	45.087	38.338
8.0	MAX SPEED-1/2/3/(220.000000, 230.000000)	16.667	10.000	27.273	28.571	20.588	20.628	8.879
9.0	MAX SPEED-1/3/(230.000000, 240.000000)			80.000		57.143	35.294	40.686
10.0	RATE OF FIRE-1/3/4/(100.000000, 352.000000)	66.667	40.000	36.364		35.294	35.758	27.412
11.0	RATE OF FIRE-2/3/2/(352.000000, 666.000000)		60.000	63.636	14.286	41.176	34.481	32.147
12.0	RATE OF FIRE-3/2/(352.000000, 857.000000)	33.333			85.714	23.529	29.762	40.488
13.0	DAMAGE-1/3/(26.000000, 30.000000)			10.000	36.364	85.714	32.353	33.019
14.0	DAMAGE-2/3/(30.000000, 36.000000)	33.333	50.000	27.273	14.286	32.353	31.223	14.839
15.0	DAMAGE-3/2/(36.000000, 256.000000)	66.667	40.000	36.364		35.294	35.758	27.412
16.0	DPS-1/3/(70.000000, 284.000000)	33.333	70.000	18.182		32.353	30.379	29.734
17.0	DPS-2/3/(284.000000, 333.000000)	16.667	30.000	63.636		32.353	27.576	27.004
18.0	DPS-3/2/(333.000000, 467.000000)	50.000		18.182	100.000	35.294	42.045	43.827
19.0	ARMOR PENETRATION-1/3/(47.000000, 64.000000)	16.667	50.000		71.429	32.353	34.524	32.221
20.0	ARMOR PENETRATION-1/2/3/(64.000000, 77.650000)	50.000	10.000	45.455	28.571	32.353	33.506	18.193
21.0	ARMOR PENETRATION-1/3/(77.650000, 100.000000)	33.333	40.000	54.545		35.294	31.970	23.092
22.0	PENETRATION-1/3/(10.000000, 1.000000)	66.667	80.000		100.000	55.882	61.667	43.345
23.0	PENETRATION-2/3/(1.000000, 2.000000)	33.333	20.000	63.636		32.353	29.242	26.722
24.0	PENETRATION-3/2/(2.000000, 2.500000)			36.364		11.765	9.091	18.194
25.0	CLIP SIZE-1/3/(5.000000, 13.000000)	66.667	60.000	18.182		35.294	36.212	32.311

Рисунок 9. Статистическая модель «PRC2», матрица условных и безусловных процентных распределений

Код признака	Наименование описательной шкалы и градации	1. CATEGORY 1/4 HEAVY	2. CATEGORY 2/4 PISTOL	3. CATEGORY 3/4 RIFLE	4. CATEGORY 4/4 SMG	Сейчас	Среднее	Средн. квадр. откл.
1.0	COST (\$1/1/3/(200.000000, 1050.000000)	-0.243	0.338		-0.293	-0.199	-0.050	0.288
2.0	COST (\$1/2/3/(1050.000000, 1800.000000)	0.172			-0.156	0.288	0.304	0.195
3.0	COST (\$1/3/(1800.000000, 5200.000000)	-0.019			0.273	-0.293	-0.039	-0.010
4.0	KILL AWARD (\$1/1/3/(100.000000, 300.000000)	-0.243	0.113		0.113	-0.518	-0.536	-0.134
5.0	KILL AWARD (\$1/2/3/(300.000000, 900.000000)	0.265				0.347	0.612	0.153
6.0	KILL AWARD (\$1/3/2/(300.000000, 900.000000)	0.206			-0.481	0.162	-0.366	-0.479
7.0	MAX SPEED-1/3/(150.000000, 220.000000)	0.206			-0.481	0.162	-0.366	-0.479
8.0	MAX SPEED-1/2/3/(220.000000, 230.000000)	-0.069			-0.234	0.091	0.106	-0.105
9.0	MAX SPEED-3/2/(30.000000, 240.000000)			0.265		0.156	0.422	0.105
10.0	RATE OF FIRE-1/3/4/(100.000000, 352.000000)	0.206		0.041	0.010		0.257	0.064
11.0	RATE OF FIRE-2/3/(352.000000, 666.000000)			0.122	0.141	-0.343	-0.080	-0.020
12.0	RATE OF FIRE-3/2/(352.000000, 857.000000)	0.113				0.419	0.532	0.133
13.0	DAMAGE-1/3/(28.000000, 30.000000)			-0.381	0.038	0.316	-0.027	-0.007
14.0	DAMAGE-2/3/(30.000000, 36.000000)	0.010	0.141		-0.055	-0.265	-0.170	-0.042
15.0	DAMAGE-3/2/(36.000000, 256.000000)	0.206		0.041	0.010		0.257	0.064
16.0	DPS-1/3/(70.000000, 284.000000)	0.010		0.250	-0.187		0.073	0.018
17.0	DPS-2/3/(284.000000, 333.000000)	-0.215	-0.024	0.219			-0.020	-0.005
18.0	DPS-3/2/(333.000000, 467.000000)	0.113			-0.215	0.338	0.236	0.230
19.0	ARMOR PENETRATION-1/3/(47.000000, 64.000000)	-0.215	0.141			0.257	0.183	0.046
20.0	ARMOR PENETRATION-1/2/3/(64.000000, 77.650000)	0.141		-0.381	0.110	-0.040	-0.170	-0.042
21.0	ARMOR PENETRATION-1/3/(77.650000, 100.000000)	-0.019	0.041	0.141		0.163	0.041	0.071
22.0	PENETRATION-1/3/(10.000000, 1.000000)	0.057	0.116			0.189	0.362	0.091
23.0	PENETRATION-2/3/(1.000000, 2.000000)	0.010	-0.156		0.219		0.073	0.018
24.0	PENETRATION-3/2/(2.000000, 2.500000)			0.366		0.366	0.092	0.183
25.0	CLIP SIZE-1/3/(5.000000, 13.000000)	0.206	0.172		-0.215	0.163	0.041	0.193

Рисунок 10. Системно-когнитивная модель «INF1», матрица информавностей (по А.Харкевичу)

Код признака	Наименование описательной шкалы и градации	1. CATEGORY 1/4 HEAVY	2. CATEGORY 2/4 PISTOL	3. CATEGORY 3/4 RIFLE	4. CATEGORY 4/4 SMG	Сейчас	Среднее	Средн. квадр. откл.
1.0	COST (\$1/1/3/(200.000000, 1050.000000)	-1.118	6.471		-3.882	-1.471		4.405
2.0	COST (\$1/2/3/(1050.000000, 1800.000000)	1.235	-2.941		-1.235	2.941		2.605
3.0	COST (\$1/3/(1800.000000, 5200.000000)	-0.118	-3.529	5.118		-1.471		3.689
4.0	KILL AWARD (\$1/1/3/(100.000000, 300.000000)	-2.235	2.941	3.235		-3.941		3.635
5.0	KILL AWARD (\$1/2/3/(300.000000, 900.000000)	2.235	-2.941	-3.235	3.341			3.635
6.0	KILL AWARD (\$1/3/2/(300.000000, 900.000000)	2.353	-3.412	3.147	-2.089			3.237
7.0	MAX SPEED-1/2/3/(150.000000, 220.000000)	2.353	-1.059	0.735	0.559			0.822
8.0	MAX SPEED-2/3/(220.000000, 230.000000)	-0.235		-1.059	0.735	0.559		3.736
9.0	MAX SPEED-3/2/(230.000000, 240.000000)	-2.118	4.471	-3.882	1.529			1.295
10.0	RATE OF FIRE-1/3/4/(100.000000, 352.000000)	1.882	0.471	0.118	-2.471	-1.471		1.815
11.0	RATE OF FIRE-2/3/(352.000000, 666.000000)	-2.471	1.882	2.471	-1.882			2.536
12.0	RATE OF FIRE-3/2/(352.000000, 857.000000)	0.588	-2.353	-2.588	4.353			3.242
13.0	DAMAGE-1/2/3/(28.000000, 30.000000)	-1.941	-2.235	0.441	3.735			2.764
14.0	DAMAGE-2/3/(30.000000, 36.000000)	0.059	1.765	-0.559	-1.265			1.295
15.0	DAMAGE-3/2/(36.000000, 256.000000)	1.882	0.471	0.118	-2.471			1.815
16.0	DPS-1/3/(70.000000, 284.000000)	0.059	3.765	-1.559	-2.265			2.692
17.0	DPS-2/3/(284.000000, 333.000000)	-0.941	-0.235	3.441	-2.265			2.443
18.0	DPS-3/2/(333.000000, 467.000000)	0.882	-3.529	-1.882	4.529			3.526
19.0	ARMOR PENETRATION-1/3/(47.000000, 64.000000)	-0.941	1.765	-3.559	2.735			2.837
20.0	ARMOR PENETRATION-1/2/3/(64.000000, 77.650000)	1.059	-2.235	1.441	-0.265			1.660
21.0	ARMOR PENETRATION-1/3/(77.650000, 100.000000)	-0.118	0.471	2.118	-2.471			1.899
22.0	PENETRATION-1/3/(10.000000, 2.000000)	0.647	2.412	-6.147	3.088			4.225
23.0	PENETRATION-2/3/(1.000000, 2.000000)	0.059	-1.235	3.441	-2.265			2.483
24.0	PENETRATION-3/2/(2.000000, 2.500000)	-0.706	-1.176	2.706	-0.924			1.815
25.0	CLIP SIZE-1/3/(5.000000, 13.000000)	1.882	2.471	-1.882	-2.471			2.536

Рисунок 11. Системно-когнитивная модель «INF3», матрица Хи-квадрат (по К.Пирсону)

Полученные модели корректно использовать для решения задач только в том случае, если они достаточно достоверны (адекватны), т.е. верно отражают моделируемую предметную область. Поэтому в следующем разделе оценим достоверность созданных статистических и системно-когнитивных моделей.

3.4. Задача-4. Верификация моделей

Оценка достоверности моделей в системе «Эйдос» осуществляется путем решения задачи классификации объектов обучающей выборки по обобщенным образам классов и подсчета количества истинных и ложных положительных и отрицательных решений по F-мере Ван Ризбергена, а также по критериям L1- L2-мерам проф. Е.В.Луценко, которые предложены для того, чтобы смягчить или полностью преодолеть некоторые недостатки F-меры [12].

Достоверность моделей можно оценивать и путем решения других задач. Например, задач прогнозирования, выработки управляющих решений, исследования объекта моделирования путем исследования его модели. Но это более трудоемко и даже всегда возможно, особенно на экономических и политических моделях.

В режиме 3.4 системы «Эйдос» и ряде других изучается достоверность каждой частной модели в соответствии с этими мерами достоверности.

В соответствии с критерием достоверности F-мерой Ван Ризбергена наиболее достоверной является СК-модель INF4 и INF5 с интегральным критерием: «семантический резонанс знаний»: F=0.815 (1-й рисунок 12). В соответствии с критерием достоверности L1-мерой проф. Е.В.Луценко наиболее достоверной является СК-модель INF3 (хи-квадрат К.Пирсона) с интегральным критерием: «Сумма знаний»: L1=0.961 (2-й рисунок 12). **Для решения поставленных в работе задач будем использовать модель INF3.**

3.4. Обобщ форма по достоверности при разнокрит. Текущая модель: "INF1"												
Найменование модели и частного критерия	Интегральный критерий	Всего логических объектов выборки	Число истинно-положительных решений (TP)	Число истинно-отрицательных решений (TN)	Число ложно-положительных решений (FP)	Число ложно-отрицательных решений (FN)	Точность модели	Полнота модели	Форма Ван Ризбергена	Сумма модул. уровней сход. истинно-пол. решений (STP)	Сумма модул. уровней сход. истинно-отриц. ложн. решений (STN)	Сумма кол. зврений и
1. ABS - частный критерий: количество встреч сочетаний: "класс... класс..."	Корреляция abs. частот с общ. ...	34	34	79	23	0.596	1.000	0.747	24.642	16.585	4	
1.ABS - частный критерий: количество встреч сочетаний: "класс... класс..."	Сумма abs. частот по признакам...	34	34		102	0.250	1.000	0.400	24.610		32	
2. PRCI - частный критерий: усл. вероятность I-го признака с общ...	Корреляция усл.отн.частот с общ...	34	34	79	23	0.596	1.000	0.747	24.642	16.585	4	
2. PRCI - частный критерий: усл. вероятность I-го признака с общ...	Сумма усл.отн.частот по приз...	34	34		102	0.250	1.000	0.400	27.159		38	
3. PRCC - частный критерий: условная вероятность I-го признака...	Корреляция усл.отн.частот с о...	34	34	79	23	0.596	1.000	0.747	24.642	16.584	4	
3. PRCC - частный критерий: условная вероятность I-го признака...	Сумма усл.отн.частот по приз...	34	34		102	0.250	1.000	0.400	27.159		38	
4. INF1 - частный критерий: количество знаний по А.Харкевичу, в...	Семантический резонанс зна...	34	33	82	20	1	0.623	0.971	0.759	21.123	28.478	2
4. INF1 - частный критерий: количество знаний по А.Харкевичу, в...	Сумма знаний	34	34	72	30	0.531	1.000	0.694	18.413	17.167	3	
5. INF2 - частный критерий: количество знаний по А.Харкевичу, в...	Семантический резонанс зна...	34	33	82	20	1	0.623	0.971	0.759	21.123	28.478	2
5. INF2 - частный критерий: количество знаний по А.Харкевичу, в...	Сумма знаний	34	34	72	30	0.531	1.000	0.694	18.413	17.167	3	
6. INF3 - частный критерий: хи-квадрат, разности между фактами...	Семантический резонанс зна...	34	34	84	18	0.654	1.000	0.791	24.012	27.430	2	
6. INF3 - частный критерий: хи-квадрат, разности между фактами...	Сумма знаний	34	34	84	18	0.654	1.000	0.791	22.163	23.969	4	
7. INF4 - частный критерий: ROI (Return On Investment), вероятно...	Семантический резонанс зна...	34	33	88	14	1	0.702	0.971	0.815	21.362	26.362	1
7. INF4 - частный критерий: ROI (Return On Investment), вероятно...	Сумма знаний	34	34	40	62	0.354	1.000	0.523	18.883	3.422	8	
8. INF5 - частный критерий: ROI (Return On Investment), вероятно...	Семантический резонанс зна...	34	33	88	14	1	0.702	0.971	0.815	21.362	26.362	1
8. INF5 - частный критерий: ROI (Return On Investment), вероятно...	Сумма знаний	34	34	40	62	0.354	1.000	0.523	18.883	3.422	8	
9. INF6 - частный критерий: разн. усл. и безузл.вероятностей; вер...	Семантический резонанс зна...	34	33	85	17	1	0.660	0.971	0.786	22.726	24.767	2
9. INF6 - частный критерий: разн. усл. и безузл.вероятностей; вер...	Сумма знаний	34	34	42	60	0.362	1.000	0.531	19.838	4.067	8	
10.INF7 - частный критерий: разн. усл. и безузл.вероятностей; вер...	Семантический резонанс зна...	34	33	85	17	1	0.660	0.971	0.786	22.726	24.767	2
10.INF7 - частный критерий: разн. усл. и безузл.вероятностей; вер...	Сумма знаний	34	34	42	60	0.362	1.000	0.531	19.838	4.067	8	

Помощь по мерам достоверности | Помощь по частным распределениям | TPR(TN)/FP(FN) | (TP+FP)/(TN+FN) | (T-F)/(T+F)*100 | Задать интересвал склонивания |

Наименование модели и частного критерия	Интегральный критерий	Полнота оценки	L1-критерий проф. Е.В. Луценко	Средний модуль уровней сходства истиности положительных решений	Средний модуль уровней сходства истиности отрицательных решений	Средний модуль уровней сходства истиности положительных решений	А-точность модели	A-Полнота модели	L2-критерий проф. Е.В. Луценко	Процент правильной идентификации	Процент правильной идентификации не иден.	
1. ABS - частный критерий: количество встреч соединений "класс... 1. ABS - частный критерий: количество встреч соединений "класс... 2. PRC1 - частный критерий: усл. вероятность iго признака сред... 2. PRC1 - частный критерий: усл. вероятность iго признака сред... 3. PRC2 - частный критерий: условная вероятность iго признака... 3. PRC2 - частный критерий: условная вероятность iго признака... 4. INF1 - частный критерий: количество знаний по А.Харкевичи... 4. INF1 - частный критерий: количество знаний по А.Харкевичи... 5. INF2 - частный критерий: количество знаний по А.Харкевичи... 5. INF2 - частный критерий: количество знаний по А.Харкевичи... 6. INF3 - частный критерий: Хи-квадрат: разности между фактическими и ожидаемыми значениями	Корреляция abs: частот с обр... Сумма abs: частот по признакам... Корреляция усл. частот с о... Корреляция усл. частот с о... Корреляция усл. частот по при... Сумма усл. частот по признак... Сумма усл. частот по признак... Семантический резонанс зна... Семантический резонанс зна... Семантический резонанс зна... Семантический резонанс зна... Семантический резонанс зна... Семантический резонанс зна... Сумма знаний	1.000 1.000 1.000 1.000 1.000 1.000 1.000 0.996 0.996 0.996 0.996 0.996 0.996 1.000	0.925 0.603 0.925 0.925 0.584 0.584 0.584 0.943 0.943 0.943 0.943 0.943 0.943 0.955	0.725 0.724 0.725 0.725 0.799 0.799 0.799 0.640 0.640 0.640 0.640 0.640 0.640 0.706	0.210 0.317 0.210 0.175 0.380 0.175 0.380 0.347 0.123 0.347 0.123 0.123 0.123 0.327	0.175 0.317 0.175 0.175 0.380 0.175 0.380 0.123 0.088 0.347 0.123 0.123 0.123 0.126	0.806 0.695 0.806 0.806 0.678 0.806 0.678 0.839 0.839 0.839 0.839 0.839 0.839 0.849	1.000 1.000 1.000 1.000 1.000 1.000 1.000 0.879 0.879 0.879 0.879 0.879 0.879 1.000	0.892 0.820 0.892 0.892 0.808 0.892 0.808 0.859 0.859 0.859 0.859 0.859 0.859 0.918	100.000 100.000 100.000 100.000 100.000 100.000 100.000 97.059 97.059 97.059 97.059 97.059 97.059 84	79	
5. INF3 - частный критерий: Хи-квадрат: разности между фактическими и ожидаемыми значениями	Сумма знаний	1.000	0.961	0.652	0.285	0.100	0.866	1.000	0.928	100.000	84	
7. INF4 - частный критерий ROI (Return On Investment): вероятно...	Семантический резонанс зна...	0.994	0.954	0.647	0.300	0.139	0.824	0.841	0.832	97.059	88	
7. INF4 - частный критерий ROI (Return On Investment): вероятно...	Сумма знаний	1.000	0.818	0.555	0.086	0.135	0.804	1.000	0.891	100.000	41	
8. INF5 - частный критерий ROI (Return On Investment): вероятно...	Семантический резонанс зна...	0.994	0.954	0.647	0.300	0.139	0.824	0.841	0.832	97.059	88	
8. INF5 - частный критерий ROI (Return On Investment): вероятно...	Сумма знаний	1.000	0.818	0.555	0.086	0.135	0.804	1.000	0.891	100.000	41	
9. INF6 - частный критерий: разн. усл. безузл. вероятностей/вер...	Семантический резонанс зна...	0.993	0.951	0.689	0.291	0.128	0.169	0.844	0.802	0.823	97.059	84
9. INF6 - частный критерий: разн. усл. безузл. вероятностей/вер...	Сумма знаний	1.000	0.829	0.583	0.097	0.136	0.911	1.000	0.895	100.000	41	
10. INF7 - частный критерий: разн. усл. безузл. вероятностей/вер...	Семантический резонанс зна...	0.993	0.951	0.689	0.291	0.128	0.169	0.844	0.802	0.823	97.059	84
10. INF7 - частный критерий: разн. усл. безузл. вероятностей/вер...	Сумма знаний	1.000	0.829	0.583	0.097	0.136	0.811	1.000	0.895	100.000	41	

Рисунок 12. Экранная форма режима измерения достоверности моделей 3.4

На рисунках 13 приведены частотные распределения количества истинных и ложных, положительных и отрицательных решений в наиболее достоверной по L1-мере проф. Е.В.Луценко СК-модели INF3.

Из этих частотных распределений видно, что в наиболее достоверной по критерию достоверности L1-мерой проф. Е.В.Луценко СК-модели INF3:

- отрицательные ложные решения вообще не встречаются;
 - при уровнях сходства меньше 32% преобладают ложные положительные решения, а при более высоких уровнях сходства – только истинные положительные решения.
 - чем выше уровень сходства, тем большее доля истинных решений. Поэтому уровень сходства является адекватной внутренней мерой системы «Эйдос», так сказать адекватной мерой самооценки или аудита степени достоверности решений и уровня риска ошибочного решения.*

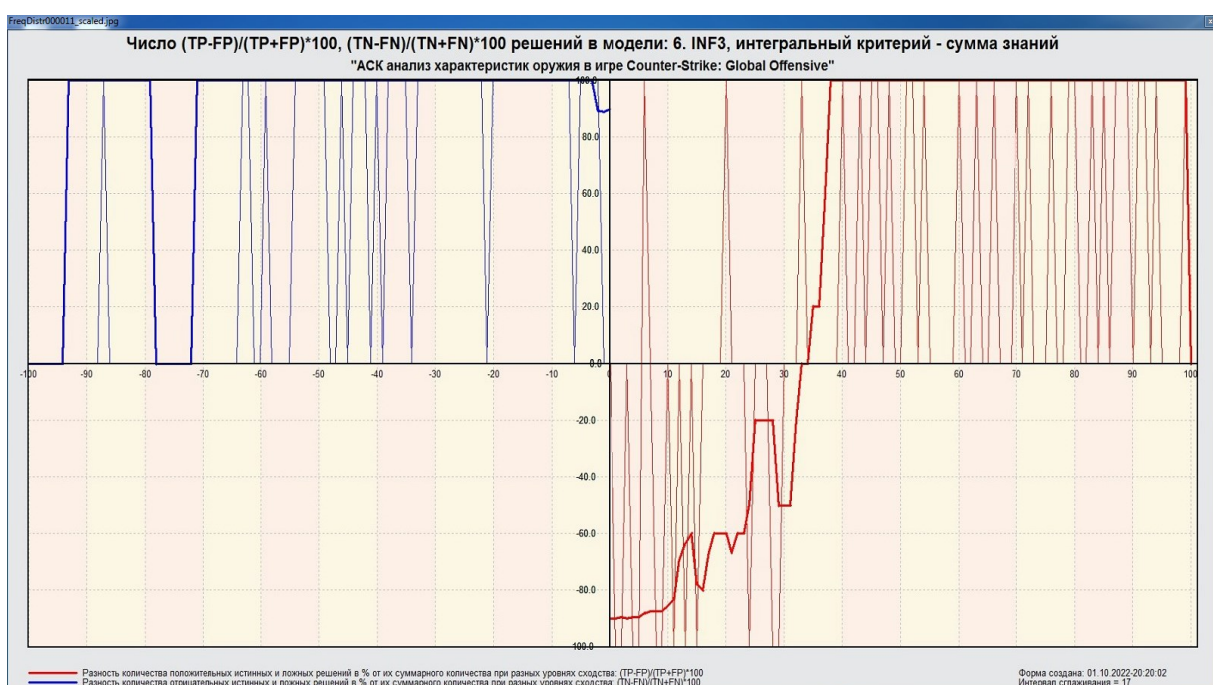
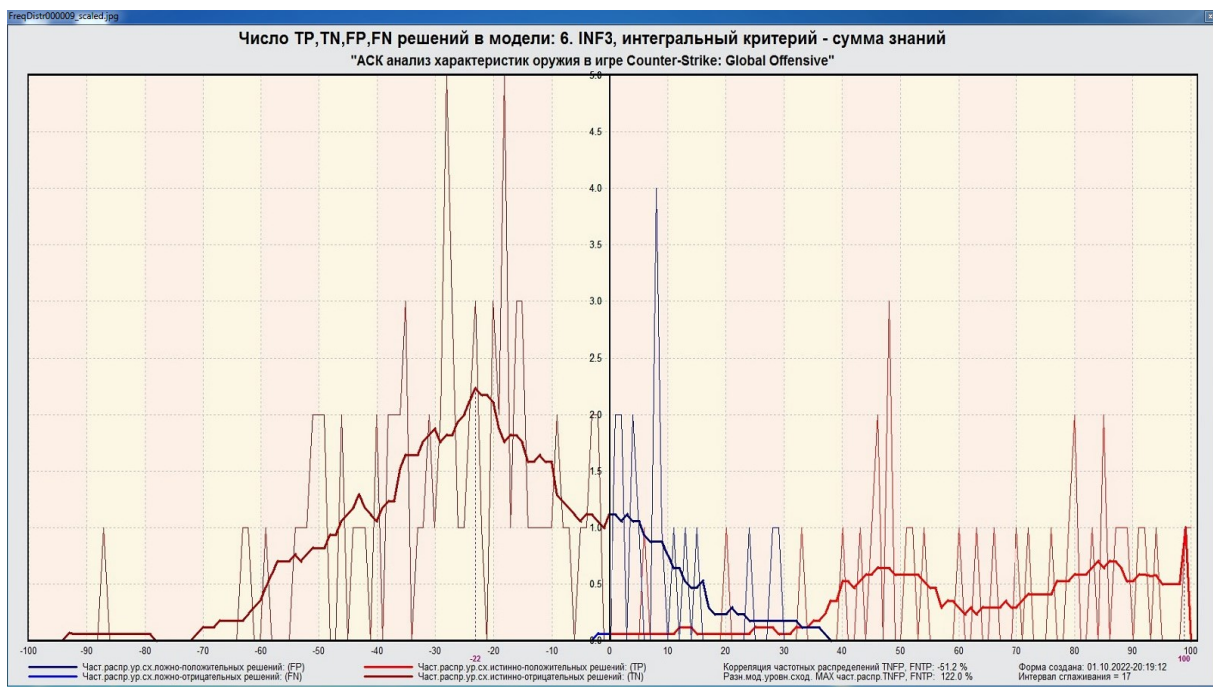


Рисунок 13. Частотные распределения количества истинных и ложных, положительных и отрицательных решений в наиболее достоверной по L1-мере проф. Е.В.Луценко СК-модели INF3

На рисунках 14 приведены экранные формы хелпов режима 3.4, в которых подробно объясняется смысл этого режима. Эти формы приводятся в работе вместо более детального описания данного режима.

Помощь по режимам: 3.4, 4.1.3.#: Виды прогнозов и меры достоверности моделей в системе "Эйдос-Х++"

Помощь по режимам: 3.4, 4.1.3.6, 4.1.3.7, 4.1.3.8, 4.1.3.10: Виды прогнозов и меры достоверности моделей в системе "Эйдос-Х++".
ПОЛОЖИТЕЛЬНЫЙ ПСЕВДОПРОГНОЗ.

Предположим, модель дает такой прогноз, что выпадет все: и 1, и 2, и 3, и 4, и 5, и 6. Понятно, что из всего этого выпадет лишь что-то одно. В этом случае модель не предскажет, что не выпадет, но зато она обязательно предскажет, что выпадет. Однако при этом очень много объектов будет отнесено к классам, к которым они не относятся. Тогда вероятность истинно-положительных решений у модели будет 1/6, а вероятность ложно-положительных решений - 5/6. Ясно, что такой прогноз бесполезен, поэтому он и назван мной псевдопрогнозом.
ОТРИЦАТЕЛЬНЫЙ ПСЕВДОПРОГНОЗ.

Представим себе, что мы выбрасываем кубик с 6 гранями, и модель предсказывает, что ничего не выпадет, т.е. не выпадет ни 1, ни 2, ни 3, ни 4, ни 5, ни 6, но что-то из этого, естественно, обязательно выпадет. Конечно, модель не предсказала, что выпадет, зато она очень хорошо предсказала, что не выпадет. Вероятность истинно-отрицательных решений у модели будет 5/6, а вероятность ложно-отрицательных решений - 1/6. Такой прогноз гораздо достовернее, чем положительный псевдопрогноз, но тоже бесполезен. ИДЕАЛЬНЫЙ ПРОГНОЗ.

Если в случае с кубиком мы прогнозируем, что выпадет, например 1, и соответственно прогнозируем, что не выпадет 2, 3, 4, 5, и 6, то это идеальный прогноз, иначе, если он осуществляется, 100% достоверность идентификации и не идентификации. Идеальный прогноз, который полностью снимает неопределенность о будущем состоянии объекта прогнозирования, на практике удается получить крайне редко и обычно мы имеем дело с реальным прогнозом.

На практике мы чаще всего сталкиваемся именно с этим видом прогноза. Реальный прогноз уменьшает неопределенность о будущем состоянии объекта прогнозирования, но не полностью, как идеальный прогноз, а оставляет некоторую неопределенность не снятой. Например, для игрального кубика делается такой прогноз: выпадет 1 или 2, и, соответственно, не выпадет 3, 4, 5 или 6. Понятно, что полностью на практике такой прогноз не может осуществляться, т.к. варианты выпадения кубика альтернативны, т.е. не может выпасть одновременно и 1, и 2. Поэтому у реального прогноза всегда будет определенная ошибка идентификации. Соответственно, если не осуществляется один или несколько из прогнозируемых вариантов, то возникнет и ошибка не идентификации, т.к. это не прогнозировалось моделью. Теперь представьте себе, что у Вас не 1 кубик и прогноз его поведения, а тысячи. Тогда можно посчитать средневзвешенные характеристики всех этих видов прогнозов.

Таким образом, если просуммировать число верно идентифицированных и не идентифицированных объектов и вычесть число ошибочно идентифицированных и не идентифицированных объектов, а затем разделить на число всех объектов то это и будет критерий качества модели (классификатора), учитывающий как ее способность верно относить объекты к классам, которым они относятся, так и ее способность верно не относить объекты к тем классам, к которым они не относятся. Этот критерий предложен и реализован в системе "Эйдос" проф. Е.В.Луценко в 1994 году. Эта мера достоверности модели предполагает два варианта нормировки: {-1, +1} и {0, 1}:

$$L_a = \frac{(TP + TN - FP - FN)}{(TP + TN + FP + FN)} \quad (\text{нормировка: } \{-1, +1\})$$

$$L_b = \frac{(1 + (TP + TN - FP - FN)) / 2}{(TP + TN + FP + FN) / 2} \quad (\text{нормировка: } \{0, 1\})$$

где количество: TP - истинно-положительных решений; TN - истинно-отрицательных решений; FP - ложно-положительных решений; FN - ложно-отрицательных решений;

Классическая F-мера достоверности моделей Ван Ризбергена (колонка выделена ярко-голубым фоном):

$$F_{\text{мера}} = \frac{2(\text{Precision} \cdot \text{Recall})}{(\text{Precision} + \text{Recall})}$$

Precision = $\frac{TP}{TP+FP}$ - точность модели;
 Recall = $\frac{TP}{TP+FN}$ - полнота модели;

L1-мера проф. Е.В.Луценко - нечеткое мультиклассовое обобщение классической F-меры с учетом СУММ уровней сходства (колонка выделена ярко-зеленым фоном):

$$L1_{\text{мера}} = \frac{2(S\text{Precision} \cdot S\text{Recall})}{(S\text{Precision} + S\text{Recall})}$$

SPrecision = $\frac{STP}{STP+SFP}$ - точность с учетом сумм уровней сходства;
 SRecall = $\frac{STP}{STP+SFN}$ - полнота с учетом сумм уровней сходства;
 STP - Сумма модулей сходства истинно-положительных решений; STN - Сумма модулей сходства истинно-отрицательных решений;
 SFP - Сумма модулей сходства ложно-положительных решений; SFN - Сумма модулей сходства ложно-отрицательных решений.

L2-мера проф. Е.В.Луценко - нечеткое мультиклассовое обобщение классической F-меры с учетом СРЕДНИХ уровней сходства (колонка выделена желтым фоном):

$$L2_{\text{мера}} = \frac{2(A\text{Precision} \cdot A\text{Recall})}{(A\text{Precision} + A\text{Recall})}$$

APrecision = $\frac{ATP}{ATP+A\bar{FP}}$ - точность с учетом средних уровней сходства;
 ARecall = $\frac{ATP}{ATP+A\bar{FN}}$ - полнота с учетом средних уровней сходства;
 ATP=STP/TP - Среднее модулей сходства истинно-положительных решений; AFN=SFN/FN - Среднее модулей сходства истинно-отрицательных решений;
 A\bar{FP}=SFP/FP - Среднее модулей сходства ложно-положительных решений; A\bar{FN}=SFN/FN - Среднее модулей сходства ложно-отрицательных решений.

Строки с максимальными значениями F-меры, L1-меры и L2-меры выделены фоном цвета, соответствующего колонке.

Из графиков частотных распределений истинно-положительных, истинно-отрицательных, ложно-положительных и ложно-отрицательных решений видно, что чем выше модуль уровня сходства, тем больше доли истинных решений. Это значит, что модуль уровня сходства является адекватной мерой степени истинности решения и степени уверенности системы в этом решении. Поэтому система "Эйдос" имеет адекватный критерий достоверности собственных решений, с помощью которого она может отфильтровывать заведомо ложные решения.

Луценко Е.В. Инвариантное относительно объемов данных нечеткое мультиклассовое обобщение F-меры достоверности моделей Ван Ризбергена в АСК-анализе и системе "Эйдос" // Е.В. Луценко // Политехнический сетевой электронный научный журнал Кубанского государственного аграрного университета [Научный журнал КубГАУ] [Электронный ресурс]. - Краснодар: КубГАУ, 2017. - №02(126). С. 1 - 32. - IDA [article ID]: 1261702001. - Режим доступа: <http://ej.kubagro.ru/2017/02/pdf/01.pdf>, 2 у.п.l.

Помощь по режиму 3.4. (C) Система "ЭЙДОС-Х++"

Режим: 4.1.3.11. РАСЧЕТ И ГРАФИЧЕСКАЯ ВИЗУАЛИЗАЦИЯ ЧАСТОТНЫХ РАСПРЕДЕЛЕНИЙ УРОВНЕЙ СХОДСТВА:

По нажатию кнопок: [TP,TN,FP,FN], [(TP-FP)/(TN-FN)], [(T-F)/(T+F)]*100 отображаются графики частотных распределений для модели и интегрального критерия той строки, на которой в экранной форме 3.4 стоит курсор. По клику на кнопке: [(T-F)/(T+F)]*100 выводятся графики частотных распределений: [(TP-FP)/(TP+FP)]*100 и [(TN-FN)/(TN+FN)]*100, где:
 TP-True-Positive; TN-True-Negative; FP-False Positive; FN-False-Negative, количество истинных и ложных положительных и отрицательных решений.

Луценко Е.В. Инвариантное относительно объемов данных нечеткое мультиклассовое обобщение F-меры достоверности моделей Ван Ризбергена в АСК-анализе и системе "Эйдос" // Е.В. Луценко // Политехнический сетевой электронный научный журнал Кубанского государственного аграрного университета [Научный журнал КубГАУ] [Электронный ресурс]. - Краснодар: КубГАУ, 2017. - №02(126). С. 1 - 32. - IDA [article ID]: 1261702001. - Режим доступа: <http://ej.kubagro.ru/2017/02/pdf/01.pdf>, 2 у.п.l.

Примерные графики TP,TN,FP,FN, а также F-меры и критерии L1, L2 при увеличении объема выборки:

Рисунок 14. Экранные формы хелпов режима измерения достоверности моделей

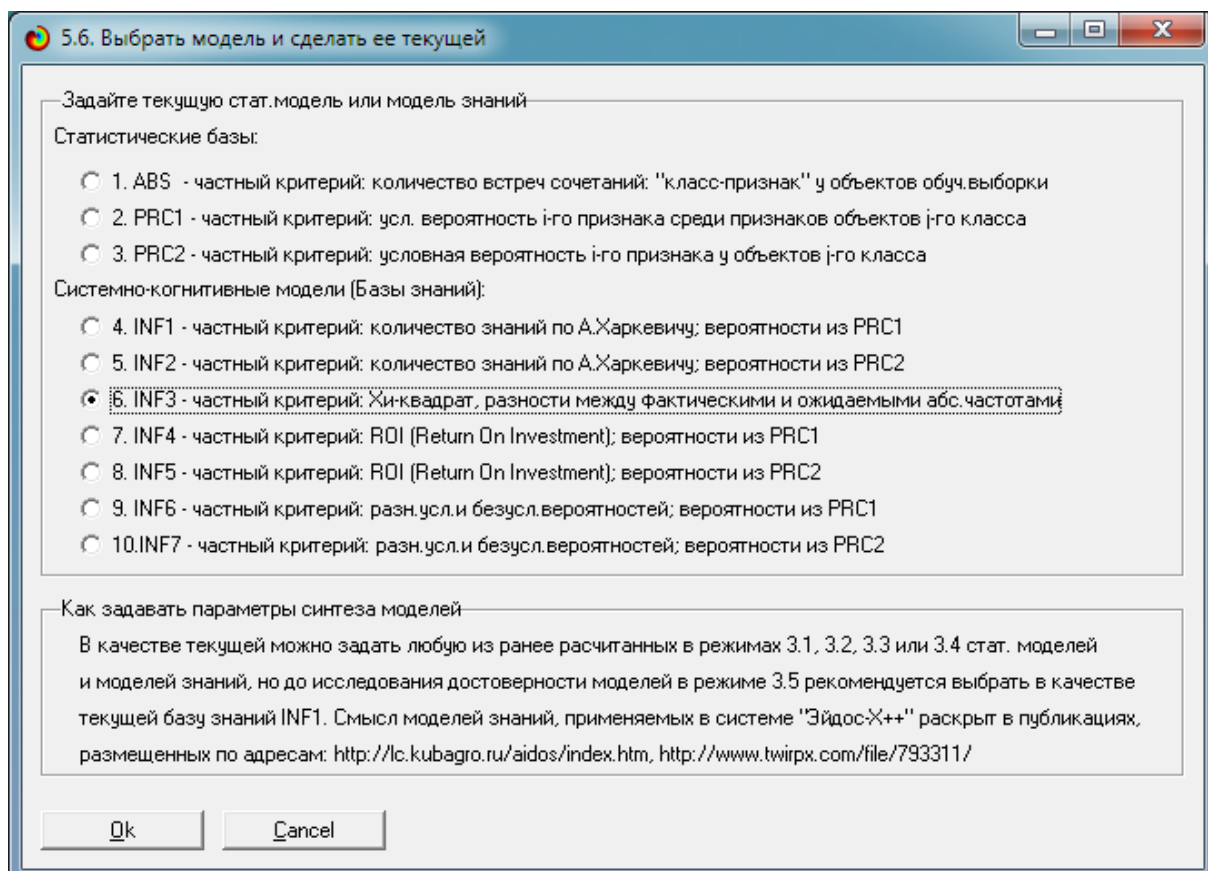
3.5. Задача-5. Выбор наиболее достоверной модели

Все последующие задачи решаются в наиболее достоверной модели.

Причины этого просты. Если модель достоверна, то:

- идентификация объекта с классом достоверна, т.е. модель относит объекты к классам, к которым они действительно принадлежат;
- прогнозирование достоверно, т.е. действительно наступают те события, которые прогнозируются;
- принятие решений адекватно (достоверно), т.е. после реализации принятых управляющих решений объект управления действительно переходит в целевые будущие состояния;
- исследование достоверно, т.е. полученные в результате исследования модели объекта моделирования выводы могут быть с полным основанием отнесены к объекту моделирования.

Технически сам выбор наиболее достоверной модели и задание ее текущей осуществляется в режиме 5.6 системы «Эйдос» и проходит быстро (рисунки 15). Это необходимо делать лишь для решения задачи идентификации и прогнозирования (в режиме 4.1.2), которая требует и потребляет наибольшие вычислительные ресурсы и поэтому решается только для модели, заданной в качестве текущей. Все остальные расчеты проводятся в системе «Эйдос» сразу во всех моделях.



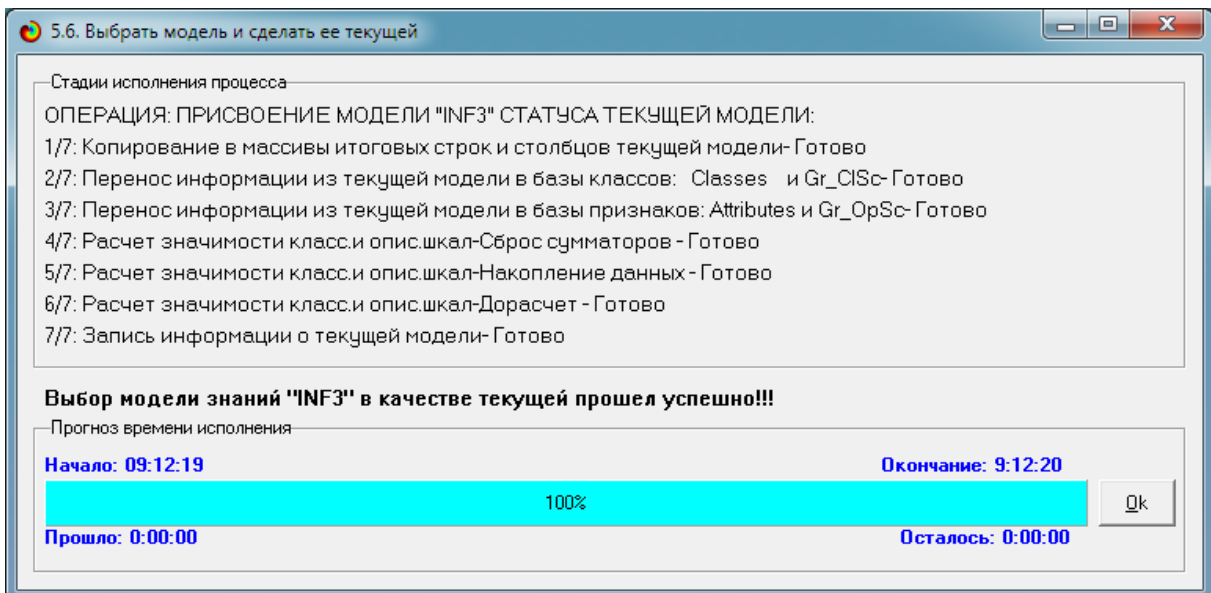


Рисунок 15. Задание СК-модели INF3 в качестве текущей

3.6. Задача-6. Системная идентификация и прогнозирование

При решении задачи идентификации каждый объект распознаваемой выборки сравнивается по всем своим признакам с каждым из обобщенных образов классов. Смысл решения задачи идентификации заключается в том, что при определении принадлежности конкретного объекта к обобщенному образу классу об этом конкретном объекте *по аналогии становится известно все, что известно об объектах этого класса, по крайней мере, самое существенное о них, т.е. чем они отличаются от объектов других классов.*

Задачи идентификации и прогнозирования взаимосвязаны и мало чем отличаются друг от друга. Главное различие между ними в том, что при идентификации значения свойств и принадлежность объекта к классу относятся к одному моменту времени, а при прогнозировании значения факторов относятся к прошлому, а переход объекта под действием этих факторов в состояние, соответствующее классу относится к будущему (рисунок 3).

Задача решается в модели, заданной в качестве текущей, т.к. является весьма трудоемкой в вычислительном отношении. Правда с разработкой и реализацией в системе «Эйдос» высокоеффективных алгоритмов распознавания и использованием графического процессора (GPU) для расчетов эта проблема практически снялась.

Сравнение осуществляется путем применения *неметрических интегральных критериев*, которых в настоящее время в системе «Эйдос» используется два. Эти интегральные критерии интересны тем, что

корректны⁹ в неортонормированных пространствах, которые всегда и встречаются на практике, и являются фильтрами подавления шума.

3.6.1. Интегральный критерий «Сумма знаний»

Интегральный критерий «Сумма знаний» представляет собой суммарное количество знаний, содержащееся в системе факторов различной природы, характеризующих сам объект управления, управляющие факторы и окружающую среду, о переходе объекта в будущие целевые или нежелательные состояния.

Интегральный критерий представляет собой аддитивную функцию от частных критериев знаний, представленных в help режима 5.5:

$$I_j = (\vec{I}_{ij}, \vec{L}_i).$$

В выражении круглыми скобками обозначено скалярное произведение. В координатной форме это выражение имеет вид:

$$I_j = \sum_{i=1}^M I_{ij} L_i,$$

где: M – количество градаций описательных шкал (признаков);

$\vec{I}_{ij} = \{I_{ij}\}$ – вектор состояния j -го класса;

$\vec{L}_i = \{L_i\}$ – вектор состояния распознаваемого объекта, включающий все виды факторов, характеризующих сам объект, управляющие воздействия и окружающую среду (массив-локатор), т.е.:

$$\vec{L}_i = \begin{cases} 1, & \text{если } i-\text{й фактор действует;} \\ n, & \text{где: } n > 0, \text{ если } i-\text{й фактор действует с истинностью } n; \\ 0, & \text{если } i-\text{й фактор не действует.} \end{cases}$$

В текущей версии системы «Эйдос-Х++» значения координат вектора состояния распознаваемого объекта принимались равными либо 0, если признака нет, или n , если он присутствует у объекта с интенсивностью n , т.е. представлен n раз (например, буква «о» в слове «молоко» представлена 3 раза, а буква «м» - один раз).

3.6.2. Интегральный критерий «Семантический резонанс знаний»

Интегральный критерий «Семантический резонанс знаний» представляет собой *нормированное* суммарное количество знаний, содержащееся в системе факторов различной природы, характеризующих сам объект управления, управляющие факторы и окружающую среду, о переходе объекта в будущие целевые или нежелательные состояния.

⁹ В отличие от Евклидова расстояния, которое используется для подобных целей наиболее часто

Интегральный критерий представляет собой аддитивную функцию от частных критериев знаний, представленных в help режима 3.3 и имеет вид:

$$I_j = \frac{1}{\sigma_j \sigma_l M} \sum_{i=1}^M (I_{ij} - \bar{I}_j)(L_i - \bar{L}),$$

где:

M – количество градаций описательных шкал (признаков); \bar{I}_j – средняя информативность по вектору класса; \bar{L} – среднее по вектору объекта;

σ_j – среднеквадратичное отклонение частных критериев знаний вектора класса; σ_l – среднеквадратичное отклонение по вектору распознаваемого объекта.

$\vec{I}_{ij} = \{I_{ij}\}$ – вектор состояния j -го класса; $\vec{L}_i = \{L_i\}$ – вектор состояния распознаваемого объекта (состояния или явления), включающий все виды факторов, характеризующих сам объект, управляющие воздействия и окружающую среду (массив-локатор), т.е.:

$$\vec{L}_i = \begin{cases} 1, & \text{если } i - \text{фактор действует;} \\ n, & \text{где: } n > 0, \text{ если } i - \text{фактор действует с истинностью } n; \\ 0, & \text{если } i - \text{фактор не действует.} \end{cases}$$

В текущей версии системы «Эйдос-Х++» значения координат вектора состояния распознаваемого объекта принимались равными либо 0, если признака нет, или n , если он присутствует у объекта с интенсивностью n , т.е. представлен n раз (например, буква «о» в слове «молоко» представлена 3 раза, а буква «м» - один раз).

Приведенное выражение для интегрального критерия «Семантический резонанс знаний» получается непосредственно из выражения для критерия «Сумма знаний» после замены координат перемножаемых векторов их стандартизованными значениями:

$$I_{ij} \rightarrow \frac{I_{ij} - \bar{I}_j}{\sigma_j}, \quad L_i \rightarrow \frac{L_i - \bar{L}}{\sigma_l}. \text{ Поэтому по своей сути он также является скалярным}$$

произведением двух стандартизованных (единичных) векторов класса и объекта. Существуют и много других способов нормирования, например, путем применяя сплайнов, в частности линейной интерполяции:

$$I_{ij} \rightarrow \frac{I_{ij} - I_j^{\min}}{I_j^{\max} - I_j^{\min}}, \quad L_i \rightarrow \frac{L_i - L^{\min}}{L^{\max} - L^{\min}}, \text{ Это позволяет предложить неограниченное}$$

количество других видов интегральных критериев. Но результаты их применения едва ли они будут существенно отличаться от уже существующих, поэтому они не реализованы в системе «Эйдос».

3.6.3. Важные математические свойства интегральных критериев

Данные интегральные критерии обладают очень интересными **математическими свойствами**, которые обеспечивают ему важные достоинства:

Во-первых, интегральный критерий имеет **неметрическую** природу, т.е. он являются мерой сходства векторов класса и объекта, но не расстоянием между ними, а косинусом угла между ними, т.е. это межвекторное или информационное расстояние. Поэтому его применение является корректным в **неортонормированных** пространствах, которые, как правило, и встречаются на практике и в которых применение Евклидова расстояния (теоремы Пифагора) является некорректным.

Во-вторых, данный интегральный критерий являются **фильтром**, подавляющим белый **шум**, который всегда присутствует в эмпирических исходных данных и в моделях, созданных на их основе. Это свойство подавлять белый шум проявляется у данного критерия тем ярче, чем больше в модели градаций описательных шкал.

В-третьих, интегральный критерий сходства представляет собой количественную меру сходства/различия конкретного объекта с обобщенным образом класса и имеет тот же смысл, что и **функция принадлежности** элемента множеству в нечеткой логике Лотфи Заде. Однако в нечеткой логике эта функция задается исследователем априорно путем выбора из нескольких возможных вариантов, а в АСК-анализе и его программном инструментарии – интеллектуальной системе «Эйдос» она рассчитывается в соответствии с хорошо обоснованной математической моделью непосредственно на основе эмпирических данных.

В-четвертых, кроме того значение интегрального критерия сходства представляет собой адекватную самооценку **степени уверенности** системы в положительном или отрицательном решении о принадлежности/непринадлежности объекта к классу или **риска ошибки** при таком решении.

В-пятых, по сути, при распознавании происходит расчет коэффициентов I_j разложения функции объекта L_i в ряд по функциям классов I_{ij} , т.е. определяется **вес** каждого обобщенного образа класса в образе объекта, что подробнее описано в монографии [11, 12].

На рисунках 17 приведены экranные формы режима идентификации и прогнозирования 4.1.2 системы «Эйдос»:

3.6.4. Решение задачи идентификации и прогнозирования в системе «Эйдос»

В АСК-анализе разработаны, а в системе «Эйдос» реализованы развитые методы прогнозирования, основанные на сценарном методе АСК-анализа или сценарном АСК-анализе. Но в задачи данной работы не входит их подробное рассмотрение, тем более, что они подробно

освящены и на теоретическом уровне, и с детальными численными примерами в работах [13, 14] и в ряде других¹⁰.

Поэтому в данной работе рассмотрим стандартный несколько упрощенный вариант решения задачи идентификации и прогнозирования. Запустим режим 4.1.2 системы «Эйдос» (рисунок 16):

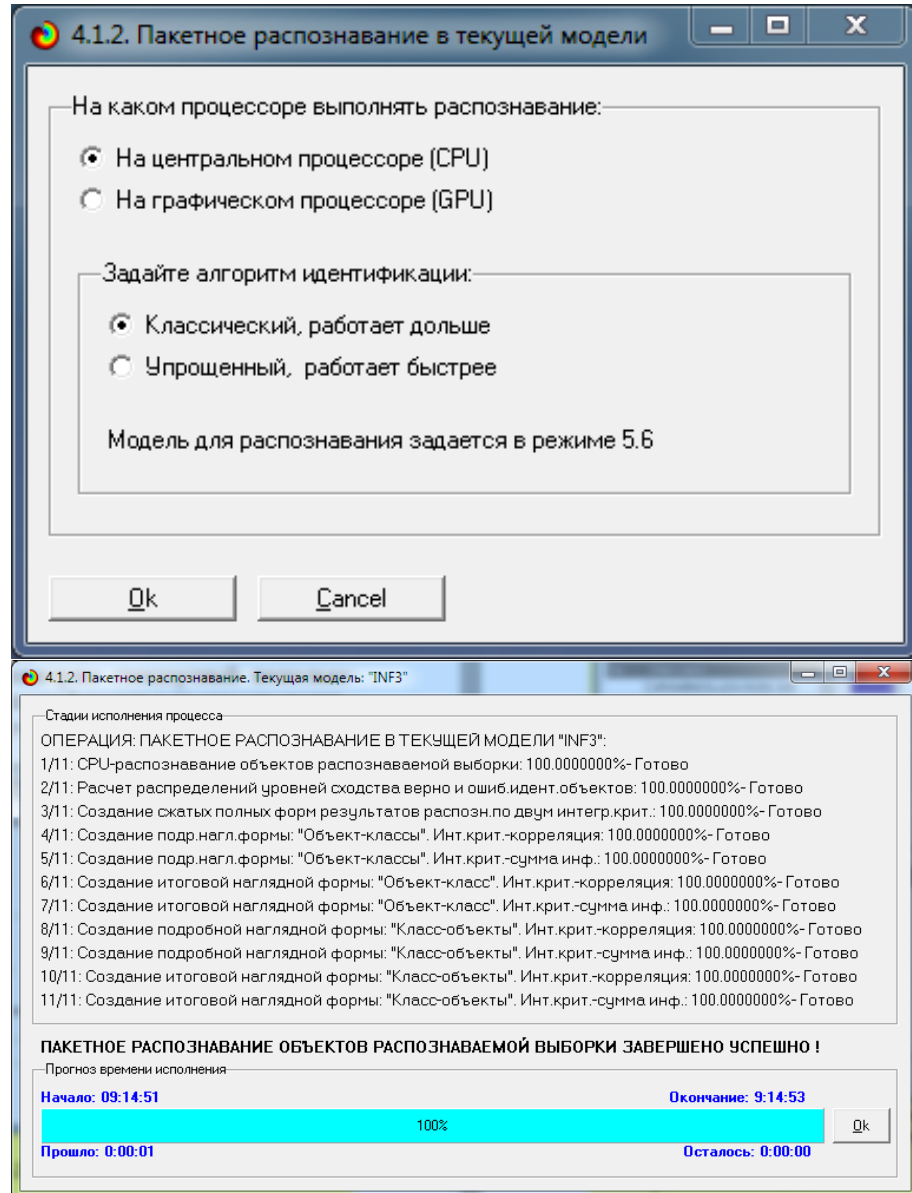


Рисунок 16. Экранные формы режима 4.1.2 идентификации и прогнозирования

По результатам решения задачи идентификации и прогнозирования в системе «Эйдос» выдается большое количество разнообразных выходных форм, которых в настоящее время 12 (рисунок 17):

¹⁰ См., например: http://lc.kubagro.ru/aidos/Works_on_Scenario_ASC-analysis.htm

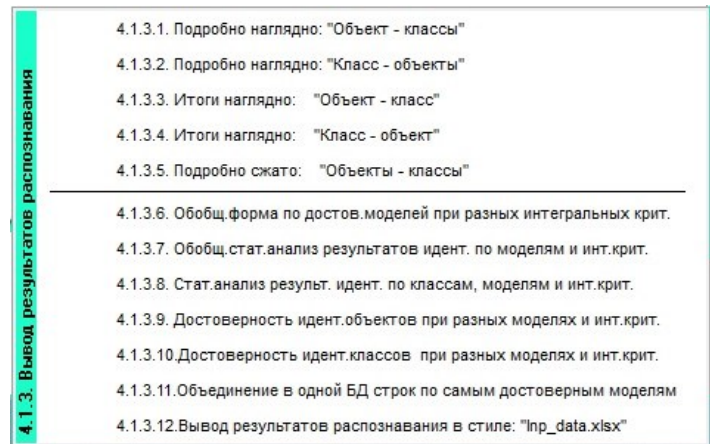


Рисунок 17. Меню подсистемы 4.1.3 системы «Эйдос», обеспечивающей вывод форм по результатам решения задачи идентификации и прогнозирования

Из этих выходных форм рассмотрим только две: 4.1.3.1 и 4.1.3.2 (рисунок 18):

4.1.3.1. Визуализация результатов распознавания в отношении "Объект-классы". Текущая модель: "INF3"

Интегральный критерий сходства: "Семантический резонанс знаний"			
Код	Наименование класса	Сходство	Ф...
3	CATEGORY/3/4/Rifle	59.30...	v
2	CATEGORY/2/4/Pistol	-25.09...	
4	CATEGORY/4/4/SMG	-27.30...	
1	CATEGORY/1/4/Heavy	-30.91...	

Интегральный критерий сходства: "Сумма знаний"			
Код	Наименование класса	Сходство	Ф...
3	CATEGORY/3/4/Rifle	65.56...	v
1	CATEGORY/1/4/Heavy	-18.37...	
2	CATEGORY/2/4/Pistol	-23.13...	
4	CATEGORY/4/4/SMG	-24.05...	

4.1.3.2. Визуализация результатов распознавания в отношении: "Класс-объекты". Текущая модель: "INF3"

Интегральный критерий сходства: "Семантический резонанс знаний"			
Код	Наименование объекта	Сходство	Ф...
25	Sawed-Off	90.29...	v
20	Nova	77.62...	v
32	XM1014	77.62...	v
16	MAG-7	72.94...	v
19	Negev	32.91...	v
3	AWP	21.79...	
30	UMP-45	15.12...	
4	CZ75 Auto	14.23...	
23	P90	12.67...	
12	M249	9.563...	v

Интегральный критерий сходства: "Сумма знаний"			
Код	Наименование объекта	Сходство	Ф...
25	Sawed-Off	53.66...	v
20	Nova	46.13...	v
32	XM1014	46.13...	v
16	MAG-7	43.35...	v
19	Negev	19.56...	v
3	AWP	12.95...	
30	UMP-45	8.988...	
4	CZ75 Auto	8.460...	
23	P90	7.534...	
12	M249	5.684...	v

Рисунок 18. Некоторые экранные формы результатов идентификации и прогнозирования 4.1.3 системы «Эйдос»

Эти выходные формы, учитывая сказанное выше об интегральных критериях системы «Эйдос», как говорят «интуитивно понятны» и не требуют особых комментариев.

3.7. Задача-7. Поддержка принятия решений

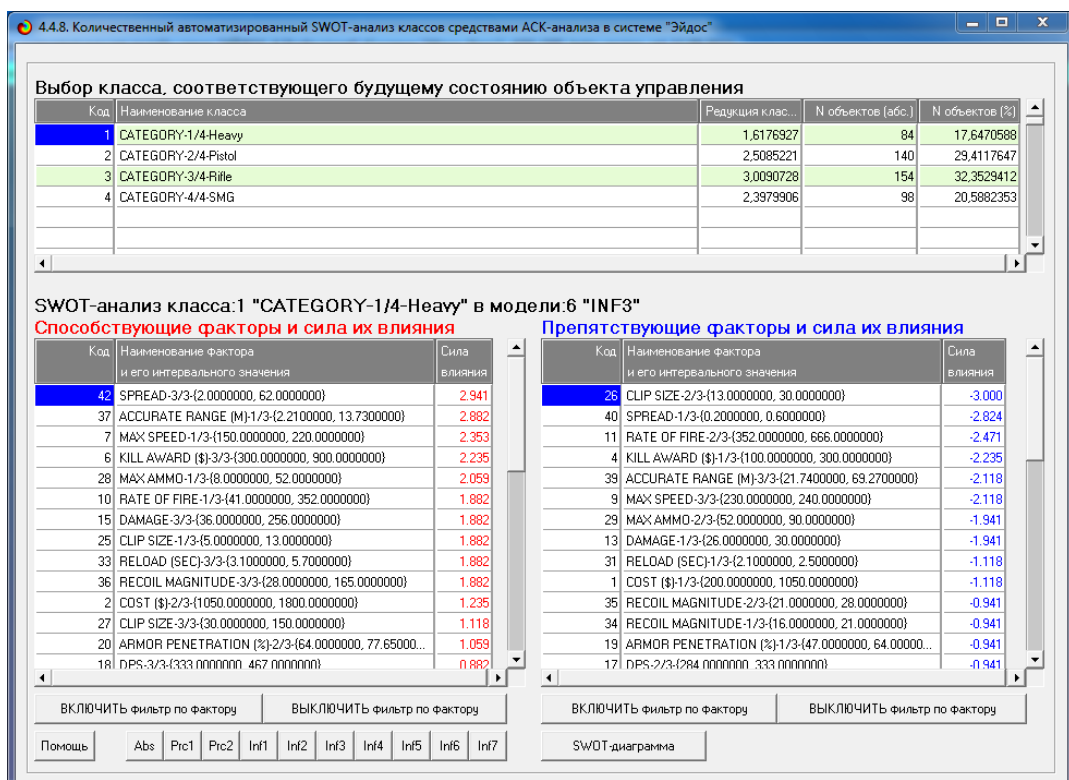
3.7.1. Упрощенный вариант принятия решений как обратная задача прогнозирования, позитивный и негативный информационные портреты классов, SWOT-анализ

Задачи прогнозирования и принятия решений относятся друг к другу как прямая и *обратная* задачи:

- при прогнозировании по значениям факторов, действующих на объект моделирования, определяется в какое будущее состояние он перейдет под их действием;
- при принятии решений, наоборот, по будущему целевому состоянию объекта моделирования определяются значения факторов, которые обуславливают его переход в это будущее целевое состояние.

Таким образом, задача принятия решений является обратной по отношению к задаче прогнозирования. Но это так только в простейшем случае: в случае использования SWOT-анализа (режим 4.4.8 системы «Эйдос») [15] (рисунки 19).

Выходные формы, приведенные на рисунках 19, интуитивно понятны и не требуют особых комментариев. Отметим лишь, что на SWOT-диаграммах наглядно показаны знак и сила влияния каждого значения фактора на переход объекта моделирования в состояние, соответствующее классу, выбранному в верхнем окне. Знак показан цветом, а сила влияния – толщиной линии.



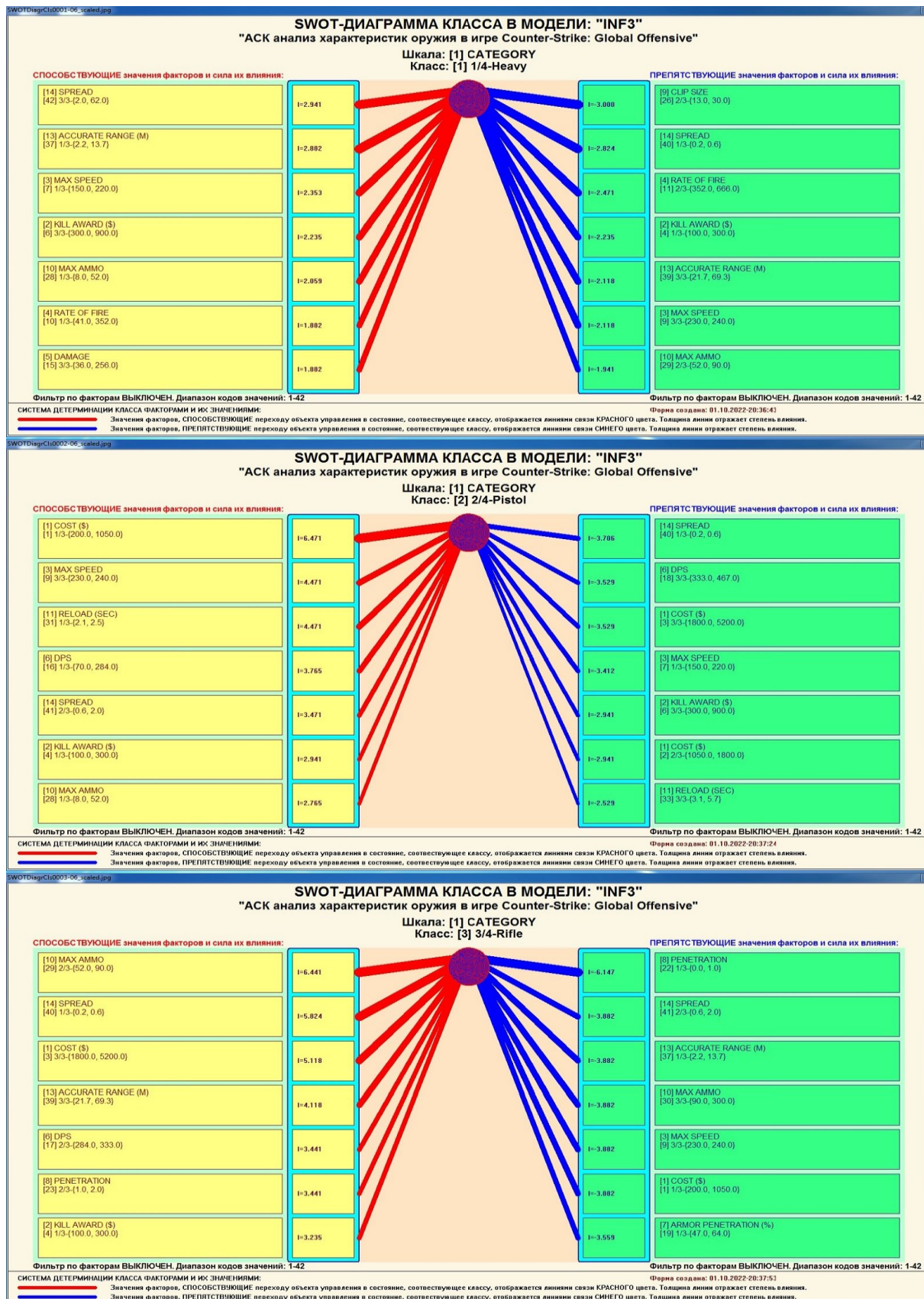


Рисунок 19. Примеры экранных форм режима автоматизированного SWOT-анализа (режим 4.4.8 системы «Эйдос»)

На первом рисунке 21 приведена экранная форма задания в диалоге параметров отображения SWOT-диаграммы. На этой экранной форме в верхнем окне пользователь курсором выбирает исследуемый класс, внизу слева задает модель для исследования, а справа внизу задает отображать ли SWOT-диаграмму. Кроме того, пользователь может включить или выключить фильтры по факторам и посмотреть помощь по режиму. При включении фильтра по фактору, на котором стоит курсор, на экранных формах отображается влияние только значения этого фактора.

Слева на SWOT-диаграмме приведены значения факторов, способствующих переходу объекта моделирования в состояние, соответствующее классу, выбранному в верхнем окне (показаны красным цветом), а справа – препятствующих этому переходу (показаны синим цветом). Сила влияния каждого значения фактора на поведение объекта моделирования показана толщиной линии.

3.7.2. Развитый алгоритм принятия решений в адаптивных интеллектуальных системах управления на основе АСК-анализа и системы «Эйдос»

Однако SWOT-анализ (режим 4.4.8 системы «Эйдос») имеет свои ограничения: может быть задано только одно будущее целевое состояние, целевые состояния могут быть недостижимыми одновременно (альтернативными) или совместимыми по системе обуславливающих их значений факторов, некоторые рекомендуемые факторы может не быть технологической и финансовой возможности использовать и возможно надо искать им замену, примерно так же влияющую на объект моделирования.

Поэтому в АСК-анализе и системе «Эйдос» реализован развитый алгоритм принятия решений (режим 6.3) в котором кроме SWOT-анализа используются также результаты решения задачи прогнозирования и результаты кластерно-конструктивного анализа классов и значений факторов, т.е. некоторые результаты решения задачи исследования предметной области. Этот алгоритм описан в работах [13, 14, 16] и в ряде других работ.

Приведем этот алгоритм и в данной работе (рисунок 22).

Шаг 1-й. Руководство ставит цели управления, т.е. определяет будущие целевые состояния объекта управления. Обычно целевые состояния в натуральном выражении - это количество и качество продукции, а в стоимостном выражении - прибыль и рентабельность. Объект управления как система, эффективность объекта управления как **системное свойство**, повышение уровня системности объекта управления как цель управления (нелинейность). Модель отражает определенный уровень технологий, поэтому целевые состояния, недостижимые в одной модели, могут оказаться достижимыми в другой с большим числом факторов [16, 17, 18].

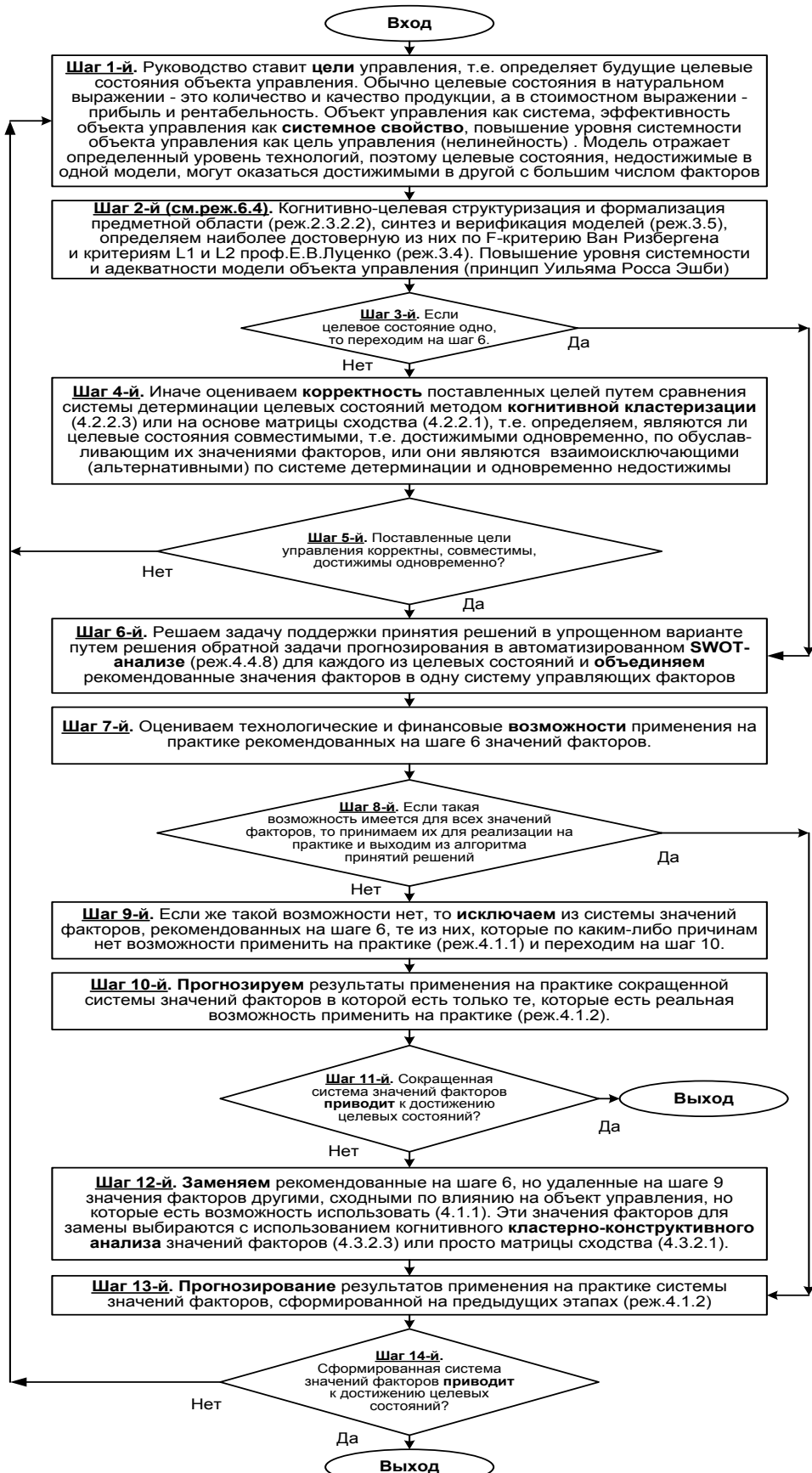


Рисунок 20. Развитый алгоритм принятия решений в интеллектуальных системах управления на основе АСК-анализа и системы «Эйдос»

Шаг 2-й (см.реж.6.4). Когнитивно-целевая структуризация и формализация предметной области (реж.2.3.2.2), синтез и верификация моделей (реж.3.5), определяем наиболее достоверную из них по F-критерию Ван Ризбергена и критериям L1 и L2 проф.Е.В.Луценко (реж.3.4) [5]. Повышение уровня системности и адекватности модели объекта управления (принцип Уильяма Росса Эшби) [17].

Шаг 3-й. Если целевое состояние одно, то переходим на шаг 6, а иначе на шаг 4.

Шаг 4-й. Иначе оцениваем **корректность** поставленных целей путем сравнения системы детерминации целевых состояний методом **когнитивной кластеризации** (4.2.2.3) или на основе матрицы сходства (4.2.2.1), т.е. определяем, являются ли целевые состояния совместимы, т.е. достижимы одновременно, по обуславливающим их значениями факторов, или они являются взаимоисключающими (альтернативными) по системе детерминации и одновременно недостижимы.

Шаг 5-й. Поставленные цели управления корректны, совместимы, достижимы одновременно? Если да – переход на шаг 6, иначе на шаг 1.

Шаг 6-й. Решаем задачу поддержки принятия решений в упрощенном варианте путем решения обратной задачи прогнозирования в автоматизированном **SWOT-анализе** (реж.4.4.8) для каждого из целевых состояний и **объединяем** рекомендованные значения факторов в одну систему управляющих факторов [15].

Шаг 7-й. Оцениваем технологические и финансовые **возможности** применения на практике рекомендованных на шаге 6 значений факторов.

Шаг 8-й. Если такая возможность имеется для всех значений факторов, то принимаем их для реализации на практике и переходим на шаг 13 для проверки эффективности принятых решений, а иначе переходим на шаг 9.

Шаг 9-й. Если же такой возможности нет, то **исключаем** из системы значений факторов, рекомендованных на шаге 6, те из них, которые по каким-либо причинам нет возможности применить на практике (реж.4.1.1) и переходим на шаг 10.

Шаг 10-й. Прогнозируем результаты применения на практике сокращенной системы значений факторов в которой есть только те, которые есть реальная возможность применить на практике (реж.4.1.2).

Шаг 11-й. Сокращенная система значений факторов **приводит** к достижению целевых состояний? Если да, то выход из алгоритма принятия решений, а иначе переход на шаг 12.

Шаг 12-й. **Заменяем** рекомендованные на шаге 6, но удаленные на шаге 9 значения факторов другими, сходными по влиянию на объект управления, но которые есть возможность использовать (4.1.1). Эти значения факторов для замены выбираются с использованием

когнитивного кластерно-конструктивного анализа значений факторов (4.3.2.3) или просто матрицы сходства (4.3.2.1) [19].

Шаг 13-й. Прогнозирование результатов применения на практике системы значений факторов, сформированной на предыдущих этапах (реж.4.1.2)

Шаг 14-й. Сформированная система значений факторов приводит к достижению целевых состояний? Если да – то выход из алгоритма принятия решений, а иначе переход на шаг 1.

Приведенный выше развитый алгоритм принятия решений может быть применен в адаптивных интеллектуальных системах управления на основе АСК-анализа и системы «Эйдос». Принципиальная схема подобной системы приведена на рисунке 23:

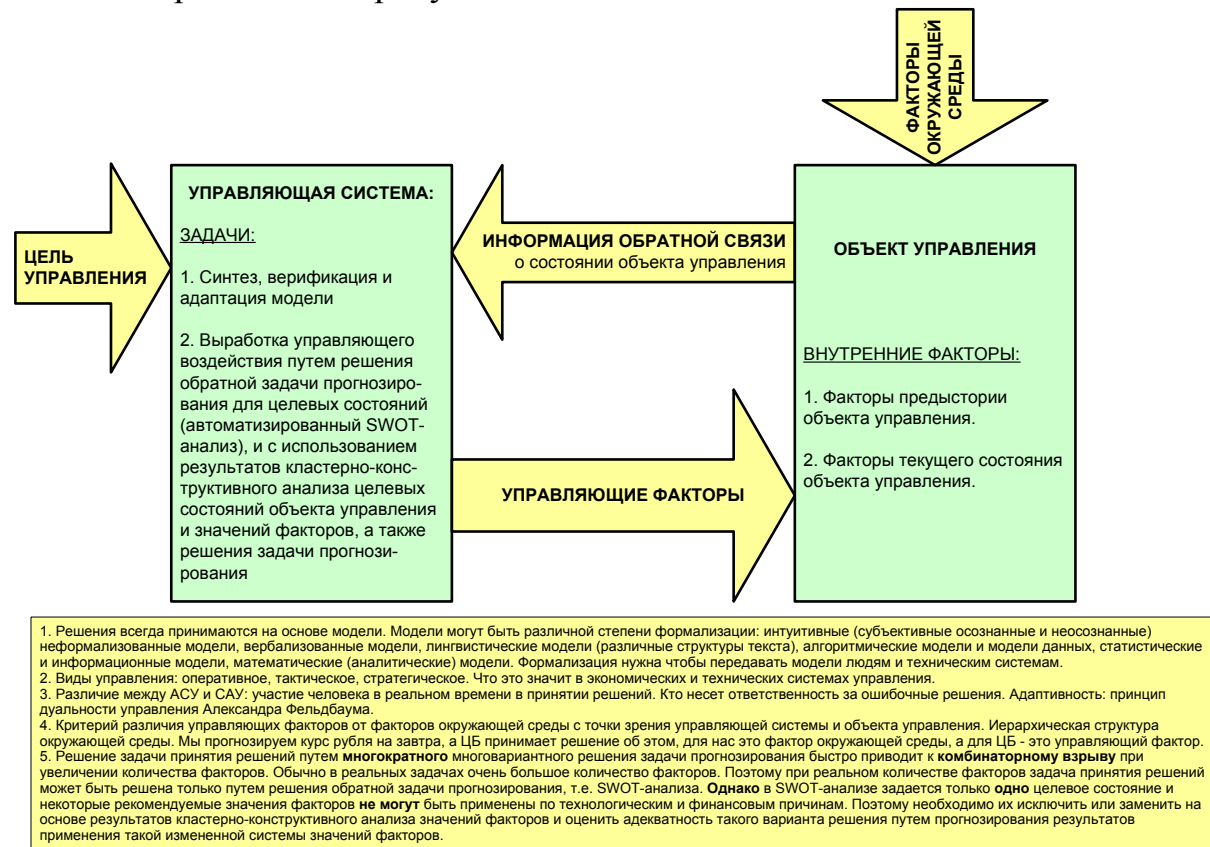


Рисунок 21. Принципиальная схема адаптивной интеллектуальной системы управления на основе АСК-анализа и системы «Эйдос»

Как мы видим в развитом алгоритме принятия решений широко используются результаты решения различных задач: и задачи прогнозирования, и некоторых задач исследования объекта моделирования путем исследования его модели. Необходимо особо отметить, что система «Эйдос» поддерживает решение всех задач, которые необходимо решать в развитом алгоритме принятия решений. Потому ниже кратко рассмотрим решение этих и некоторых других задач.

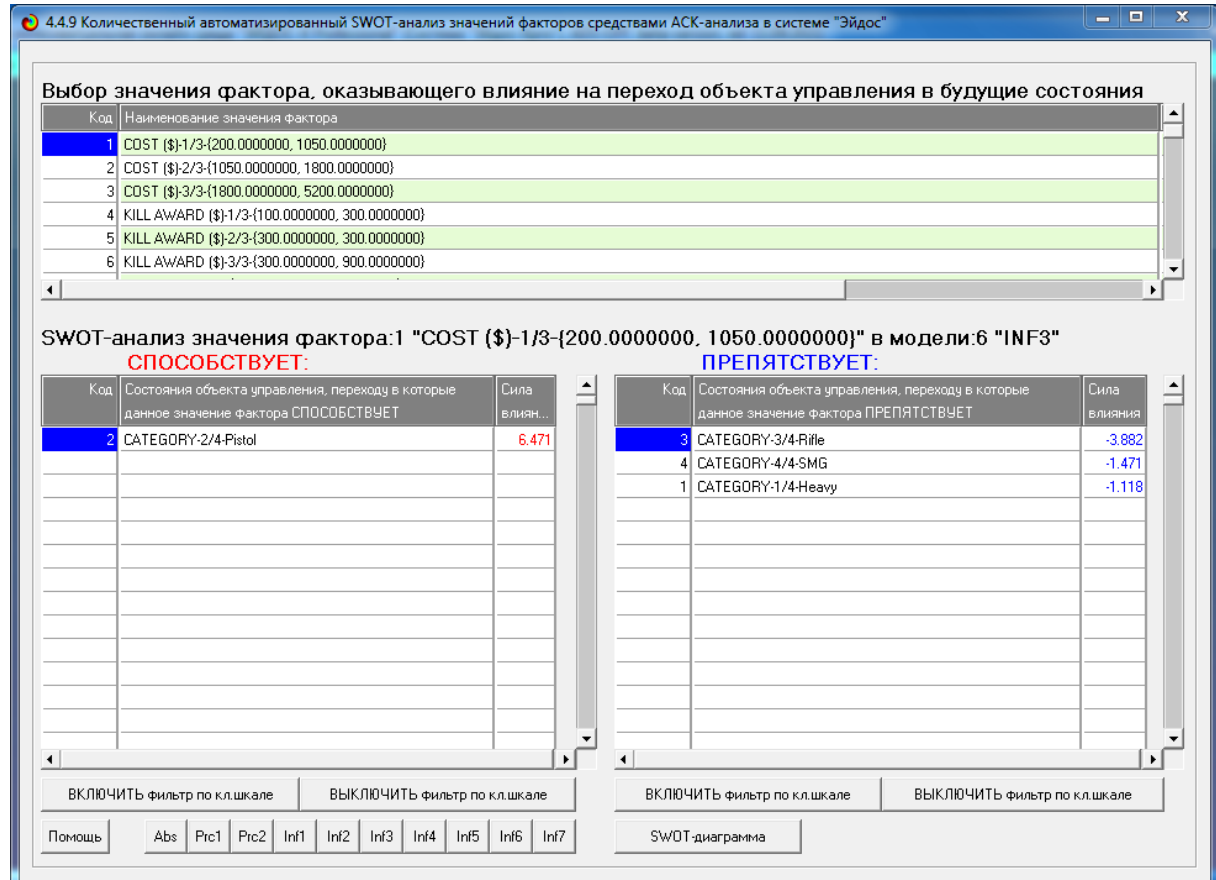
Необходимо отметить, что модели системы Эйдос – это феноменологические модели, отражающие эмпирические закономерности в фактах обучающей выборки, т.е. они не отражают причинно-следственного механизма детерминации, а только сам факт и характер детерминации. Содержательное объяснение этих эмпирических закономерностей формулируется уже экспертами на теоретическом уровне познания в содержательных научных законах [21, 22].

3.8. Задача-8. Исследование объекта моделирования путем исследования его модели

3.8.1. Инвертированные SWOT-диаграммы значений описательных шкал (семантические потенциалы)

Инвертированные SWOT-диаграммы (предложены автором в работе [15]), отражают силу и направление влияния конкретной градации описательной шкалы на переход объекта моделирования в состояния, соответствующие градациям классификационных шкал (классы). Это и есть *смысл* (семантический потенциал) этой градации описательной шкалы. Инвертированные SWOT-диаграммы выводятся в режиме 4.4.9 системы «Эйдос».

Инвертированные SWOT-диаграммы для каждого значения фактора, приведены ниже на рисунке 22:



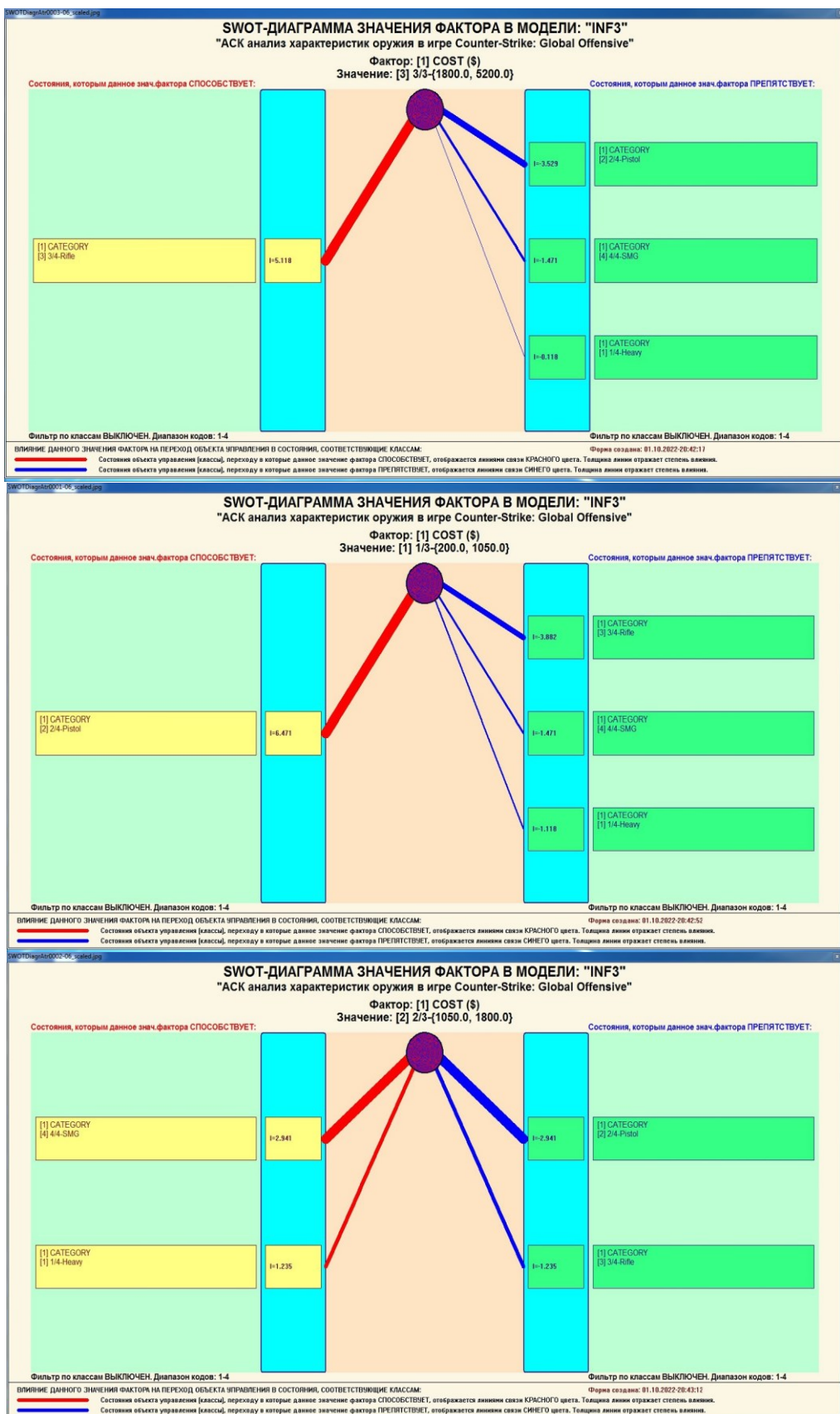


Рисунок 22. Примеры инвертированных SWOT-диаграмм влияния значений факторов на переход объекта моделирования в будущие состояния, соответствующие классам

Приведенные на рисунке 22 инвертированные SWOT-диаграммы исчерпывающим образом отражают силу и направление влияния каждого значения каждого фактора на переход объекта моделирования в состояния, соответствующие различным классам. Во многом это и есть решение проблемы, поставленной в работе.

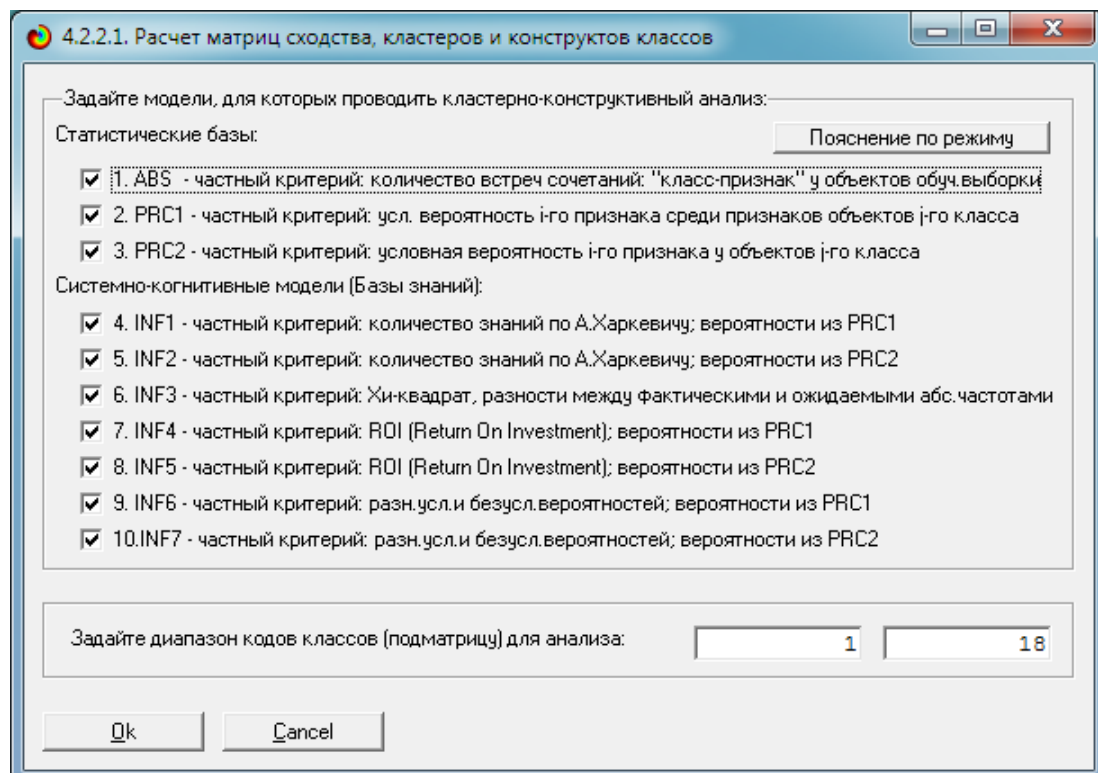
3.8.2. Кластерно-конструктивный анализ классов

В системе «Эйдос» (в режиме 4.2.2.1, рисунок 23) рассчитывается матрица сходства классов (таблица 12) по системе их детерминации и на основе этой матрицы рассчитывается и выводится три основных формы:

- круговая 2d-когнитивная диаграмма классов (режим 4.2.2.2) (рисунок 24);
- агломеративные дендрограммы, полученные в результате **когнитивной (истинной) кластеризации классов** (предложена автором в 2011 году в работе [19]) (режим 4.2.2.3) (рисунок 25);
- график изменения межкластерных расстояний (режим 4.2.2.3) (рисунок 24).

Эта матрица сходства (таблица 14) используются и при расчете некоторых других выходных форм.

На рисунке 23 представлены экранные формы режима 4.2.2.1, обеспечивающего расчет матрицы сходства классов по системе их детерминации, т.е. по обуславливающим их значениям факторов:



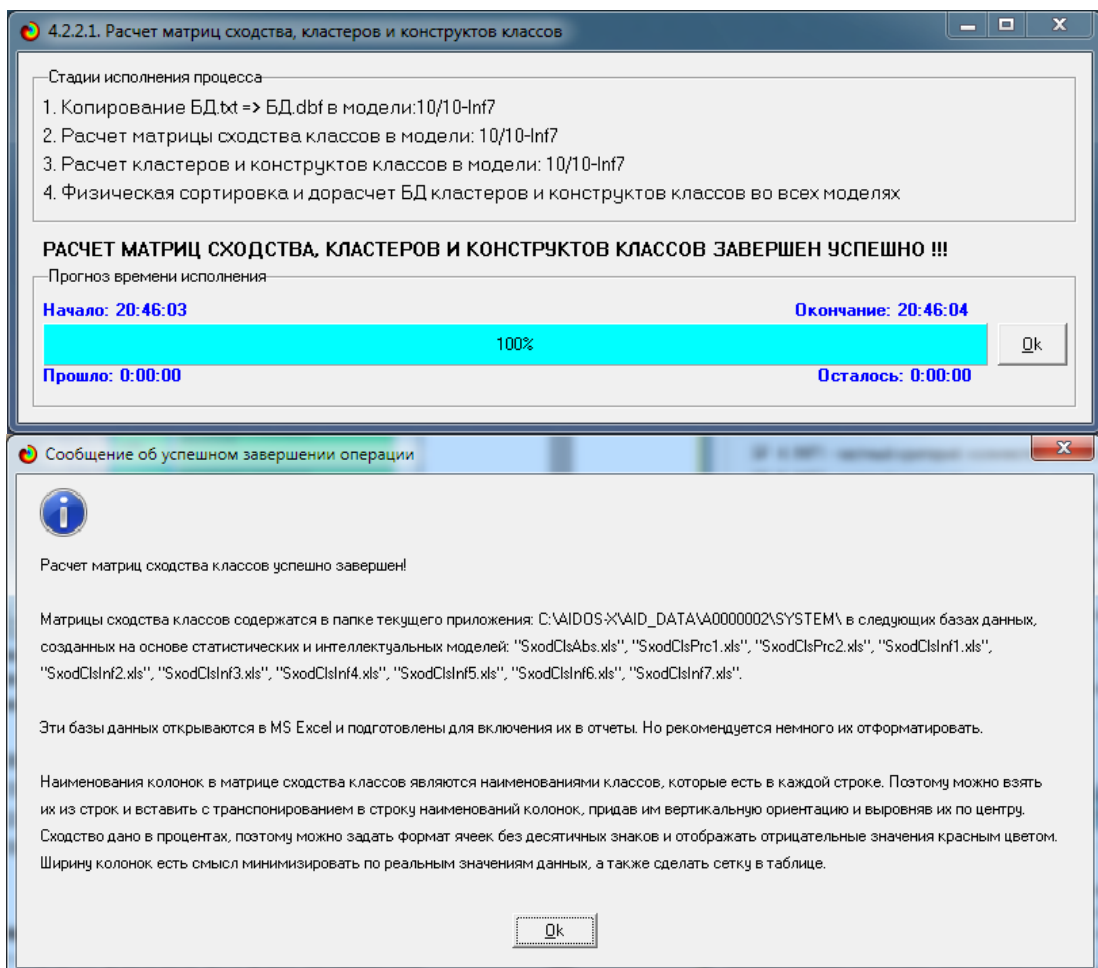


Рисунок 23. Экранные формы режима 4.2.2.1, обеспечивающего расчет матриц сходства классов

Таблица 12 – Матрица сходства классов в СК-модели INF3 (полностью)

KOD_CLS	KOD_C_LSC	NAME_CLS	N1	N2	N3	N4
1	1	CATEGORY-1/4-Heavy	100,0000000	-18,3847032	-37,2108745	-1,5348706
2	1	CATEGORY-2/4-Pistol	-18,3847032	100,0000000	-47,0236449	-33,2002280
3	1	CATEGORY-3/4-Rifle	-37,2108745	-47,0236449	100,0000000	-51,1893897
4	1	CATEGORY-4/4-SMG	-1,5348706	-33,2002280	-51,1893897	100,0000000

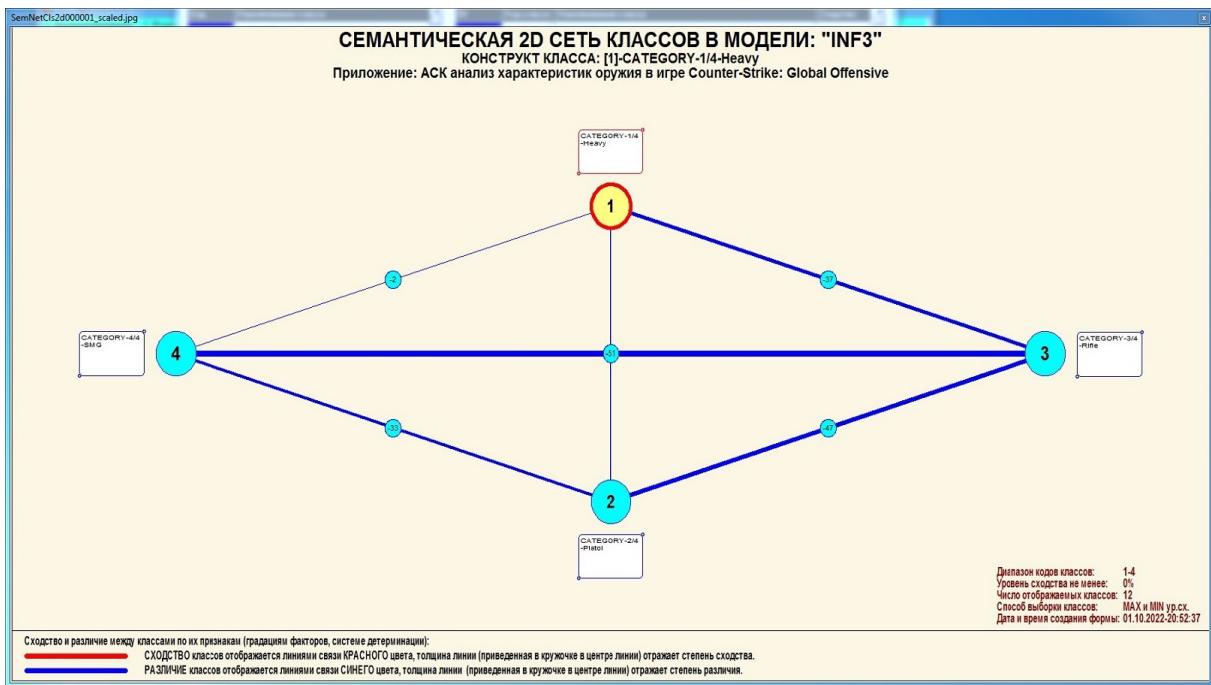


Рисунок 24. Круговая 2d-когнитивная диаграмма классов (режим 4.2.2.2)

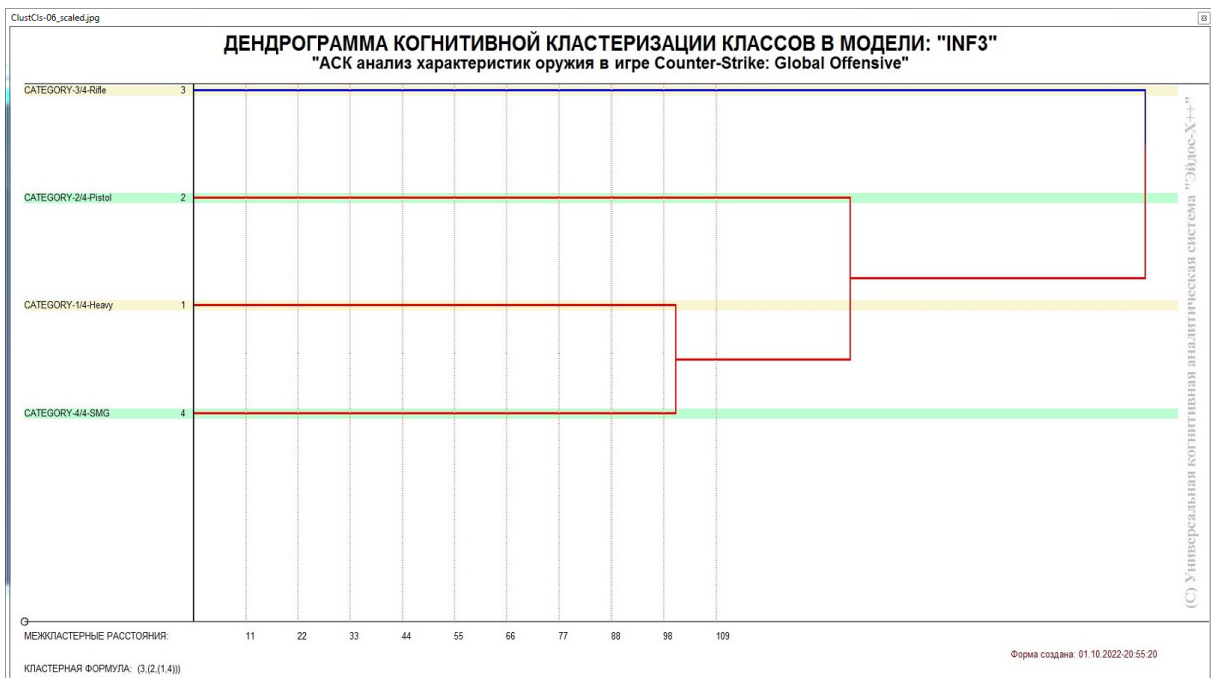


Рисунок 25. Агломеративная дендрограмма, полученная в результате когнитивной (истинной) кластеризации классов (режим 4.2.2.3)

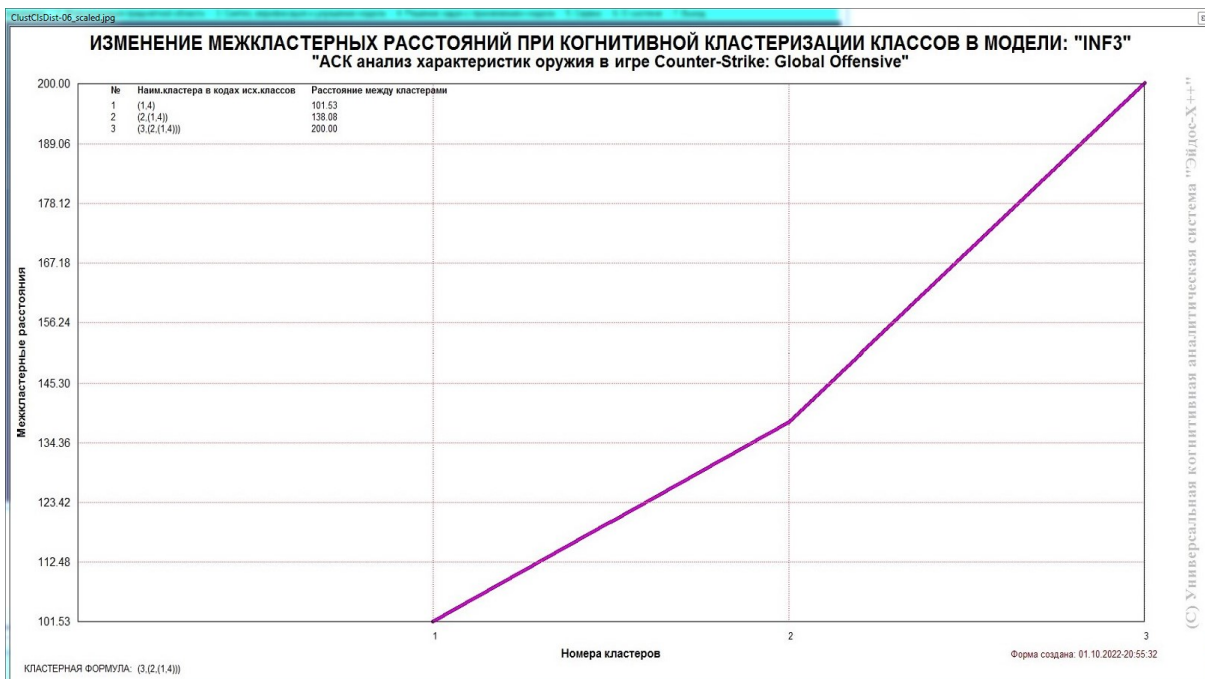


Рисунок 26. График изменения межклusterных расстояний (режим 4.2.2.3)

3.8.3. Кластерно-конструктивный анализ значений описательных шкал

В системе «Эйдос» (в режиме 4.3.2.1, рисунок 29) рассчитывается матрица сходства признаков (таблица 15) по их смыслу и на основе этой матрицы рассчитывается и выводится четыре основных формы:

- круговая 2d-когнитивная диаграмма признаков (режим 4.3.2.2) (рисунок 27);
- агломеративные дендрограммы, полученные в результате **когнитивной (истинной) кластеризации признаков** (предложена автором в 2011 году в работе [19]) (режим 4.3.2.3) (рисунок 28);
- график изменения межклusterных расстояний (режим 4.3.2.3) (рисунок 29).

Эта матрица сходства (таблица 13) используются и при расчете некоторых других выходных форм.

На рисунке 29 представлены экранные формы режима 4.3.2.1, обеспечивающего расчет матрицы сходства значений факторов по силе и направлению их влияния на переход объекта моделирования в различные будущие состояния, соответствующие классам:

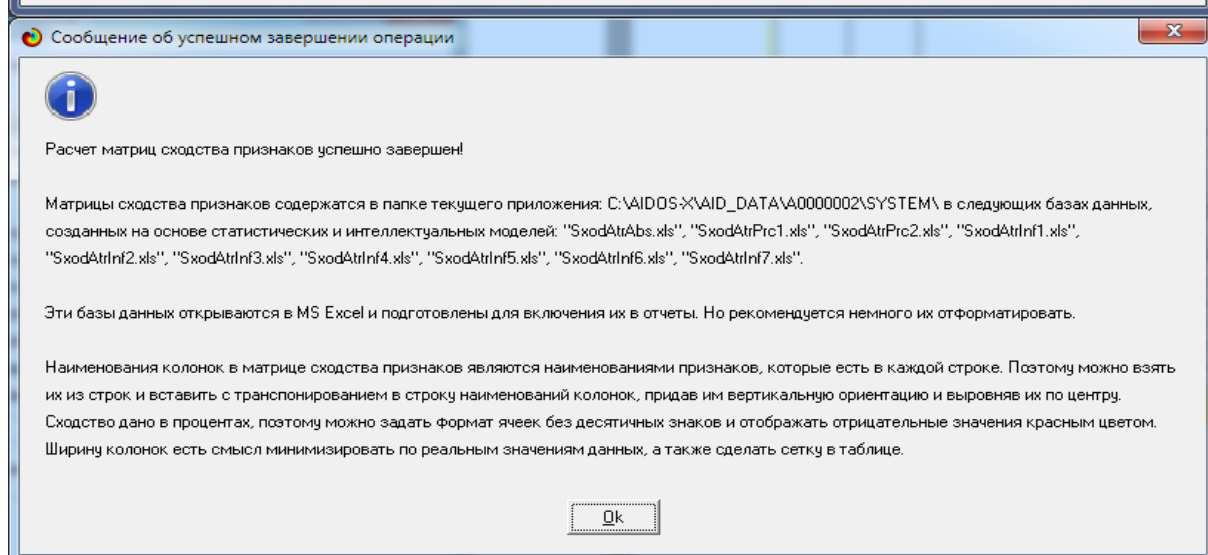
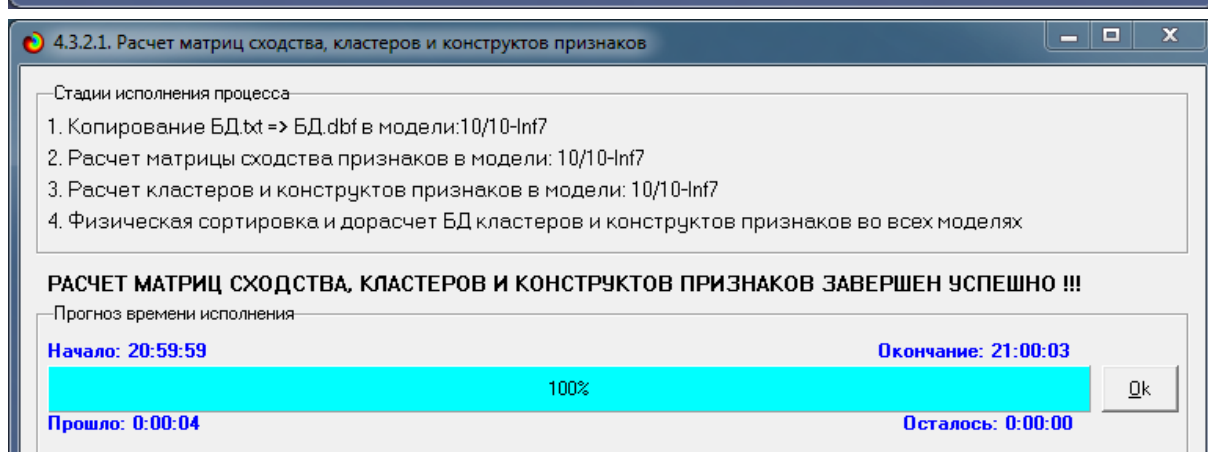
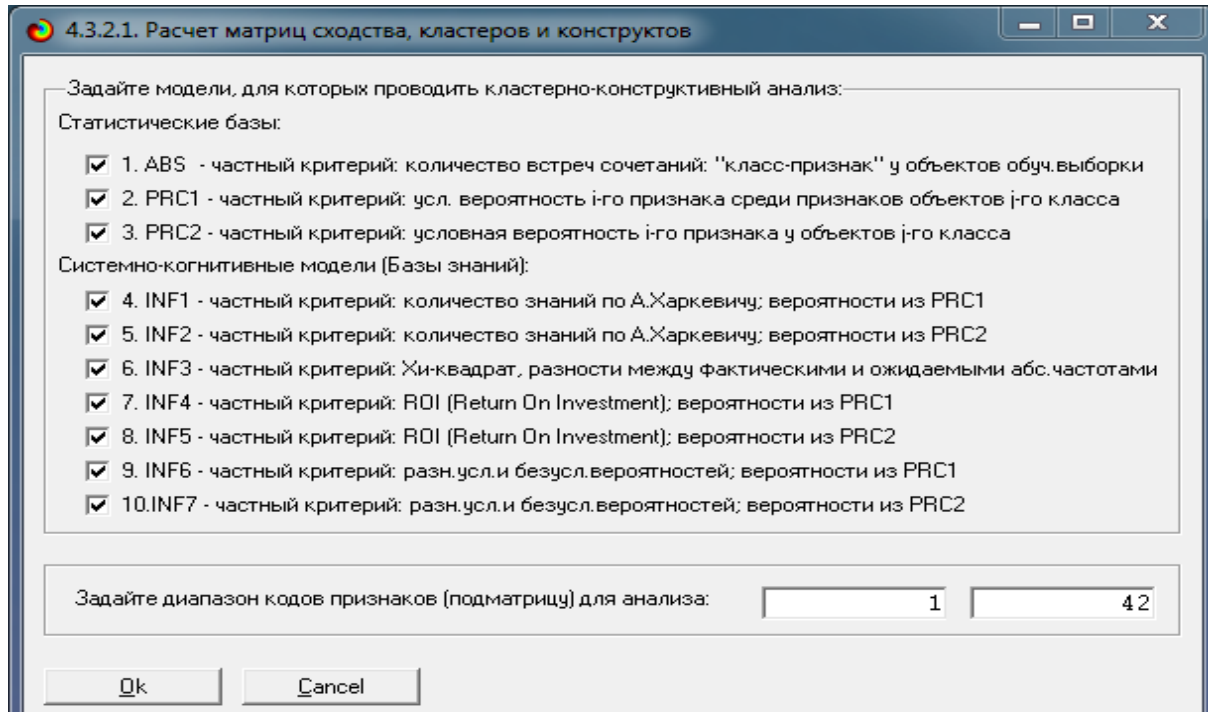


Рисунок 27. Экранные формы режима 4.3.2.1, обеспечивающего расчет матриц сходства значений факторов

Таблица 13 – Матрица сходства значений факторов в СК-модели INF3 (фрагмент)

KOD_ATR	KOD_OFSPC	NAM_ATR	N1	N2	N3	N4	N5	N6	N7	N8	N9	N10	N11	N12	N13	
1		ARMOR PENETRATION (%) /-2 (0.0000000, 100.0000000)	100.0000000	100.0000000	100.0000000	100.0000000	100.0000000	100.0000000	100.0000000	100.0000000	100.0000000	100.0000000	100.0000000	100.0000000	100.0000000	
2		COST (\$)-/3 (5-1050.0000000, 180.0000000)	-54.1666172	-100.0000000	-100.0000000	-100.0000000	-100.0000000	-100.0000000	-100.0000000	-100.0000000	-100.0000000	-100.0000000	-100.0000000	-100.0000000	-100.0000000	
3		COST (\$)-/3-1 (180.0000000, 120.0000000)	-1.4249951	-100.0000000	-100.0000000	-100.0000000	-100.0000000	-100.0000000	-100.0000000	-100.0000000	-100.0000000	-100.0000000	-100.0000000	-100.0000000	-100.0000000	
4		KILL AWARD (%)-/3 (250.0000000, 100.0000000)	0.0000000	0.0000000	0.0000000	0.0000000	0.0000000	0.0000000	0.0000000	0.0000000	0.0000000	0.0000000	0.0000000	0.0000000	0.0000000	0.0000000
5		KILL AWARD (%)-/3-2 (150.0000000, 100.0000000)	0.0000000	0.0000000	0.0000000	0.0000000	0.0000000	0.0000000	0.0000000	0.0000000	0.0000000	0.0000000	0.0000000	0.0000000	0.0000000	0.0000000
6		KILL AWARD (%)-/3-3 (100.0000000, 90.0000000)	30.383150	95.0487731	100.0000000	100.0000000	100.0000000	100.0000000	100.0000000	100.0000000	100.0000000	100.0000000	100.0000000	100.0000000	100.0000000	100.0000000
7		KILL AWARD (%)-/3-4 (60.0000000, 50.0000000)	30.383150	95.0487731	100.0000000	100.0000000	100.0000000	100.0000000	100.0000000	100.0000000	100.0000000	100.0000000	100.0000000	100.0000000	100.0000000	100.0000000
8		MAX SPEED-3/-2 (120.0000000, 20.0000000)	92.1608119	55.3740401	73.1124249	28.8872120	100.0000000	100.0000000	100.0000000	100.0000000	100.0000000	100.0000000	100.0000000	100.0000000	100.0000000	100.0000000
9		MAX SPEED-3/-2-0 (20.0000000, 2.0000000)	87.7009340	-22.1627293	-1.7322527	0.0000000	1.7322527	47.8130237	100.0000000	100.0000000	100.0000000	100.0000000	100.0000000	100.0000000	100.0000000	100.0000000
10		MAX SPEED-3/-2-1 (2.0000000, 0.2000000)	87.7009340	-22.1627293	-1.7322527	0.0000000	1.7322527	47.8130237	100.0000000	100.0000000	100.0000000	100.0000000	100.0000000	100.0000000	100.0000000	100.0000000
11		RATE OF FIRE-3/-2 (352.0000000, 64.0000000)	21.7807182	-88.0777995	-22.3778107	95.7016378	0.0000000	0.0000000	-95.7016378	-2.3849720	-10.3400110	41.3805905	8.5197978	100.0000000	62.9962083	25.0595497
12		RATE OF FIRE-3/-2-0 (64.0000000, 8.0000000)	21.7807182	-88.0777995	-22.3778107	95.7016378	0.0000000	0.0000000	-95.7016378	-2.3849720	-10.3400110	41.3805905	8.5197978	100.0000000	62.9962083	25.0595497
13		RATE OF FIRE-3/-2-1 (8.0000000, 1.0000000)	21.7807182	-88.0777995	-22.3778107	95.7016378	0.0000000	0.0000000	-95.7016378	-2.3849720	-10.3400110	41.3805905	8.5197978	100.0000000	62.9962083	25.0595497
14		DAMAGE-3/-2 (30.0000000, 16.0000000)	81.7009340	85.5246451	58.3196684	0.0000000	0.0000000	0.0000000	0.0000000	0.0000000	0.0000000	0.0000000	0.0000000	0.0000000	0.0000000	0.0000000
15		DAMAGE-3/-2-0 (16.0000000, 8.0000000)	81.7009340	85.5246451	58.3196684	0.0000000	0.0000000	0.0000000	0.0000000	0.0000000	0.0000000	0.0000000	0.0000000	0.0000000	0.0000000	0.0000000
16		DAMAGE-3/-2-1 (8.0000000, 4.0000000)	81.7009340	85.5246451	58.3196684	0.0000000	0.0000000	0.0000000	0.0000000	0.0000000	0.0000000	0.0000000	0.0000000	0.0000000	0.0000000	0.0000000
17		DPS-3/-2 (28.0000000, 11.0000000)	81.7009340	85.5246451	58.3196684	0.0000000	0.0000000	0.0000000	0.0000000	0.0000000	0.0000000	0.0000000	0.0000000	0.0000000	0.0000000	0.0000000
18		DPS-3/-2-0 (11.0000000, 4.5000000)	81.7009340	85.5246451	58.3196684	0.0000000	0.0000000	0.0000000	0.0000000	0.0000000	0.0000000	0.0000000	0.0000000	0.0000000	0.0000000	0.0000000
19		DPS-3/-2-1 (4.5000000, 2.0000000)	81.7009340	85.5246451	58.3196684	0.0000000	0.0000000	0.0000000	0.0000000	0.0000000	0.0000000	0.0000000	0.0000000	0.0000000	0.0000000	0.0000000
20		ARMOR PENETRATION (%)-/3-2 (64.0000000, 77.0000000)	91.3831422	27.4620516	90.3887749	0.0000000	0.0000000	0.0000000	0.0000000	0.0000000	0.0000000	0.0000000	0.0000000	0.0000000	0.0000000	0.0000000
21		ARMOR PENETRATION (%)-/3-3 (77.0000000, 91.0000000)	91.3831422	27.4620516	90.3887749	0.0000000	0.0000000	0.0000000	0.0000000	0.0000000	0.0000000	0.0000000	0.0000000	0.0000000	0.0000000	0.0000000
22		ARMOR PENETRATION (%)-/3-4 (91.0000000, 100.0000000)	91.3831422	27.4620516	90.3887749	0.0000000	0.0000000	0.0000000	0.0000000	0.0000000	0.0000000	0.0000000	0.0000000	0.0000000	0.0000000	0.0000000
23		PENETRATION-3/-2 (10.0000000, 1.0000000)	46.1649114	33.4449918	59.3882177	0.0000000	0.0000000	0.0000000	0.0000000	0.0000000	0.0000000	0.0000000	0.0000000	0.0000000	0.0000000	0.0000000
24		PENETRATION-3/-2-0 (1.0000000, 0.2000000)	46.1649114	33.4449918	59.3882177	0.0000000	0.0000000	0.0000000	0.0000000	0.0000000	0.0000000	0.0000000	0.0000000	0.0000000	0.0000000	0.0000000
25		PENETRATION-3/-2-1 (0.2000000, 0.1000000)	46.1649114	33.4449918	59.3882177	0.0000000	0.0000000	0.0000000	0.0000000	0.0000000	0.0000000	0.0000000	0.0000000	0.0000000	0.0000000	0.0000000
26		CLIP SIZE-3/-2 (13.0000000, 11.0000000)	77.7487119	52.3782799	24.3450887	0.0000000	0.0000000	0.0000000	0.0000000	0.0000000	0.0000000	0.0000000	0.0000000	0.0000000	0.0000000	0.0000000
27		CLIP SIZE-3/-2-0 (11.0000000, 9.0000000)	77.7487119	52.3782799	24.3450887	0.0000000	0.0000000	0.0000000	0.0000000	0.0000000	0.0000000	0.0000000	0.0000000	0.0000000	0.0000000	0.0000000
28		CLIP SIZE-3/-2-1 (9.0000000, 7.0000000)	77.7487119	52.3782799	24.3450887	0.0000000	0.0000000	0.0000000	0.0000000	0.0000000	0.0000000	0.0000000	0.0000000	0.0000000	0.0000000	0.0000000
29		MAX AMMO-3/-2 (10.0000000, 9.0000000)	76.7530113	41.9010727	63.7710203	13.4605152	0.0000000	0.0000000	0.0000000	0.0000000	0.0000000	0.0000000	0.0000000	0.0000000	0.0000000	0.0000000
30		MAX AMMO-3/-2-0 (9.0000000, 8.0000000)	76.7530113	41.9010727	63.7710203	13.4605152	0.0000000	0.0000000	0.0000000	0.0000000	0.0000000	0.0000000	0.0000000	0.0000000	0.0000000	0.0000000
31		RELLOAD-3/-2 (2.0000000, 1.0000000)	99.3832343	10.1861070	45.3899904	23.8017982	0.0000000	0.0000000	0.0000000	0.0000000	0.0000000	0.0000000	0.0000000	0.0000000	0.0000000	0.0000000
32		RELLOAD-3/-2-0 (1.0000000, 0.5000000)	99.3832343	10.1861070	45.3899904	23.8017982	0.0000000	0.0000000	0.0000000	0.0000000	0.0000000	0.0000000	0.0000000	0.0000000	0.0000000	0.0000000
33		RELLOAD-3/-2-1 (0.5000000, 0.2500000)	99.3832343	10.1861070	45.3899904	23.8017982	0.0000000	0.0000000	0.0000000	0.0000000	0.0000000	0.0000000	0.0000000	0.0000000	0.0000000	0.0000000
34		RECHARGE MAGAZINE-3/-2 (16.0000000, 15.0000000)	84.7724051	44.7724051	20.7047050	-78.0097787	0.0000000	0.0000000	0.0000000	0.0000000	0.0000000	0.0000000	0.0000000	0.0000000	0.0000000	0.0000000
35		RECHARGE MAGAZINE-3/-2-0 (15.0000000, 14.0000000)	84.7724051	44.7724051	20.7047050	-78.0097787	0.0000000	0.0000000	0.0000000	0.0000000	0.0000000	0.0000000	0.0000000	0.0000000	0.0000000	0.0000000
36		RECHARGE MAGAZINE-3/-2-1 (14.0000000, 13.0000000)	84.7724051	44.7724051	20.7047050	-78.0097787	0.0000000	0.0000000	0.0000000	0.0000000	0.0000000	0.0000000	0.0000000	0.0000000	0.0000000	0.0000000
37		ACCURATE RANGE-3/-2 (13.0000000, 12.0000000)	1.5502041	62.6495901	63.1043511	0.2117790	0.0000000	0.0000000	0.0000000	0.0000000	0.0000000	0.0000000	0.0000000	0.0000000	0.0000000	0.0000000
38		ACCURATE RANGE-3/-2-0 (12.0000000, 11.0000000)	1.5502041	62.6495901	63.1043511	0.2117790	0.0000000	0.0000000	0.0000000	0.0000000	0.0000000	0.0000000	0.0000000	0.0000000	0.0000000	0.0000000
39		ACCURATE RANGE-3/-2-1 (11.0000000, 10.0000000)	1.5502041	62.6495901	63.1043511	0.2117790	0.0000000	0.0000000	0.0000000	0.0000000	0.0000000	0.0000000	0.0000000	0.0000000	0.0000000	0.0000000
40		SPREAD-3/-2 (2.0000000, 0.6000000)	40.3825107	6.7414749	6.7414749	0.0000000	0.0000000	0.0000000	0.0000000	0.0000000	0.0000000	0.0000000	0.0000000	0.0000000	0.0000000	0.0000000
41		SPREAD-3/-2-0 (0.6000000, 0.2000000)	40.3825107	6.7414749	6.7414749	0.0000000	0.0000000	0.0000000	0.0000000	0.0000000	0.0000000	0.0000000	0.0000000	0.0000000	0.0000000	0.0000000
42		SPREAD-3/-2-1 (0.2000000, 0.1000000)	40.3825107	6.7414749	6.7414749	0.0000000	0.0000000	0.0000000	0.0000000	0.0000000	0.0000000	0.0000000	0.0000000	0.0000000	0.0000000	0.0000000
43		SPREAD-3/-2-2 (0.1000000, 0.05000														



Рисунок 30. График изменения межклusterных расстояний (режим 4.3.2.3)

3.8.4. Модель знаний системы «Эйдос» и нелокальные нейроны

Модель знаний системы «Эйдос» относится к **нечетким декларативным** гибридным моделям и объединяет в себе некоторые положительные особенности нейросетевой и фреймовой моделей представления знаний.

Классы в этой модели соответствуют нейронам и фреймам, а признаки рецепторам и шпациям (описательные шкалы – слотам).

От фреймовой модели представления знаний модель системы «Эйдос» отличается своей эффективной и простой программной реализацией, полученной за счет того, что разные фреймы отличаются друг от друга не набором слотов и шпаций, а лишь информацией в них. *Поэтому в системе «Эйдос» при увеличении числа фреймов само количество баз данных не увеличивается, а увеличивается лишь их размерность.* Это является очень важным свойством моделей системы «Эйдос», существенно облегчающим и упрощающим программную реализации.

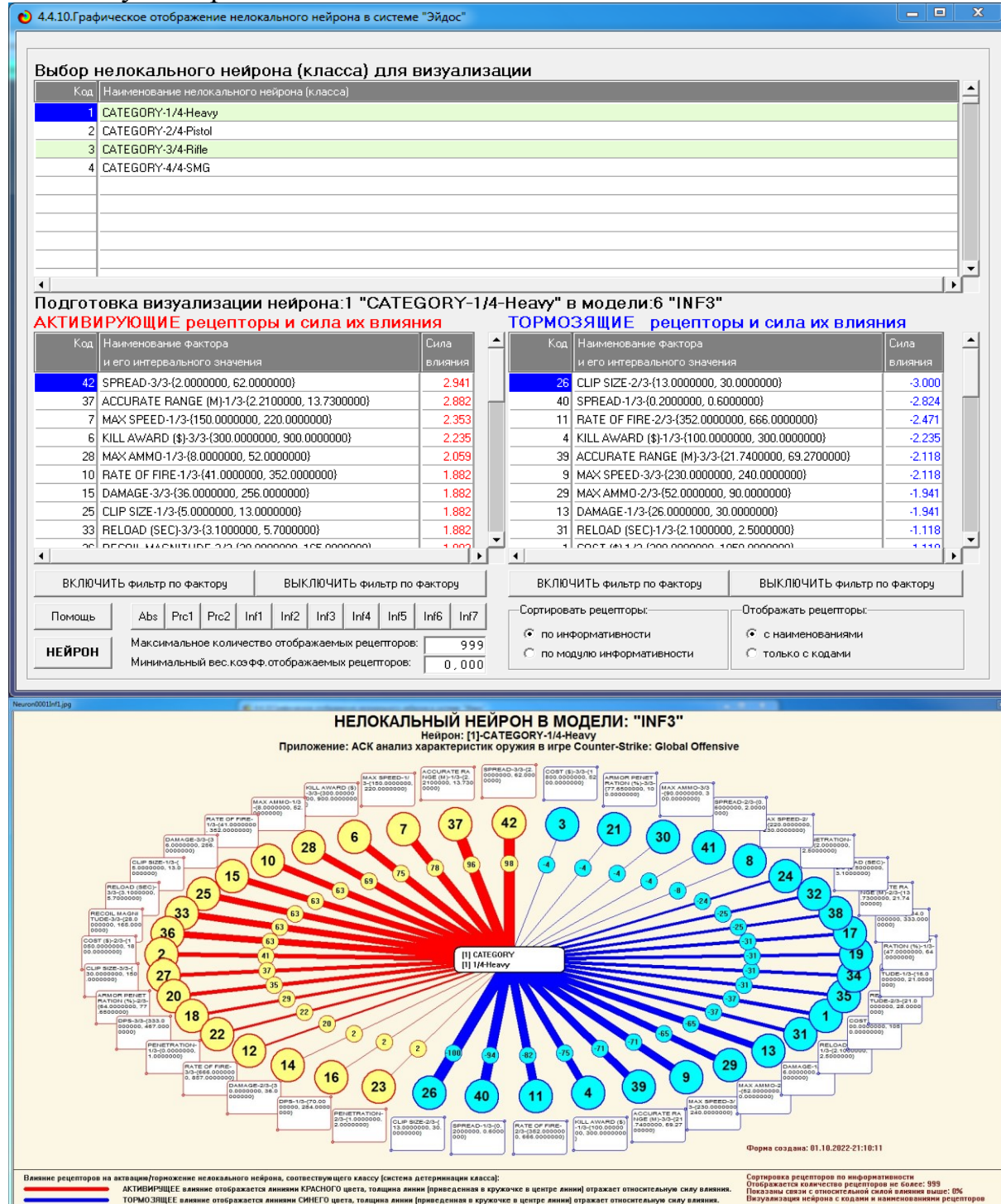
От нейросетевой модели представления знаний модель системы «Эйдос» отличается тем, что [20]:

1) весовые коэффициенты на рецепторах не подбираются итерационным методом обратного распространения ошибки, а рассчитываются методом прямого счета на основе хорошо теоретически обоснованной модели, основанной на **теории информации** (это напоминает байесовские сети);

2) весовые коэффициенты имеют хорошо теоретически обоснованную **содержательную интерпретацию**, основанную на теории информации;

3) нейросеть является **нелокальной**, как сейчас говорят «полносвязной».

В системе «Эйдос» нелокальные нейроны визуализируются (режим 4.4.10 системы «Эйдос») в виде специальных графических форм, на которых сила и направление влияния рецепторов нейрона на степень его активации/торможения, которые отображаются соответственно в форме цвета и толщины дендрита (рисунок 31). В форме управления визуализацией есть возможность задавать фильтры по факторам, которые надо визуализировать.



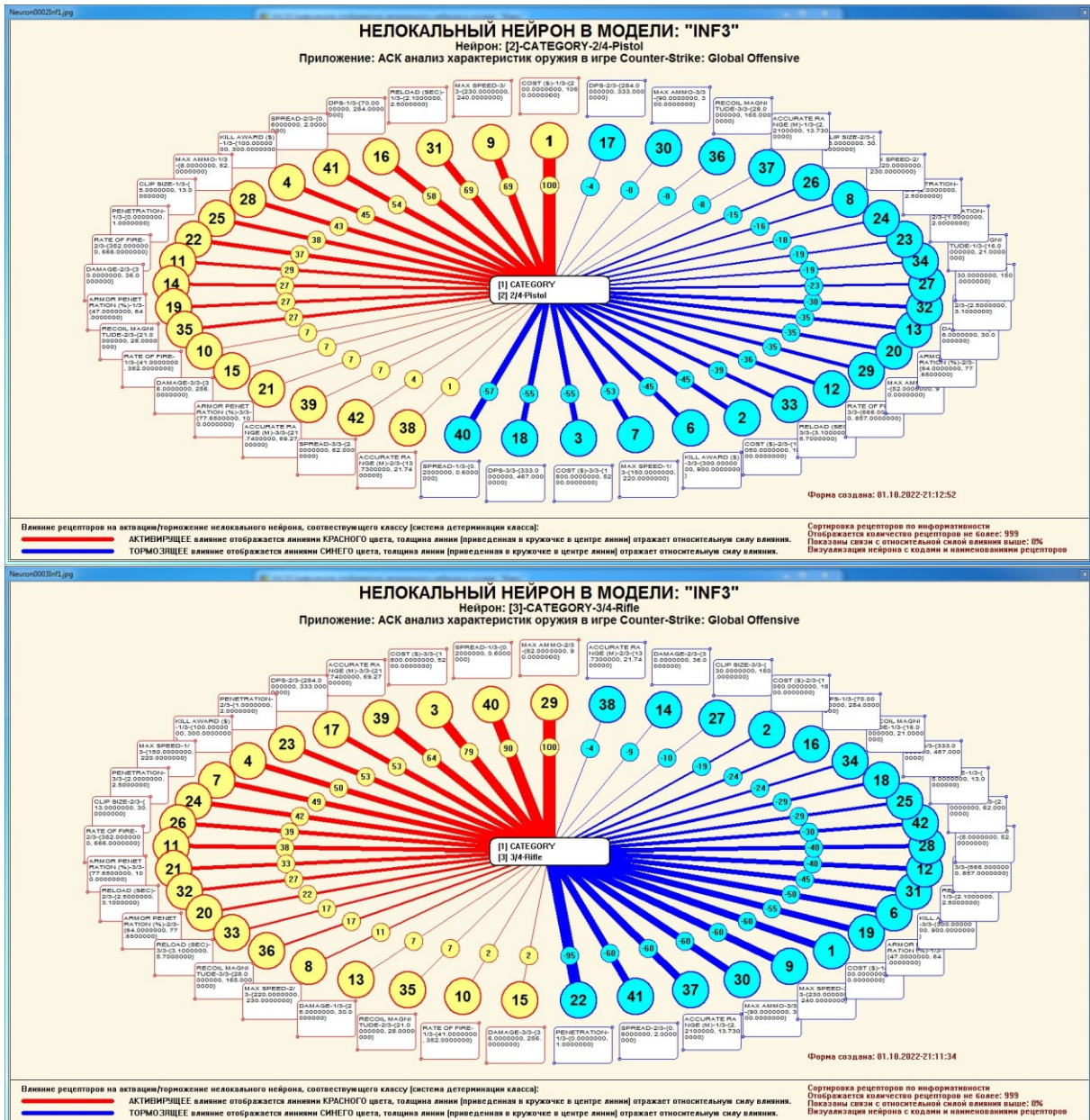


Рисунок 31. Примеры нелокальных нейронов, соответствующие классам

3.8.5. Нелокальная нейронная сеть

В системе «Эйдос» есть возможность построения моделей, соответствующих многослойным нейронным сетям [20].

Есть также возможность визуализации любого одного слоя нелокальной нейронной сети (режим 4.4.11 системы «Эйдос»).

Такой слой в наглядной форме отражает силу и направление влияния рецепторов ряда нейрона на степень их активации/торможения в форме цвета и толщины дендритов.

Нейроны на изображении слоя нейронной сети расположены слева направо в порядке убывания модуля суммарной силы их детерминации рецепторами, т.е. слева находятся результаты, наиболее жестко обусловленные действующими на них значениями факторов, а справа –

менее жестко обусловленные (рисунок 32). В форме управления визуализацией есть возможность задавать фильтры по факторам, которые надо визуализировать.

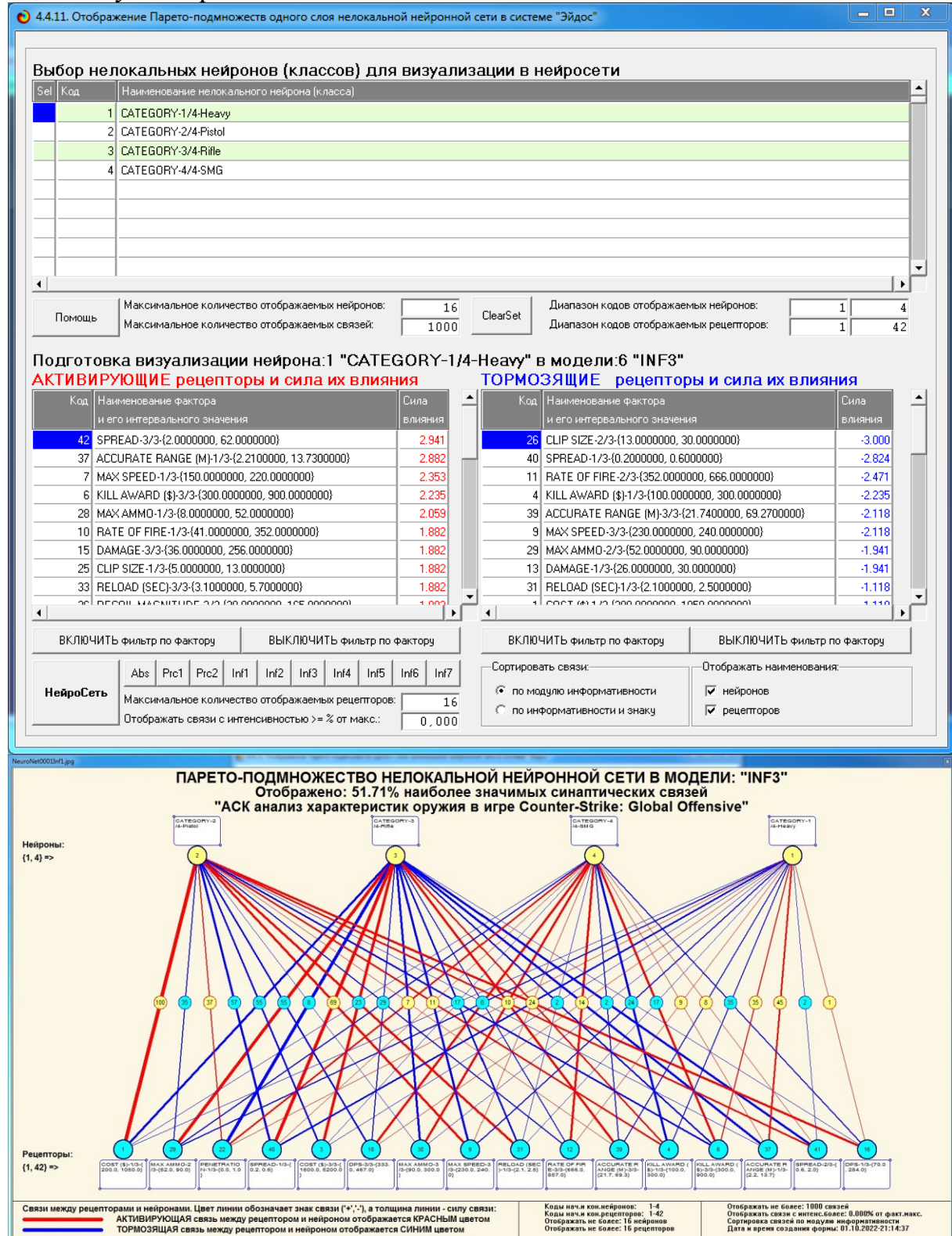


Рисунок 32. Нейронная сеть в СК-модели INF3

3.8.6. 3D-интегральные когнитивные карты

3d-интегральная когнитивная карта является отображением на одном рисунке когнитивной диаграммы классов (рисунок 24) вверху и когнитивной диаграммы значений факторов (рисунок 28) внизу и соединяющего их одного слоя нейронной сети (рисунок 32) (режим 4.4.12 системы «Эйдос») (рисунок 33):

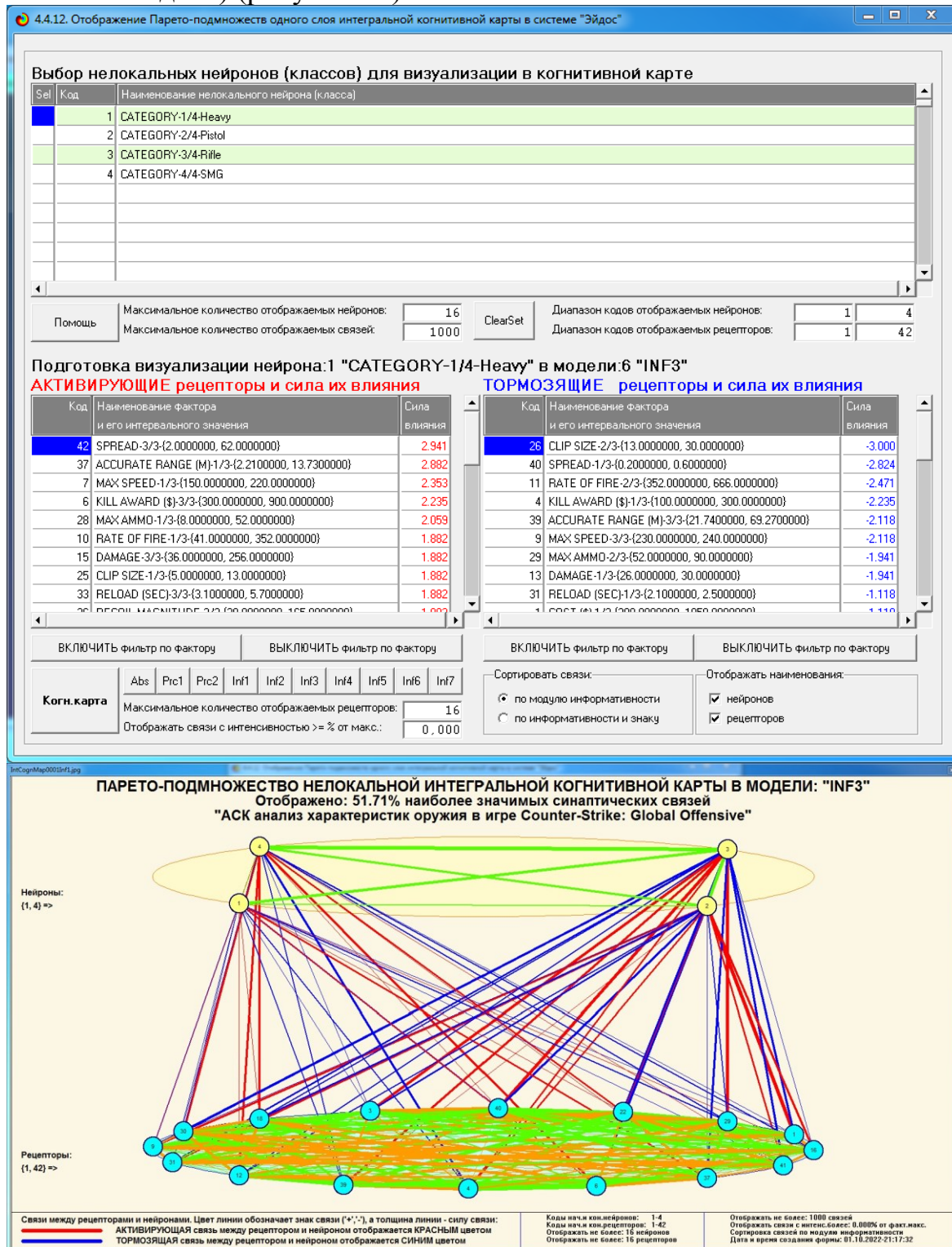


Рисунок 33. 3d-когнитивная диаграмма классов и признаков (режим 4.4.12)

3.8.7. 2D-интегральные когнитивные карты содержательного сравнения классов (опосредованные нечеткие правдоподобные рассуждения)

В 2d-когнитивных диаграммах сравнения классов по системе их детерминации видно, насколько сходны или насколько отличаются друг от друга классы по значениям обуславливающих их факторов.

Однако мы не видим из этой диаграммы, чем именно конкретно сходны и чем именно отличаются эти классы по значениям обуславливающих их факторов.

Это мы можем увидеть из когнитивной диаграммы содержательного сравнения классов, которая отображается в режиме 4.2.3 системы «Эйдос».

2D-интегральные когнитивные карты содержательного сравнения классов являются примерами опосредованных нечетких правдоподобных логических заключений, о которых может быть одним из первых писал Дьердь Пойа [23]. Впервые об автоматизированной реализации рассуждений подобного типа в интеллектуальной системе «Эйдос» написано в 2002 году в работе [2] на странице 521¹¹. Позже об этом писалось в работе [3]¹² и ряде других работ автора, поэтому здесь подробнее рассматривать этот вопрос нецелесообразно.

Пример опосредованных правдоподобных рассуждений.

Допустим нам известно, что один человек имеет голубые глаза, а другой черные волосы. Спрашивается, эти признаки вносят вклад в сходство или в различие этих двух людей? В АСК-анализе и системе «Эйдос» этот вопрос решается так. В модели на основе кластерно-конструктивного анализа классов и значений факторов (признаков) известно, насколько те или иные признаки сходны или отличаются по их влиянию на объект моделирования. Поэтому понятно, что человек с голубыми глазами вероятнее всего блондин, а брюнет, скорее всего, имеет темные глаза. Так что понятно, что эти признаки вносят вклад в различие этих двух людей.

Примеры экранной формы управления и нескольких 2d-интегральных когнитивных карт содержательного сравнения классов по их системе детерминации приведены ниже на рисунках 36. Всего системой в данной модели генерируется 324 подобных диаграмм, поэтому, естественно, все они не приводятся. Но пользователь при желании всегда может скачать и установить систему «Эйдос» с сайта разработчика: http://lc.kubagro.ru/aidos/_Aidos-X.htm, а затем в диспетчере приложений (режим 1.3) скачать и установить интеллектуальное облачное Эйдос-приложение №338 и получить в нем все выходные формы, как описано в данной статье.

¹¹ https://www.elibrary.ru/download/elibrary_18632909_64818704.pdf, Таблица 7. 17, стр. 521

¹² <http://ej.kubagro.ru/2013/07/pdf/15.pdf>, стр.44.

4.2.3. Когнитивные диаграммы классов. Задание параметров генерации выходных форм

Выбор классов для когнитивной диаграммы

Задайте коды двух классов, для левого и правого информационных портретов когнитивной диаграммы по очереди выбирая их курсором в таблице и кликая на соответствующей кнопке ниже нее

Код	Наименование класса
0	ВСЕ КЛАССЫ
1	CATEGORY-1/4-Heavy
2	CATEGORY-2/4-Pistol
3	CATEGORY-3/4-Rifle
4	CATEGORY-4/4-SMG

Выбор кода класса левого инф.портрета Выбор кода класса правого инф.портрета

Выбор способа фильтрации признаков в информационных портретах когнитивной диаграммы

Задайте коды двух описательных шкал, для левого и правого информационных портретов когнитивной диаграммы по очереди выбирая их курсором в таблице и кликая на соответствующей кнопке ниже нее

Код	Наименование описательной шкалы	Минимальный код градации	Максимальный код градации
0	ВСЕ ОПИСАТЕЛЬНЫЕ ШКАЛ	1	42
1	COST (\$)	1	3
2	KILL AWARD (\$)	4	6
3	MAX SPEED	7	9
4	RATE OF FIRE	10	12
5	DAMAGE	13	15

Выбор кода описательной шкалы левого инф.портрета Выбор кода описательной шкалы правого инф.портрета

Задайте модели, в которых проводить расчеты когнитивных диаграмм:

Abs Prc1 Prc2 Inf1 Inf2 Inf3 Inf4 Inf5 Inf6 Inf7

Задайте max количество отображаемых связей: Помощь

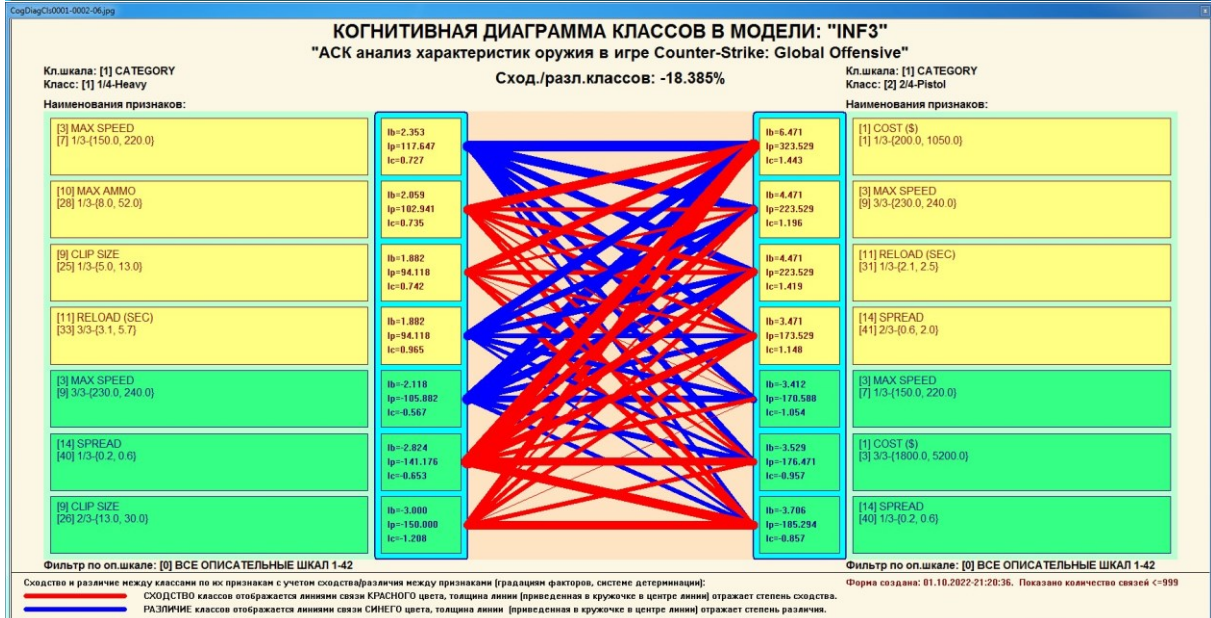
В диалоге заданы следующие параметры расчета когнитивных диаграмм:

Класс для левого инф.портрета: [0] ВСЕ КЛАССЫ
 Класс для правого инф.портрета: [0] ВСЕ КЛАССЫ
 Описат.шкала для левого инф.портрета: [0] ВСЕ ОПИСАТЕЛЬНЫЕ ШКАЛ
 Описат.шкала для правого инф.портрета: [0] ВСЕ ОПИСАТЕЛЬНЫЕ ШКАЛ
 Модели, заданные для расчета: Abs, Prc1, Prc2, Inf1, Inf2, Inf3, Inf4, Inf5, Inf6, Inf7

Задайте режим вывода когнитивных диаграмм:

Показать все диаграммы с остановкой
 Записать все диаграммы без показа

Ok Cancel



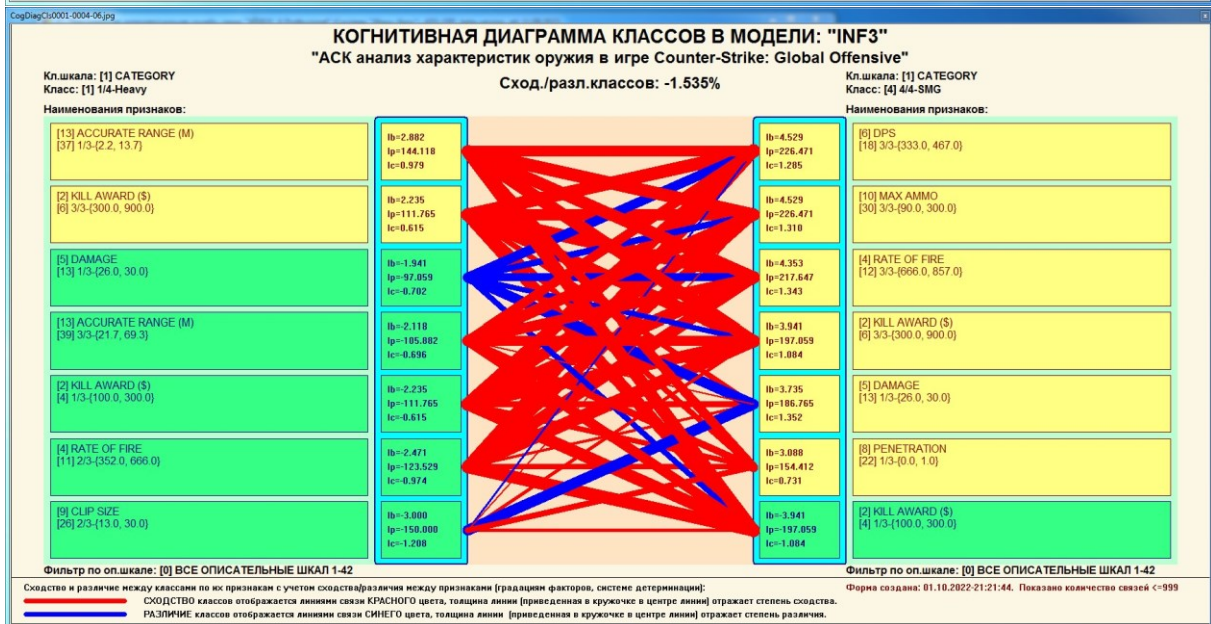
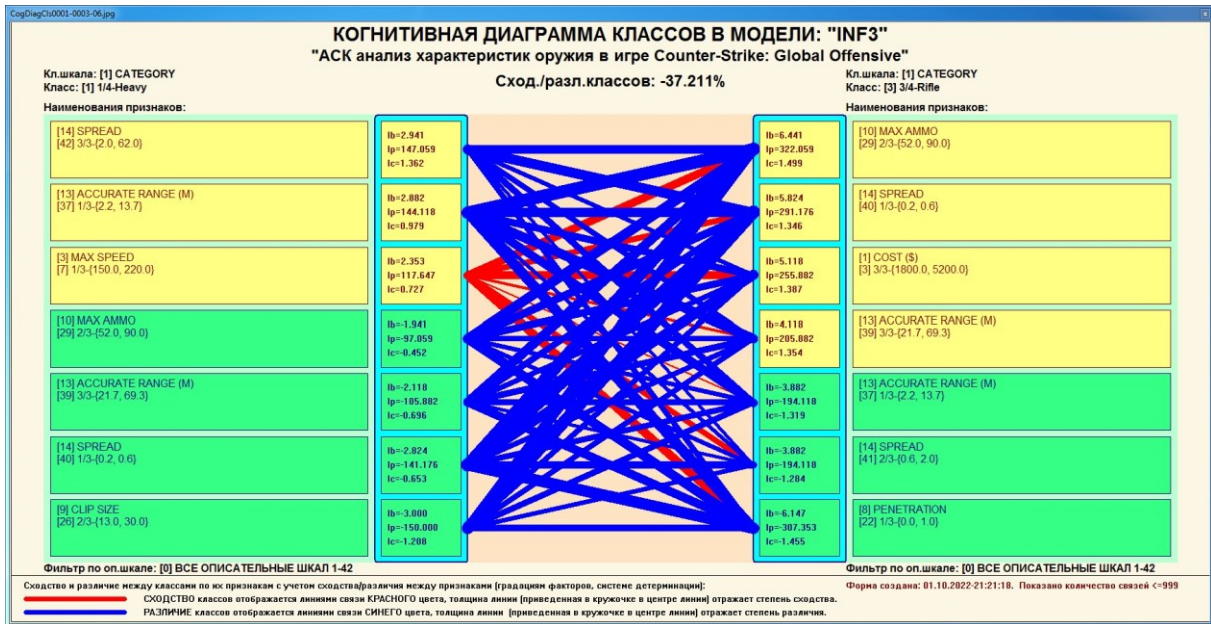


Рисунок 34. Примеры 2d-интегральных когнитивных карт содержательного сравнения классов по их системе детерминации в СК-модели INF3

3.8.8. 2D-интегральные когнитивные карты содержательного сравнения значений факторов (опосредованные нечеткие правдоподобные рассуждения)

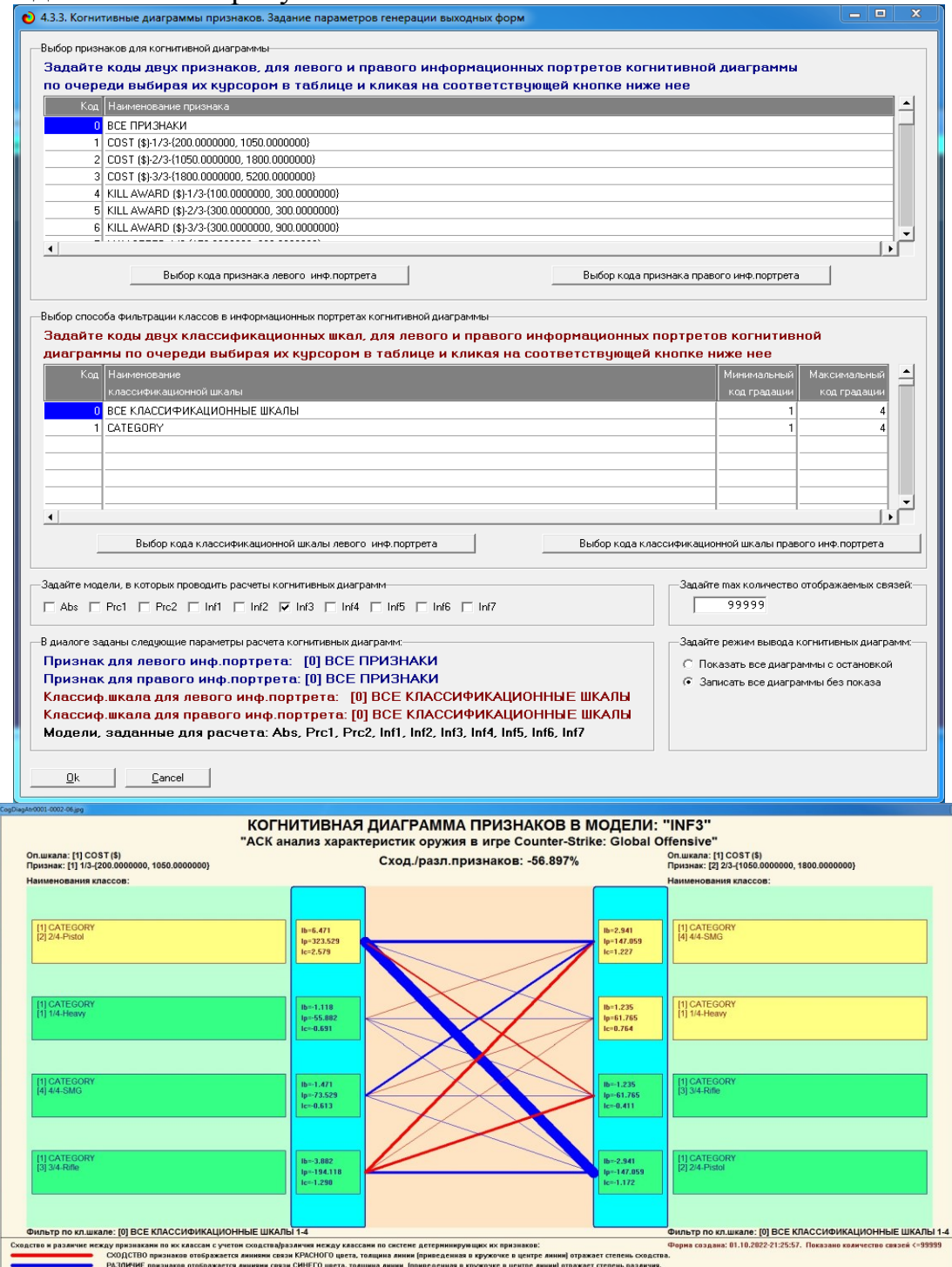
Из 2d-когнитивных диаграмм сравнения значений факторов по их влиянию на объект моделирования, т.е. на его переходы в состояния, соответствующие классам вполне понятно, насколько сходны или отличаются любые два значения факторов по их смыслу.

Напомним, что смысл, согласно концепции смысла Шенка-Абельсона, используемой в ACK-анализе, состоит в знании причин и последствий [24].

Однако из этой диаграммы не видно, чем именно конкретно сходны или отличаются значения факторов по их смыслу.

Это видно из когнитивных диаграмм, которые можно получить в режиме 4.3.3 системы «Эйдос».

Примеры экранной формы управления и нескольких 2d-интегральных когнитивных карт содержательного сравнения значений факторов по их силе и направлению их влияния на переход объекта моделирования в будущие состояния, соответствующие классам, приведены ниже на рисунках 35.



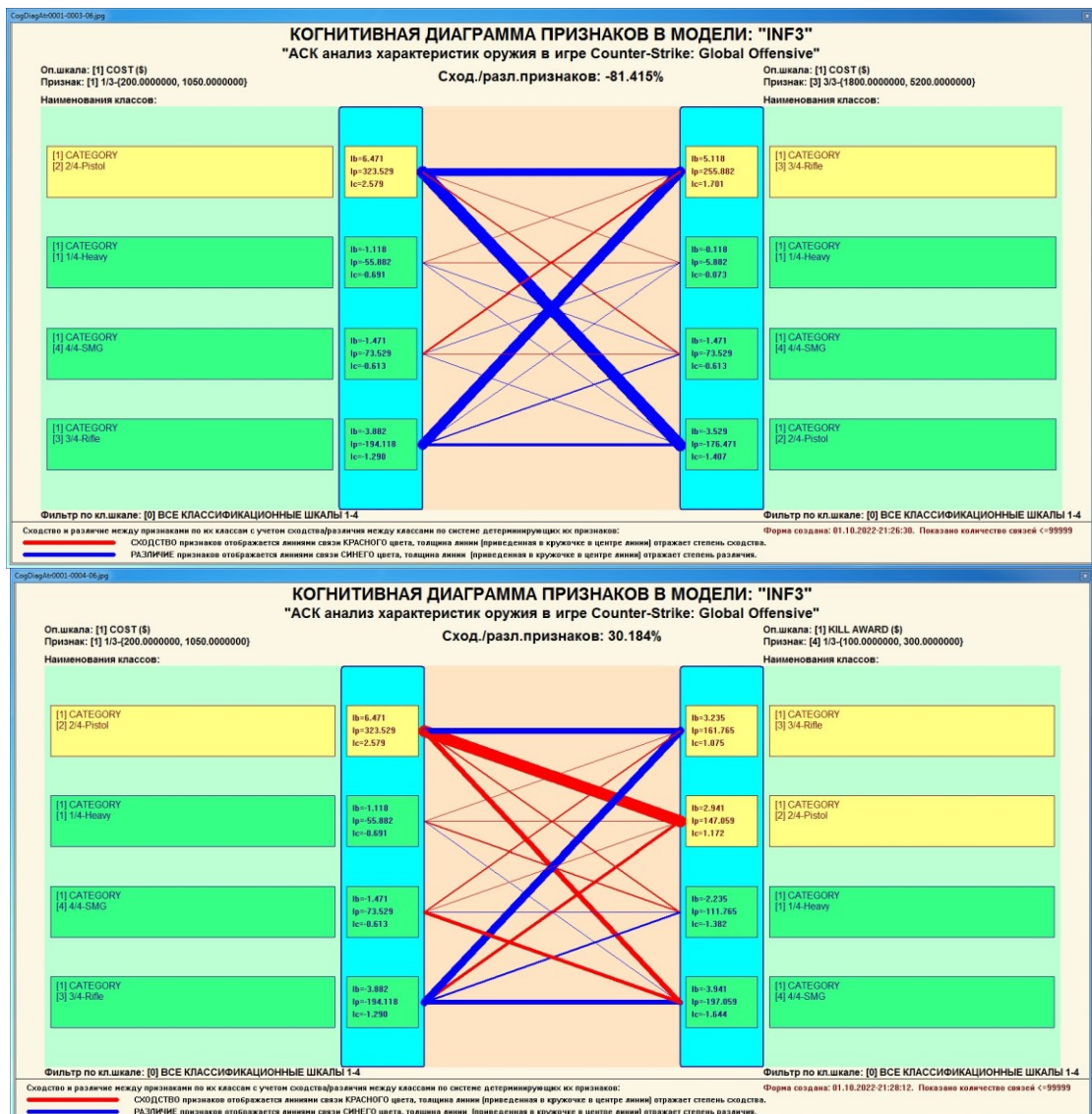


Рисунок 35. Примеры 2d-интегральных когнитивных карт содержательного сравнения значений факторов по их влиянию на переход объекта моделирования в состояния, соответствующие классам в СК-модели INF3

Всего системой в данной модели генерируется множество подобных диаграмм, поэтому, естественно, все они не приводятся. Но пользователь при желании всегда может скачать и установить систему «Эйдос» с сайта разработчика: http://lc.kubagro.ru/aidos/_Aidos-X.htm, а затем в диспетчере приложений (режим 1.3) скачать и установить интеллектуальное облачное Эйдос-приложение №338 и получить в нем все выходные формы, как описано в данной статье.

3.8.9. Когнитивные функции

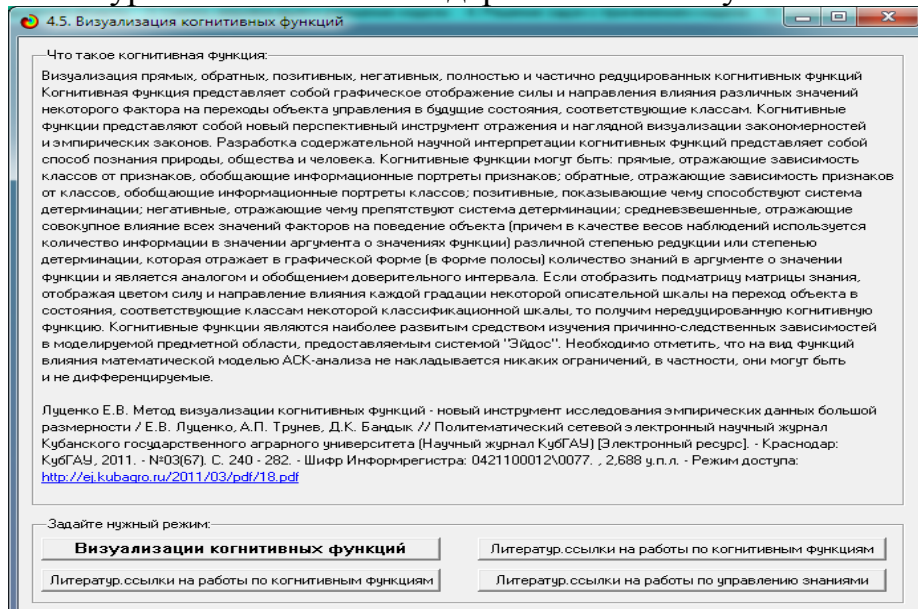
Когнитивные функции являются обобщением классического математического понятия функции на основе системной теории информации и предложены Е.В.Луценко в 2005 году [25, 26].

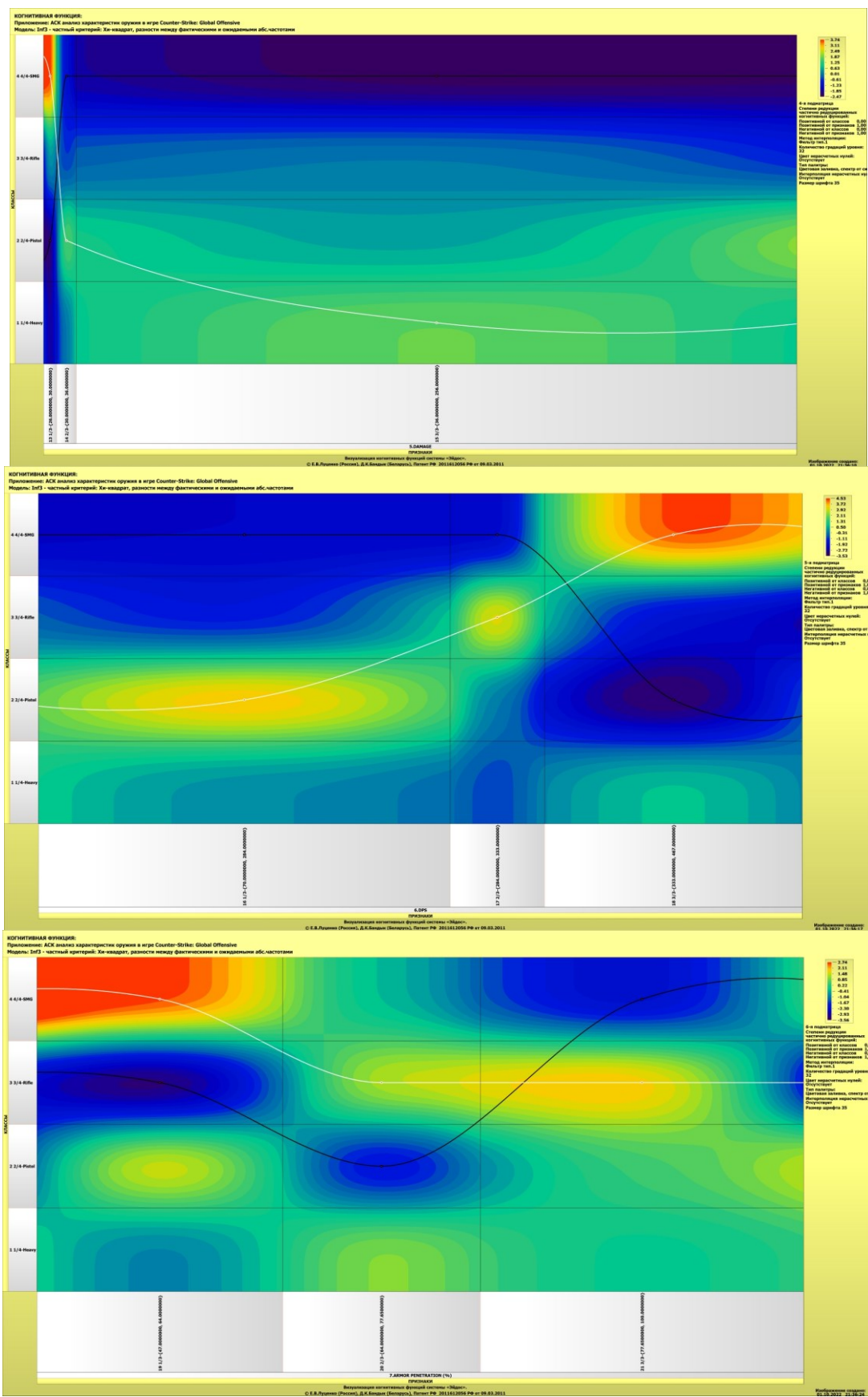
Когнитивные функции отображают, какое количество информации содержится в градациях описательной шкалы о переходе объекта моделирования в состояния, соответствующие градациям классификационной шкалы. При этом в статистических и системно-когнитивных моделях в каждой градации описательной шкалы содержится информация обо всех градациях классификационной шкалы, т.е. ***каждому значению аргумента соответствуют все значения функции, но соответствуют в разной степени, причем как положительной, так и отрицательной, которая отображается цветом.***

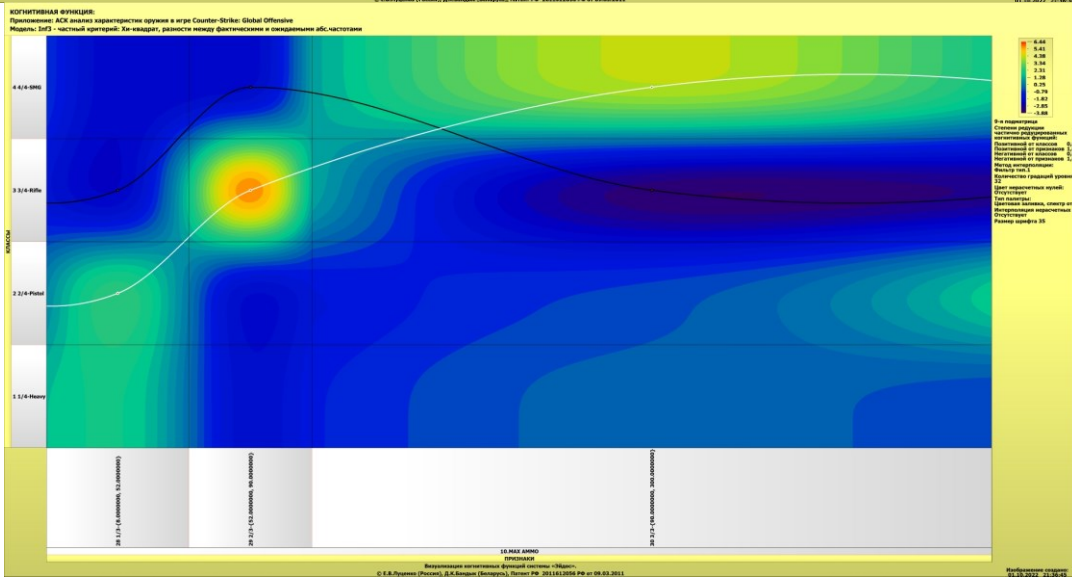
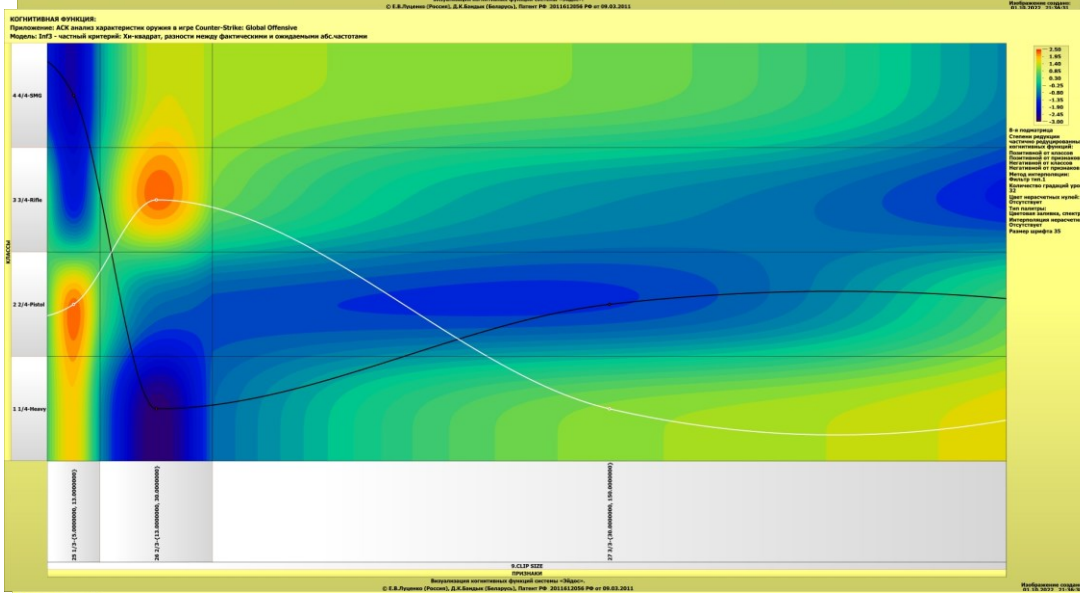
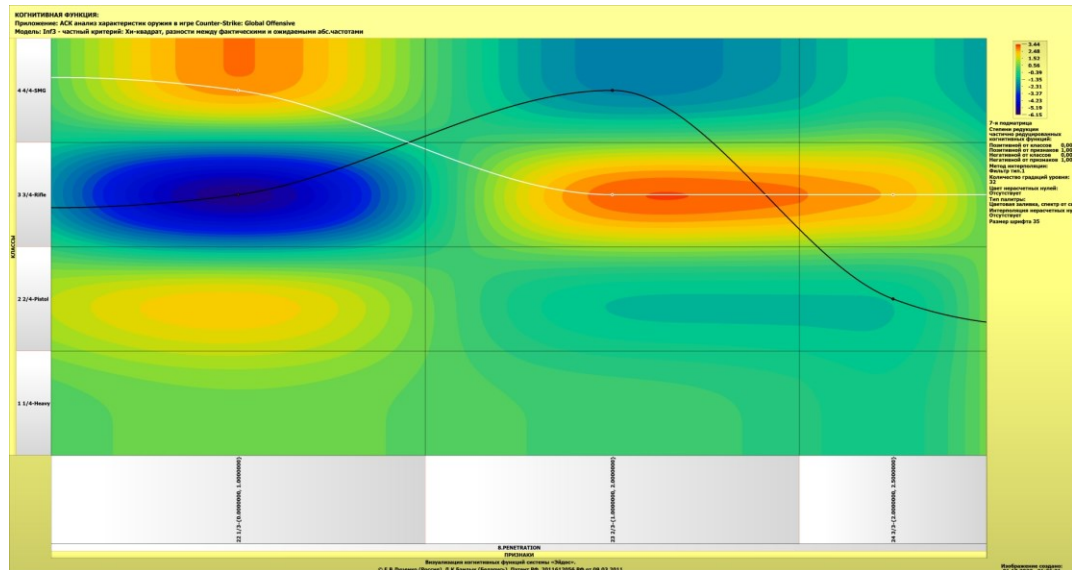
Когнитивные функции являются одним из наиболее мощных и наглядных средств когнитивной графики, имеющихся в системе «Эйдос», позволяющих отобразить силу и направление влияния каждого значения фактора на переход объекта моделирования в каждое из будущих состояний.

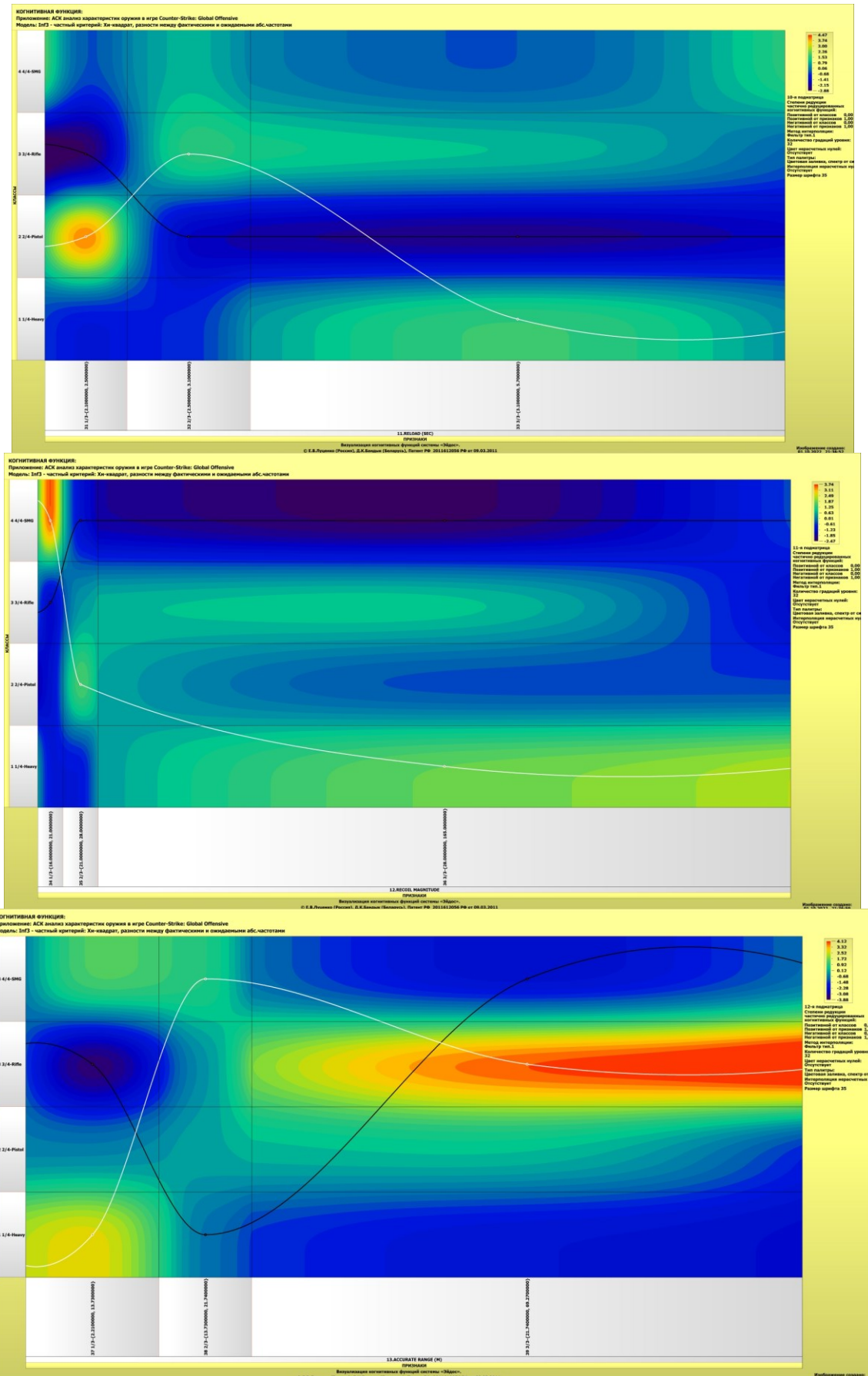
В системе «Эйдос» когнитивные функции отображаются в режиме 4.5 (рисунки 36). Первая экранная форма данного режима представляет собой краткий хелп, поясняющий смысл понятия «Когнитивная функция», а также позволяющий выйти на экранную форму системы «Эйдос» с действующими гиперссылками на работы по когнитивным функциям, а также страницы сайта автора со списком этих работ и работ автора по выявлению, представлению и использованию знаний, логике и методологии научного познания.

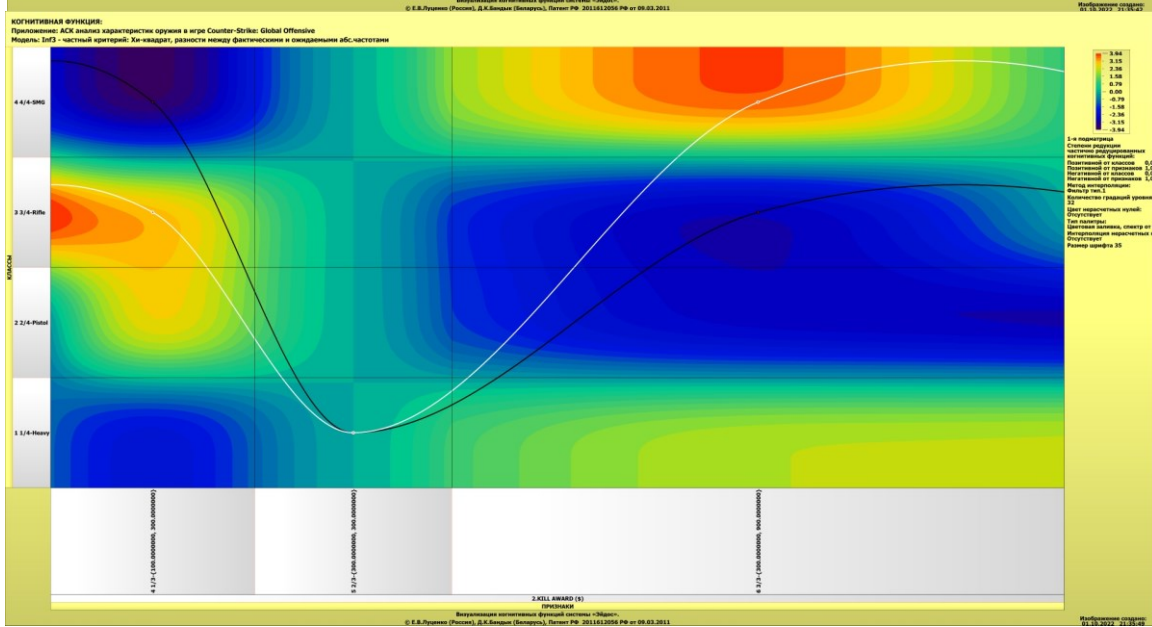
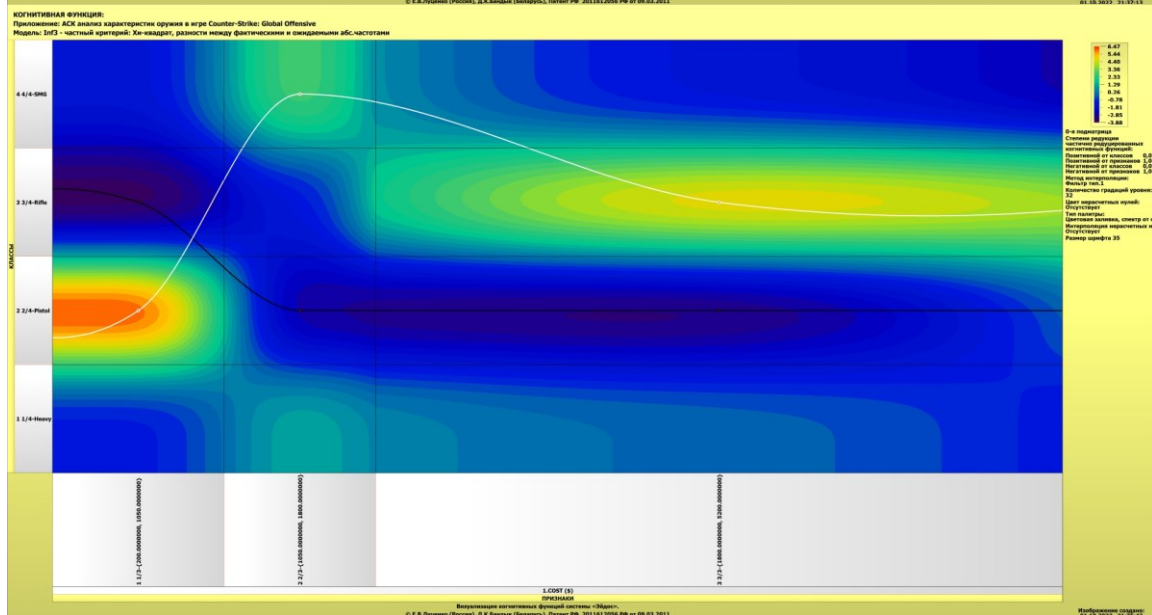
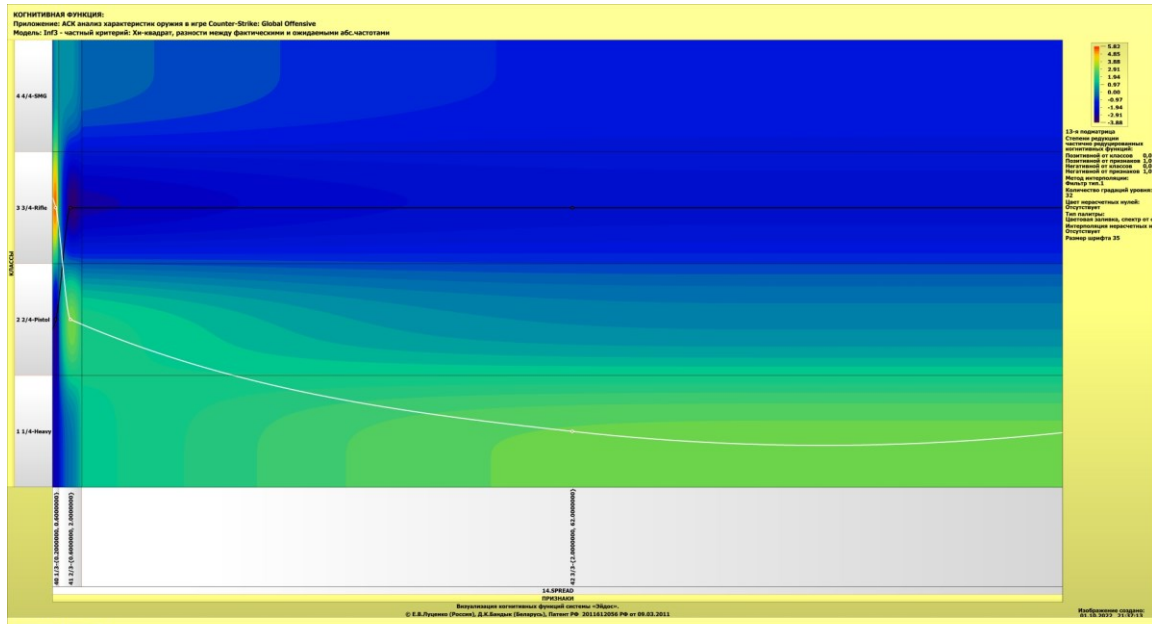
Необходимо отметить, что модели системы «Эйдос» – это ***феноменологические*** модели, отражающие ***эмпирические*** закономерности в фактах обучающей выборки, т.е. они отражают причинно-следственные связи, но не отражают ***механизма детерминации***, а только сам факт и характер детерминации [21]. Содержательное объяснение этих эмпирических закономерностей формулируется уже экспертами на теоретическом уровне познания в содержательных научных законах [22].











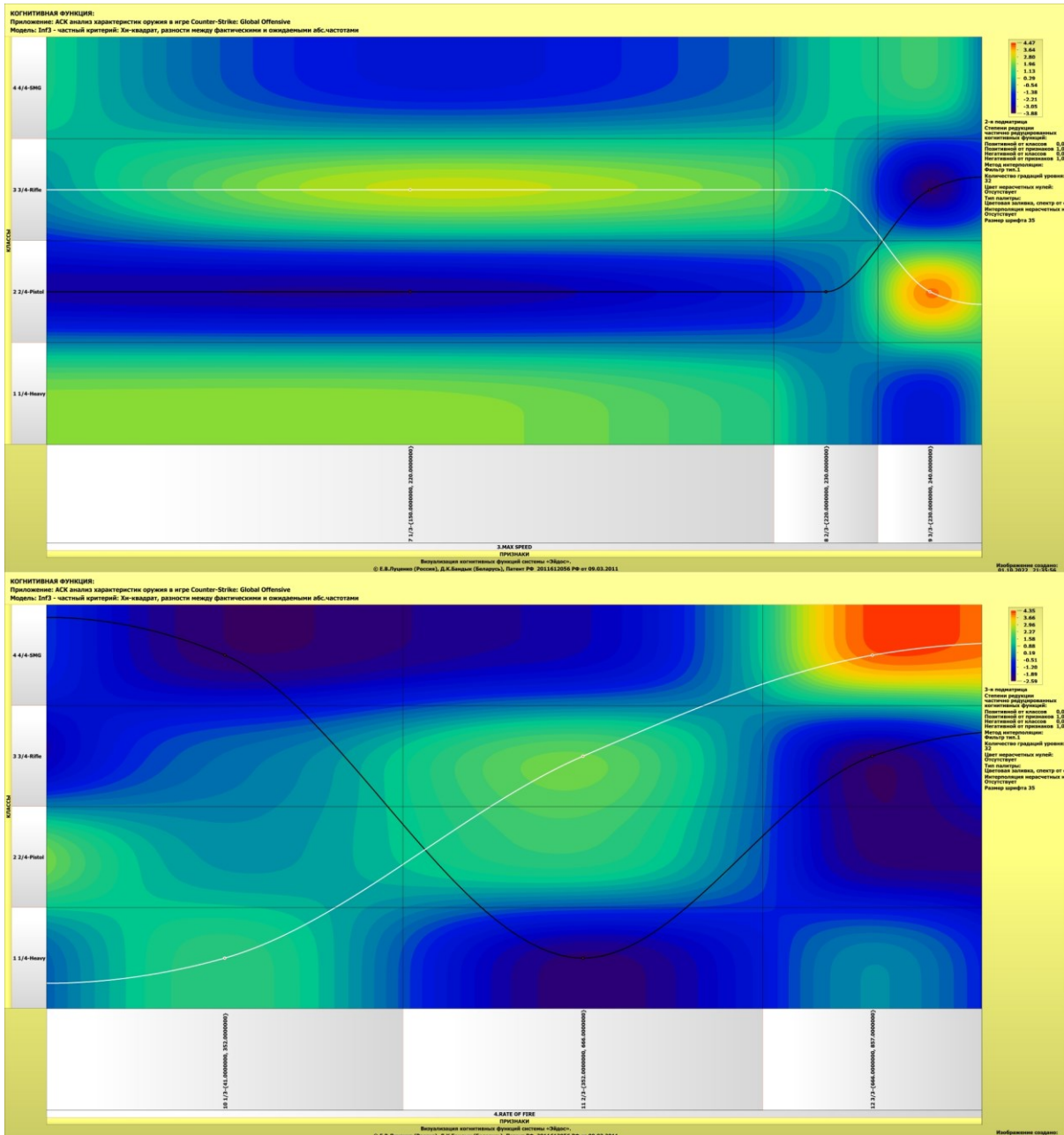


Рисунок 36. Примеры когнитивных функций в СК-модели INF3

Как уже отмечалось содержательное объяснение когнитивных функций на теоретическом уровне познания – это дело специалистов в той предметной области, к которой относится предмет моделирования [22].

3.8.10. Значимость описательных шкал и их градаций

В АСК-анализе все факторы рассматриваются с одной единственной точки зрения: сколько информации содержится в их значениях о переходе объекта моделирования и управления, на который они действуют, в определенное будущее состояние, описываемое классом (градация классификационной шкалы), и при этом сила и направление влияния всех

значений факторов на объект измеряется в одних общих для всех факторов единицах измерения: единицах количества информации [6].

Значимость (селективная сила) градаций описательных шкал в АСК-анализе – это вариабельность частных критериев в статистических и системно-когнитивных моделях. Например, в модели Inf3, это вариабельность информативностей (режим 3.7.5 системы «Эйдос»).

Значимость всей описательной шкалы является средним от степени значимости ее градаций (режим 3.7.4 системы «Эйдос»).

Если рассортировать все градации факторов (признаки) в порядке убывания селективной силы и получить сумму селективной силы системы значений факторов нарастающим итогом, то получим Парето-кривую.

На рисунке 37 приведена Парето-кривая силы влияния значений факторов на поведение объекта моделирования в СК-модели INF3:

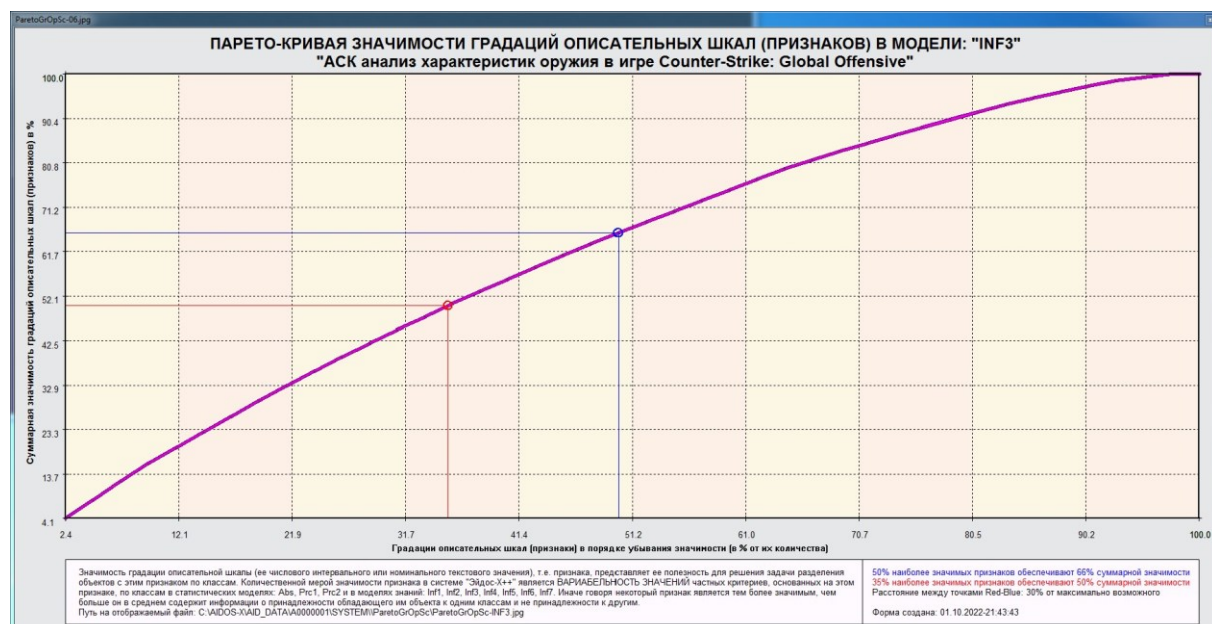


Рисунок 37. Парето-кривая силы влияния значений факторов на поведение объекта моделирования в СК-модели INF3

Из рисунка 37 видно, что примерно 35% наиболее ценных значений факторов обеспечивает половину суммарного влияния всех значений факторов, а половина наиболее ценных значений факторов обеспечивает 66% суммарного влияния.

В таблице 14 представлены исходные данные для построения кумулятивной кривой на рисунке 37. Из таблицы 14 видно, какую долю от суммарного влияния на переход объекта моделирования в будущие состояния, соответствующие классам, имеет каждое значение каждого фактора.

Например, видно, что значение фактора: «COST (\$) 1/3» имеет влияние на объект моделирования в 6 раза выше, чем значение фактора: «ACCURATE RANGE (м) 2/3». Это значит, что сила влияния разных

значений факторов на объект моделирования довольно существенно отличается друг от друга.

Таблица 14 – Сила влияния значений факторов на поведение объекта моделирования в СК-модели INF3

NUM	NUM_PRC	KOD_ATR	NAME_ATR	KOD_OPSC	ZNACH_ATR	ZN_ATRNIT	ZNACH_PRC	ZN_PRCNIT
1	2,3809524	1	COST (\$)-1/3-(200.0000000, 1050.0000000)	1	4,4852700	4,4852700	4,1329159	4,1329159
2	4,7619048	40	SPREAD-1/3-{0.2000000, 0.6000000}	14	4,3250298	8,8102998	3,9852639	8,1181798
3	7,1428571	29	MAX AMMO-2/3-[52.0000000, 90.0000000]	10	4,2966015	13,1069013	3,9590689	12,0772487
4	9,5238095	22	PENETRATION-1/3-[0.0000000, 1.0000000]	8	4,2252741	17,3321754	3,8933448	15,9705935
5	11,9047619	9	MAX SPEED-3/3-[230.0000000, 240.0000000]	3	3,7364133	21,0685887	3,4428880	19,4134814
6	14,2857143	3	COST (\$)-3/3-[1800.0000000, 5200.0000000]	1	3,6888810	24,7574697	3,3990897	22,8125711
7	16,6666667	4	KILL AWARD (\$)-1/3-{100.0000000, 300.0000000}	2	3,6353385	28,3928082	3,3497534	26,1623245
8	19,0476190	6	KILL AWARD (\$)-3/3-[300.0000000, 900.0000000]	2	3,6353385	32,0281467	3,3497534	29,5120779
9	21,4285714	18	DPS-3/3-[333.0000000, 467.0000000]	6	3,5258152	35,5539619	3,2488340	32,7609120
10	23,8095238	30	MAX AMMO-3/3-[90.0000000, 300.0000000]	10	3,4584367	39,0123986	3,1867487	35,9476606
11	26,1904762	12	RATE OF FIRE-3/3-[666.0000000, 857.0000000]	4	3,2418828	42,2542814	2,9872068	38,9348674
12	28,5714286	7	MAX SPEED-1/3-[150.0000000, 220.0000000]	3	3,2373434	45,4916248	2,9830240	41,9178914
13	30,9523810	31	RELOAD (SEC)-1/3-[2.1000000, 2.5000000]	11	3,1498521	48,6414769	2,9024059	44,8202973
14	33,3333333	39	ACCURATE RANGE (M)-3/3-[21.7400000, 69.2700000]	13	3,0421871	51,6836640	2,8031988	47,6234961
15	35,7142857	41	SPREAD-2/3-{0.6000000, 2.0000000}	14	3,0227892	54,7064532	2,7853248	50,4088209
16	38,0952381	37	ACCURATE RANGE (M)-1/3-[2.2100000, 13.7300000]	13	2,9439203	57,6503735	2,7126517	53,1214726
17	40,4761905	19	ARMOR PENETRATION (%) -1/3-[47.0000000, 64.0000000]	7	2,8370794	60,4874529	2,6142040	55,7356765
18	42,8571429	28	MAX AMMO-1/3-[8.0000000, 52.0000000]	10	2,8023100	63,2897629	2,5821660	58,3178425
19	45,2380952	13	DAMAGE-1/3-[26.0000000, 30.0000000]	5	2,7635584	66,0533213	2,5464586	60,8643012
20	47,6190476	16	DPS-1/3-[70.0000000, 284.0000000]	6	2,6916720	68,7449933	2,4802195	63,3445207
21	50,0000000	2	COST (\$)-2/3-[1050.0000000, 1800.0000000]	1	2,6046715	71,3496648	2,4000536	65,7445742
22	52,3809524	11	RATE OF FIRE-2/3-[352.0000000, 666.0000000]	4	2,5360150	73,8856798	2,3367906	68,0813648
23	54,7619048	25	CLIP SIZE-1/3-[5.0000000, 13.0000000]	9	2,5360150	76,4216948	2,3367906	70,4181555
24	57,1428571	34	RECOIL MAGNITUDE-1/3-[16.0000000, 21.0000000]	12	2,5029394	78,9246342	2,3063134	72,7244688
25	59,5238095	23	PENETRATION-2/3-[1.0000000, 2.0000000]	8	2,4832774	81,4079116	2,2881960	75,0126648
26	61,9047619	26	CLIP SIZE-2/3-[13.0000000, 30.0000000]	9	2,4832774	83,8911890	2,2881960	77,3008608
27	64,2857143	17	DPS-2/3-[284.0000000, 333.0000000]	6	2,4434787	86,3346677	2,2515238	79,5523845
28	66,6666667	42	SPREAD-3/3-[2.0000000, 62.0000000]	14	2,1602469	88,4949146	1,9905421	81,5429266
29	69,0476190	33	RELOAD (SEC)-3/3-[3.1000000, 5.7000000]	11	1,9503645	90,4452791	1,7971477	83,3400743
30	71,4285714	36	RECOIL MAGNITUDE-3/3-[28.0000000, 165.0000000]	12	1,9301529	92,3754320	1,7785239	85,1185982
31	73,8095238	21	ARMOR PENETRATION (%) -3/3-[77.6500000, 100.0000000]	7	1,8994323	94,2748643	1,7502166	86,8688148
32	76,1904762	10	RATE OF FIRE-1/3-[41.0000000, 352.0000000]	4	1,8149704	96,0898347	1,6723899	88,5412046
33	78,5714286	15	DAMAGE-3/3-[36.0000000, 256.0000000]	5	1,8149704	97,9048051	1,6723899	90,2135945
34	80,9523810	24	PENETRATION-3/3-[2.0000000, 2.5000000]	8	1,8149705	99,7197756	1,6723900	91,8859844
35	83,3333333	32	RELOAD (SEC)-2/3-[2.5000000, 3.1000000]	11	1,6686263	101,3884019	1,5375423	93,4235267
36	85,7142857	20	ARMOR PENETRATION (%) -2/3-[64.0000000, 77.6500000]	7	1,6597897	103,0481916	1,5293999	94,9529266
37	88,0952381	35	RECOIL MAGNITUDE-2/3-[21.0000000, 28.0000000]	12	1,3897383	104,4379299	1,2805632	96,2334897
38	90,4761905	14	DAMAGE-2/3-[30.0000000, 36.0000000]	5	1,2947859	105,7327158	1,1930700	97,4265598
39	92,8571429	27	CLIP SIZE-3/3-[30.0000000, 150.0000000]	9	1,2563564	106,9890722	1,1576595	98,5842193
40	95,2380952	8	MAX SPEED-2/3-[220.0000000, 230.0000000]	3	0,8224783	107,8115505	0,7578660	99,3420853
41	97,6190476	38	ACCURATE RANGE (M)-2/3-[13.7300000, 21.7400000]	13	0,7140056	108,5255561	0,6579147	100,0000000
42	100,0000000	5	KILL AWARD (\$)-2/3-[300.0000000, 300.0000000]	2	0,0000000	108,5255561	0,0000000	100,0000000

На экранной форме рисунка 38 приведены имена Excel-файлов с информацией о силе и направлении влияния значений факторов в разных моделях:

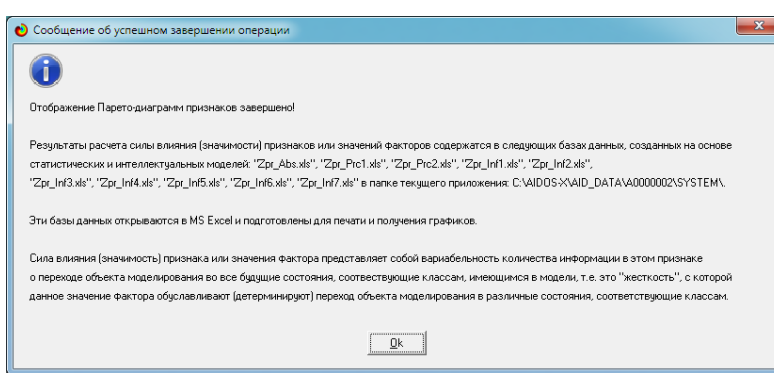


Рисунок 38. Имена Excel-файлов с информацией о силе влияния значений факторов в разных моделях

На экранной форме рисунка 39 приведены имена Excel-файлов с информацией о силе влияния факторов в разных моделях.

В таблице 15 приведена информация о силе влияния факторов на переход объекта моделирования в различные будущие состояния, соответствующие классам, в системно-когнитивной модели INF3. Из таблицы 15 видно, что почти 10% суммарного влияния на поведение объекта моделирования обусловлено стоимостью оружия, а отдача оружия оказывает сравнительно меньшее влияние: около 5%.

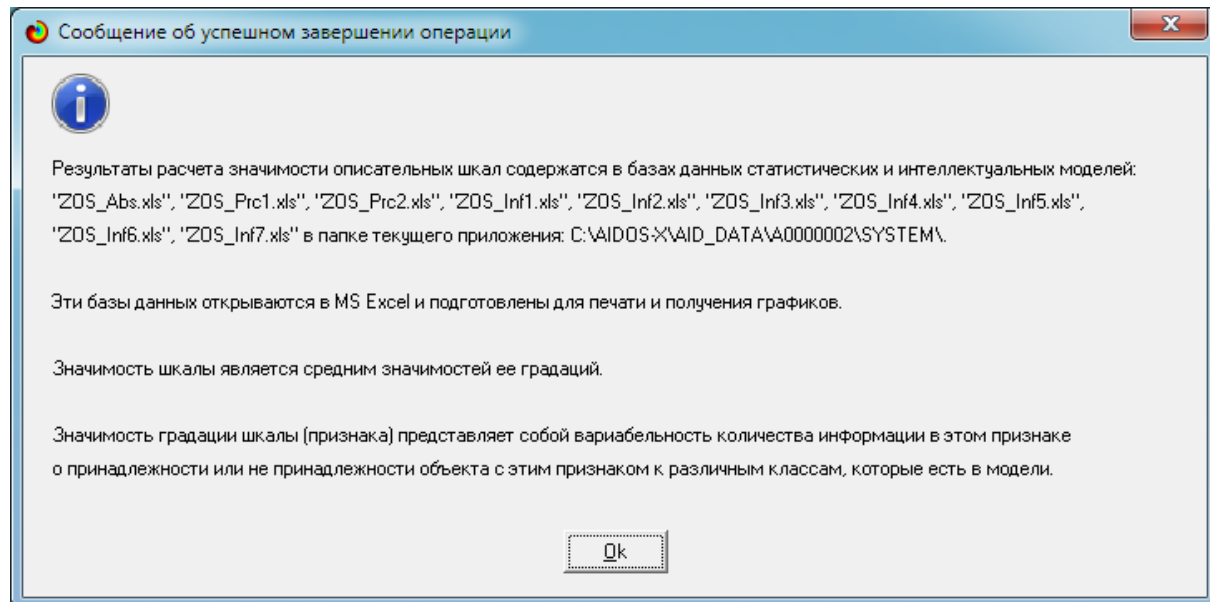


Рисунок 39. имена Excel-файлов с информацией о силе влияния факторов в разных моделях

Таблица 15 – Сила влияния факторов на поведение объекта моделирования в системно-когнитивной модели INF3

NUM	NUM_PRC	KOD_OPSC	NAME_OPSC	N_GROPS	ZNACH_OS	ZN_OSNIT	ZNACH_PRC	ZN_PRCNIT
1	7,1428571	1	COST (\$)	3	3,5929408	3,5929408	9,9320591	9,9320591
2	14,2857143	10	MAX AMMO	3	3,5191161	7,1120569	9,7279836	19,6600427
3	21,4285714	14	SPREAD	3	3,1693553	10,2814122	8,7611308	28,4211735
4	28,5714286	6	DPS	3	2,8869886	13,1684008	7,9805772	36,4017507
5	35,7142857	8	PENETRATION	3	2,8411740	16,0095748	7,8539307	44,2556814
6	42,8571429	3	MAX SPEED	3	2,5987450	18,6083198	7,1837780	51,4394594
7	50,0000000	4	RATE OF FIRE	3	2,5309561	21,1392759	6,9963874	58,4358467
8	57,1428571	2	KILL AWARD (\$)	3	2,4235590	23,5628349	6,6995068	65,1353535
9	64,2857143	11	RELOAD (SEC)	3	2,2562810	25,8191159	6,2370959	71,3724494
10	71,4285714	13	ACCURATE RANGE (M)	3	2,2333710	28,0524869	6,1737652	77,5462146
11	78,5714286	7	ARMOR PENETRATION (%)	3	2,1321005	30,1845874	5,8938205	83,4400351
12	85,7142857	9	CLIP SIZE	3	2,0918829	32,2764703	5,7826460	89,2226811
13	92,8571429	5	DAMAGE	3	1,9577716	34,2342419	5,4119186	94,6345997
14	100,0000000	12	RECOIL MAGNITUDE	3	1,9409435	36,1751854	5,3654003	100,0000000

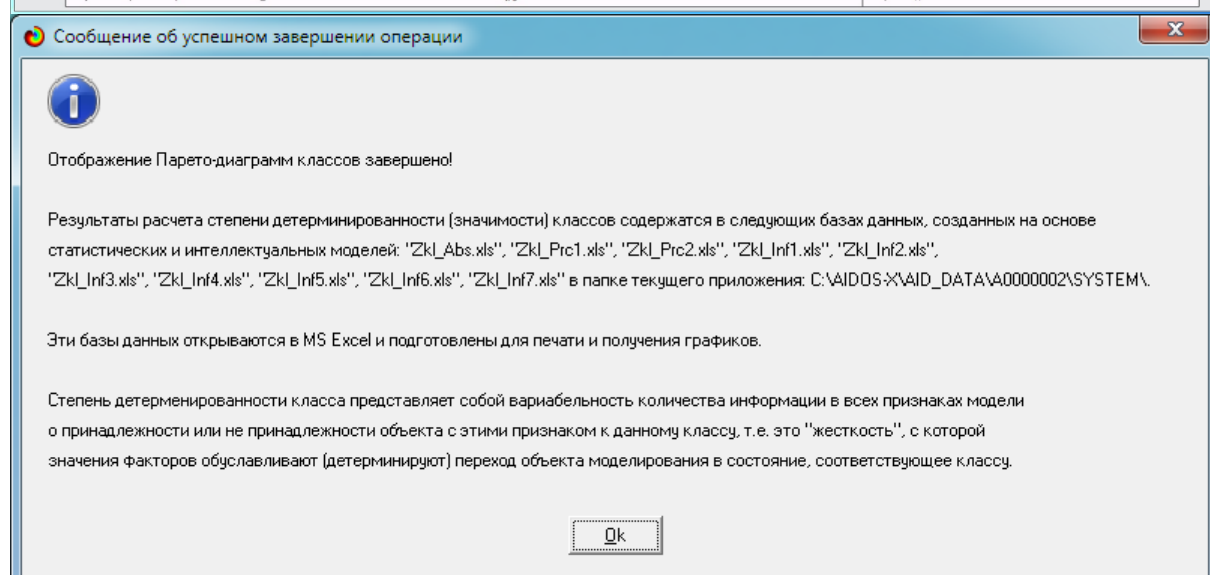
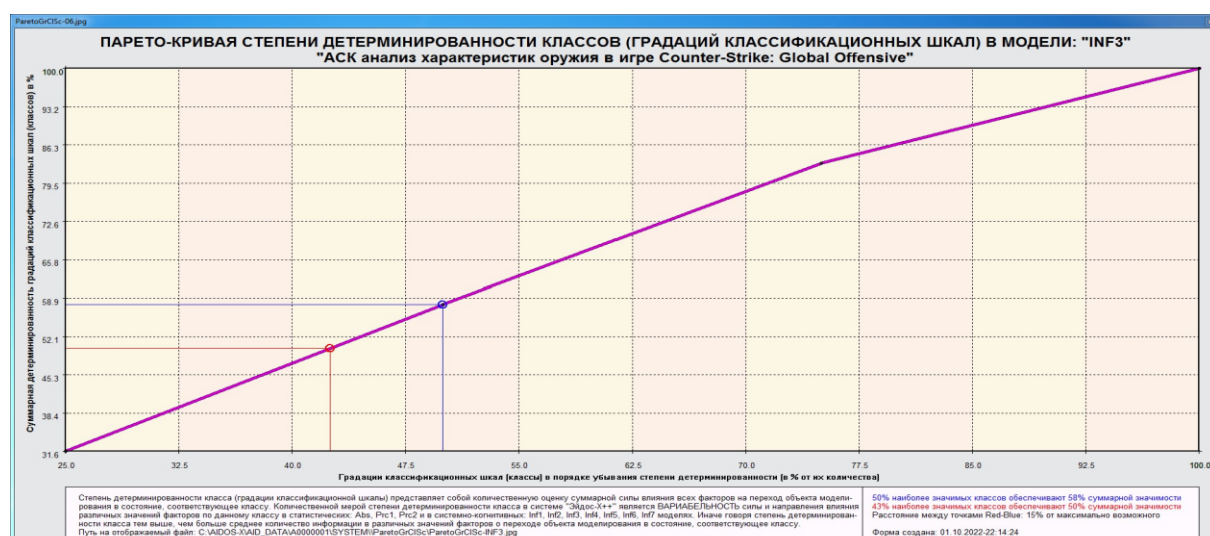
3.8.11. Степень детерминированности классов и классификационных шкал

Степень детерминированности (обусловленности) класса в системе «Эйдос» количественно оценивается **степенью вариабельности значений факторов** (градаций описательных шкал) в колонке матрицы модели, соответствующей данному классу (режим 3.7.3 системы «Эйдос»).

Чем выше степень детерминированности класса, тем более достоверно он прогнозируется по значениям факторов.

Степень детерминированности (обусловленности) всей классификационной шкалы является средним от степени детерминированности ее градаций, т.е. классов (режим 3.7.2 системы «Эйдос»).

На рисунках 40 приведены экранные формы режимов 3.7.2 и 3.7.3 системы «Эйдос», содержащие информацию о степени детерминированности (обусловленности) состояний объекта моделирования действующими на него факторами:



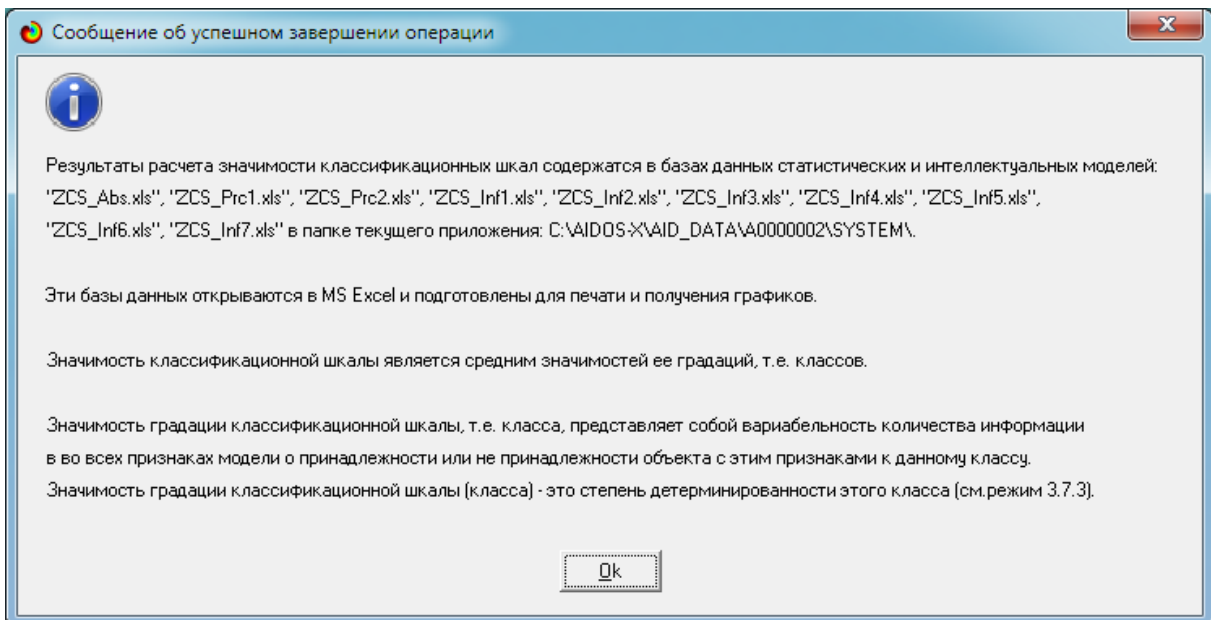


Рисунок 40. Экранные формы режимов 3.7.2 и 3.7.3 системы «Эйдос»

В таблице 16 представлены исходные данные для построения кумулятивной кривой на рисунке 40. Из таблицы 16 видно, какую долю от суммарной степени детерминированности всех классов имеет каждый класс. Например, видно, что класс: «Винтовки» детерминирован (обусловлен) значениями факторов почти в 2 раза сильнее, чем класс: «Тяжелое». Это значит, что степень обусловленности значениями факторов разных будущих состояний объекта моделирования, соответствующие классам, довольно существенно отличается друг от друга.

Таблица 16 – Степень детерминированности классов в СК-модели INF3

NUM	NUM_PRC	KOD_CLS	NAME_CLS	KOD_CLSC	ZNACH_CLS	ZN_CLSNIT	ZNACH_PRC	ZN_PRCNIT
1	25,0000000	3	CATEGORY-3/4-Rifle	1	3,0090728	3,0090728	31,5638832	31,5638832
2	50,0000000	2	CATEGORY-2/4-Pistol	1	2,5085221	5,5175949	26,3133211	57,8772043
3	75,0000000	4	CATEGORY-4/4-SMG	1	2,3979906	7,9155855	25,1538930	83,0310973
4	100,0000000	1	CATEGORY-1/4-Heavy	1	1,6176927	9,5332782	16,9689027	100,0000000

4. DISCUSSION (ОБСУЖДЕНИЕ)

Полученные результаты можно оценить, как успешно решающие сформулированную в работе проблему и обеспечивающие достижение поставленной в работе цели. Эти результаты получены путем применения программного инструментария – интеллектуальной системы «Эйдос».

Анализ полученных результатов, проведенный в данной работе, полностью согласуется с результатами работы [10], на исходных данных которой они основаны. С другой стороны, применение АСК-анализа и системы «Эйдос» весьма существенно расширяет возможности решения задач прогнозирования, принятия решений и исследования моделируемой предметной области, по сравнению с методами, применяемыми в работе [10]. Поэтому есть все основания рекомендовать применение АСК-

анализа и системы «Эйдос» для проведения дальнейших углубленных исследований.

Достижением данной работы является возможность применения системно-когнитивных моделей для решения задач прогнозирования, принятия решений и исследования моделируемой предметной области.

Перспективность и ценность результатов подобных исследований и разработок для теории и практики не вызывает особых сомнений, что подтверждается работами автора в этой области [1-26].

У желающих есть все возможности для изучения данной работы и для дальнейших исследований с применением АСК-анализа и системы «Эйдос» на своем компьютере. Для этого надо скачать систему с сайта разработчика по ссылке на странице: http://lc.kubagro.ru/aidos/_Aidos-X.htm, а затем в диспетчере приложений (режим 1.3) установить интеллектуальное облачное Эйдос-приложение №338. По различным аспектам применения данной технологии есть большое количество видеозанятий (около 300), с которыми можно ознакомиться по ссылкам, приведенным на странице: http://lc.kubagro.ru/aidos/How_to_make_your_own_cloud_Eidos-application.pdf.

5. CONCLUSIONS (ВЫВОДЫ)

Как показывает анализ результатов численного эксперимента, предложенного и реализованного в системе «Эйдос», решение поставленных задач является вполне эффективным, что позволяет обоснованно утверждать, что цель работы достигнута, поставленная проблема решена.

В результате проделанной работы, с помощью системы «Эйдос» были созданы 3 статистические и 7 системно-когнитивных моделей, в которых непосредственно на основе эмпирических данных сформированы обобщенные образы классов по различным классам оружия, изучено влияние характеристик оружия из Counter-Strike: Global Offensive на эти классы, и, на основе этого, решены задачи идентификации, классификации и исследования моделируемой предметной области путем исследования ее модели.

В работе приводится краткое описание АСК-анализа и его программного инструментария – интеллектуальной системы «Эйдос». Работа может быть основой для лабораторных работ и научных исследований по применению систем искусственного интеллекта.

REFERENCES (ЛИТЕРАТУРА)

1. Работы проф.Е.В.Луценко & С° по тематике, связанной с АПК, частности с когнитивной агрономией: http://lc.kubagro.ru/aidos/Work_with_agricultural.htm

2. Луценко, Е. В. Автоматизированный системно-когнитивный анализ в управлении активными объектами : (системная теория информации и ее применение в исследовании экономических, социально-психологических, технологических и организационно-технических систем) / Е. В. Луценко. – Краснодар : Кубанский государственный аграрный университет имени И.Т. Трубилина, 2002. – 605 с. – ISBN 5-94672-020-1. – EDN OCZFHC.
3. Орлов, А. И. Системная нечеткая интервальная математика / А. И. Орлов, Е. В. Луценко. – Краснодар : Кубанский государственный аграрный университет, 2014. – 600 с. – ISBN 978-5-94672-757-0. – EDN RZXZ.
4. Работы проф.Е.В.Луценко по АСК-анализу текстов, т.е. по когнитивной математической лингвистике: http://lc.kubagro.ru/aidos/Works_onASK-analysis_of_texts.htm
5. Работы проф.Е.В.Луценко по информационным мерам уровня системности (коэффициентам эмерджентности) и системному обобщению математики http://lc.kubagro.ru/aidos/Work_on_emergence.htm
6. Луценко, Е. В. Метризация измерительных шкал различных типов и совместная сопоставимая количественная обработка разнородных факторов в системно-когнитивном анализе и системе "Эйдос" / Е. В. Луценко // Политеатический сетевой электронный научный журнал Кубанского государственного аграрного университета. – 2013. – № 92. – С. 61-71. – EDN RNEGHR.
7. Сайт Е.В.Луценко: <http://lc.kubagro.ru/>.
8. Страница Е.В.Луценко в РесечГейт <https://www.researchgate.net/profile/Eugene-Lutsenko>
9. Страница Е.В.Луценко в РИНЦ: https://elibrary.ru/author_profile.asp?id=123162.
10. Луценко, Е. В. Инвариантное относительно объемов данных нечеткое мультиклассовое обобщение F-меры достоверности моделей Ван Ризбергена в АСК-анализе и системе "Эйдос" / Е. В. Луценко // Политеатический сетевой электронный научный журнал Кубанского государственного аграрного университета. – 2017. – № 126. – С. 1-32. – DOI 10.21515/1990-4665-126-001. – EDN XXXBDV.
11. Луценко, Е. В. Сценарный и спектральный автоматизированный системно-когнитивный анализ / Е. В. Луценко. – Краснодар : Кубанский государственный аграрный университет им. И.Т. Трубилина, 2021. – 288 с. – DOI 10.13140/RG.2.2.22981.37608. – EDN ZQLITW.
12. Орлов, А. И. Анализ данных, информации и знаний в системной нечеткой интервальной математике / А. И. Орлов, Е. В. Луценко. – Краснодар : Кубанский государственный аграрный университет им. И.Т. Трубилина, 2022. – 405 с. – ISBN 978-5-907550-62-9. – DOI 10.13140/RG.2.2.15688.44802. – EDN OQULUW.
13. Луценко, Е. В. Количественный автоматизированный SWOT- и PEST-анализ средствами АСК-анализа и интеллектуальной системы "Эйдос-X++" / Е. В. Луценко // Политеатический сетевой электронный научный журнал Кубанского государственного аграрного университета. – 2014. – № 101. – С. 1367-1409. – EDN SZVWRV.
14. Луценко, Е. В. Автоматизация функционально-стоимостного анализа и метода "Директ-костинг" на основе АСК-анализа и системы "Эйдос" (автоматизация управления натуральной и финансовой эффективностью затрат без содержательных технологических и финансово-экономических расчетов на основе информационных и когнитивных технологий и теории управления)1 / Е. В. Луценко // Политеатический сетевой электронный научный журнал Кубанского государственного аграрного университета. – 2017. – № 131. – С. 1-18. – DOI 10.21515/1990-4665-131-001. – EDN ZRXVFN.

15. Луценко, Е. В. Системное обобщение принципа Эшби и повышение уровня системности модели объекта познания как необходимое условие адекватности процесса его познания / Е. В. Луценко // Политематический сетевой электронный научный журнал Кубанского государственного аграрного университета. – 2020. – № 163. – С. 100-134. – DOI 10.21515/1990-4665-163-009. – EDN SWKGWY.
16. Луценко, Е. В. Эффективность объекта управления как его эмерджентное свойство и повышение уровня системности как цель управления / Е. В. Луценко // Политематический сетевой электронный научный журнал Кубанского государственного аграрного университета. – 2021. – № 165. – С. 77-98. – DOI 10.13140/RG.2.2.11887.25761. – EDN UMTAMT.
17. Луценко, Е. В. Метод когнитивной кластеризации или кластеризация на основе знаний (кластеризация в системно-когнитивном анализе и интеллектуальной системе "Эйдос") / Е. В. Луценко, В. Е. Коржаков // Политематический сетевой электронный научный журнал Кубанского государственного аграрного университета. – 2011. – № 71. – С. 27-74. – EDN OIGYBB.
18. Луценко, Е. В. Системная теория информации и нелокальные интерпретируемые нейронные сети прямого счета / Е. В. Луценко // Политематический сетевой электронный научный журнал Кубанского государственного аграрного университета. – 2003. – № 1. – С. 76-88. – EDN JWXLKT.
19. Луценко, Е. В. Проблемы и перспективы теории и методологии научного познания и автоматизированный системно-когнитивный анализ как автоматизированный метод научного познания, обеспечивающий содержательное феноменологическое моделирование / Е. В. Луценко // Политематический сетевой электронный научный журнал Кубанского государственного аграрного университета. – 2017. – № 127. – С. 1-60. – DOI 10.21515/1990-4665-127-001. – EDN YLZTMX.
20. Работы проф.Е.В.Луценко & С° по выявлению, представлению и использованию знаний, логике и методологии научного познания: http://lc.kubagro.ru/aidos/Works_on_identification_presentation_and_use_of_knowledge.htm
21. Пойа Дьерьдь. Математика и правдоподобные рассуждения. // под редакцией С.А.Яновской. Пер. с английского И.А.Вайнштейна., М., Наука, 1975 — 464 с., <http://ilib.mccme.ru/djvu/polya/rassuzhdelenija.htm>
22. Луценко, Е. В. Системно-когнитивный анализ как развитие концепции смысла Шенка - Абельсона / Е. В. Луценко // Политематический сетевой электронный научный журнал Кубанского государственного аграрного университета. – 2004. – № 5. – С. 14-35. – EDN JWXMKX.
23. Работы проф.Е.В.Луценко & С° по когнитивным функциям: http://lc.kubagro.ru/aidos/Works_on_cognitive_functions.htm
24. Луценко, Е. В. Системы представления и приобретения знаний / Е. В. Луценко, В. И. Лойко, В. Н. Лаптев. – Краснодар : Экоинвест, 2018. – 513 с. – ISBN 978-5-94215-415-8. – EDN UZZBLC.